

# Fisica Teorica I

Introduzione alla teoria quantistica dei campi

Stefano Forte

# 1 Teoria classica dei campi

1.1 Coordinate normali	1
1.2 Passaggio al continuo e campi lagrangiani	5
1.3 Equazioni del moto e coordinate normali	9
1.4 Campi relativistici e gruppo di Poincaré	13
1.5 Il teorema di Noether	21

# 2 Quantizzazione dei campi: campi liberi

2.1 Quantizzazione del campo scalare	31
2.2 Propagatori di liberi: sim. int. e spaziotemporali	37
2.3 Il campo di spin 1/2 (di Dirac)	42
<del>2.4 Le Interazioni ed esclusione temporale</del>	<del>53</del>
<del>2.5 Il path-integral in meccanica quantistica ed interazioni dei campi</del>	<del>58</del>

# 3 Campi in interazione

3.1 Interazioni ed esclusione temporale	53
3.2 Il path integral	58
3.3 Il propagatore	69
3.4 Il path integral per i fermioni	72

# 4. Ampiezze di transizione

4.1 Il vertice di interazione	78
4.2 La formula di riduzione	80
4.3 Le regole di Feynman	83

## 5. Calcolo di processi al primo ordine

- 5.1 Calcolo dell'ampiezza:  $e^+e^- \rightarrow \mu^+\mu^-$  in QED 90
- 5.2 Cinematica e scelta del sistema di riferimento 94
- 5.3 La serie d'urto: fattore di flusso e spazio delle fasi 97

## 6. La rinormalizzazione

- 6.1 Gli infiniti ed il loro significato 107
- 6.2 Teoria delle perturbazioni rinormalizzata 116
- 6.3 Rinormalizzabilità 121

# I Teoria Classica dei Campi

## 1 Coordinate normali

La teoria quantistica dei campi è la meccanica quantistica dei sistemi con numero infinito di gradi di libertà. La necessità di trattare sistemi di questo tipo si presenta come conseguenza della necessità di conciliare la meccanica quantistica con la relatività. Questo richiede che si trattino sullo stesso tempo piano il tempo e lo spazio. Questo si può fare o riducendo lo spazio a parametro, o promuovendo il tempo ad operatore. Entrambe le strade sono possibili; noi seguiremo la prima. È ovvio che nel primo caso si ha a che fare con sistemi con infinito gradi di libertà. Ma questo è vero anche nel secondo caso se si pensa alla formulazione alla Feynman: qualunque fetta (superficie tipo spazio) interseca la linea di universo di una particella singola un numero infinito di volte.

La trattazione di sistemi di infinito gradi di libertà in cui la coordinata gioca il ruolo di parametro è radicata nella meccanica classica: iniziano quindi la trattazione con una rassegna delle principali idee classiche che ne sono alla base.

Ricordiamo che il più generale sistema meccanico è l'oscillatore armonico poiché qualunque potenziale è quadratico attorno ad un minimo (punto di equilibrio). L'idea fondamentale della teoria classica dei campi è di considerare un sistema continuo (es. corda vibrante) come il limite continuo di oscillatori armonici accoppiati.

Ricordiamo che si trattano questi sistemi in modo

delle coordinate normali.

Per un problema bidimensionale

$$V(x_1, x_2) = v(x_1^0, x_2^0) + \frac{1}{2} \frac{\partial^2 V}{\partial x_i \partial x_j} (x_i - x_i^{(0)}) (x_j - x_j^{(0)}) + \dots$$

$$= V_0 + \frac{1}{2} V_{ij} q_i q_j \quad (1)$$

con  $q_i \equiv (x_i - x_i^{(0)}) / \sqrt{m}$

$$V_{ij} \equiv \frac{\partial^2 V}{\partial x_i \partial x_j} \frac{1}{m}$$

$$T = \frac{1}{2} (\dot{q}_1^2 + \dot{q}_2^2) \quad (2)$$

Notare

La Lagrangiana e la Hamiltoniana sono

$$L = \frac{1}{2} (\dot{q}_1^2 + \dot{q}_2^2) - \frac{1}{2} q_i q_j V_{ij} \quad (3)$$

$$H = \frac{1}{2} (\dot{q}_1^2 + \dot{q}_2^2) + \frac{1}{2} q_i q_j V_{ij} = \frac{1}{2} (p_1^2 + p_2^2) + \frac{1}{2} q_i q_j V_{ij}$$

Notare che abbiamo assorbito la massa in una ridefinizione dei campi.

Possiamo scrivere in modo compatto la Lagrangiana in notazione di Dirac come

$$L = \frac{1}{2} \langle \dot{q} | \dot{q} \rangle - \frac{1}{2} \langle q | V | q \rangle \quad (4)$$

con eq. del moto  $\frac{d^2}{dt^2} |q\rangle + V|q\rangle = 0$

(4')

dove

$$\langle e_i | q \rangle = q_i$$

che si risolvono passando dalla base  $|e_i\rangle$  a quella degli autovettori

$$V|v_i\rangle = \lambda_i |v_i\rangle \quad (5)$$

in cui

$$V = \frac{1}{2} \langle q | V | q \rangle = \frac{1}{2} \langle q | v_i \rangle \langle v_i | V | v_j \rangle \langle v_j | q \rangle = \frac{1}{2} \sum_i \lambda_i \langle q | v_i \rangle^2 \quad (6)$$

Ne segue che

$$L = \frac{1}{2} \langle \dot{q} | \dot{q} \rangle - \frac{1}{2} \langle q | V | q \rangle =$$

$$= \sum_i \frac{1}{2} \left( \frac{d}{dt} \langle V_i | q \rangle \right)^2 - \frac{1}{2} \lambda_i (\langle V_i | q \rangle)^2. \quad (7)$$

dove abbiamo sfruttato il fatto che poiché la matrice  $V_{ij}$  è reale e simmetrica: noi autovettori hanno componenti reali e quindi  $\langle V_i | q \rangle = \langle q | V_i \rangle = (\langle V_i | q \rangle)^*$ .

Le componenti  $\langle V_i | q \rangle$  sono le componenti del vettore astratto  $|q\rangle$  nella base degli autovettori di  $V$ .

La configurazione è di equilibrio stabile se  $\lambda_i > 0 \forall i$ .

Passiamo ora a definire coordinate normali

$$c_i = \langle q | V_i \rangle \quad (8)$$

le componenti di  $|q\rangle$  nella base degli autovettori di  $V$ .

In termini di coord. normali la lagrangiana si disaccoppia

$$L = \sum_i \frac{1}{2} ( \dot{c}_i^2 - \lambda_i c_i^2 ) \quad (9)$$

che è la somma di lagr. di oscillatore armonico, con eq. di moto

$$\ddot{c}_i = -\lambda_i c_i \Rightarrow \ddot{c}_i + \omega_i^2 c_i = 0 \quad (10)$$

soluzione generale

$$c_i = c_i^+ e^{i\omega_i t} + c_i^- e^{-i\omega_i t} \quad (11)$$

$$= A_i \sin \omega_i t + B_i \cos \omega_i t$$

$$= N_i \sin(\omega_i t + \delta_i) \quad \omega_i = \sqrt{\lambda_i}$$

Possiamo tornare alle coordinate  $q_i = \langle e_i | q \rangle$  di partenza eseguendo il cambiamento di base

$$q_i = \langle e_i | V_i \rangle \langle V_j | q \rangle \quad (12) \quad \sqrt{3}$$

Troviamo immediatamente

$$q_i(t) = \langle e_i | q_i \rangle = \langle e_i | U; \langle e_i | U_j \rangle \langle U_j | q_i \rangle \\ = \delta_{ij} C_j(t) \quad (13)$$

dove  $C_j(t)$  sono date dalle Eq. (11) e

$$O_{ij} = \langle e_i | U_j \rangle \quad (14)$$

è la matrice di ~~il~~ passaggio dalla base degli autovettori del potenziale (coordinate normali) alla base di partenza.

Il vantaggio della notazione di Dirac è che mostra come la stessa trattazione valga nel caso di  $N$  oscillatori accoppiati. La trattazione può anche essere estesa al caso di  $T$  non diagonale, diagonalizzando simultaneamente  $T$  e  $V$ , cosa sempre possibile, anche se  $T$  e  $V$  non commutano, nel qual caso la trasf. non è ortogonale.

Questo vuol dire che il moto di un sistema di  $N$  corpi vicino all'equilibrio può sempre essere descritto come un sistema di oscillatori armonici accoppiati.

## 2. Il campo classico

(A) 2.1 Costituzione della Lagrangiana  
 consideriamo un insieme di oscillatori accoppiati,  
 con Lagrangiana

$$L = T - V \quad (1)$$

$$T = \sum_i \frac{1}{2} m \dot{x}_i^2 \quad (2)$$

$$V = \sum_i \frac{1}{2} \bar{k} \left[ (x_i - x_i^{(0)}) - (x_{i+1} - x_{i+1}^{(0)}) \right]^2 \quad (3)$$

Definiamo la coordinata lagrangiana

$$q_i = \sqrt{m} (x_i - x_i^{(0)}) \quad (4)$$

sicché

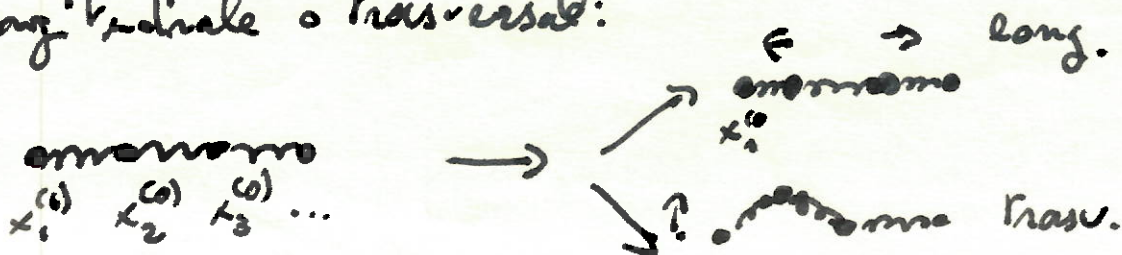
$$T = \sum_i \frac{1}{2} \dot{q}_i^2 \quad (5)$$

$$V = \sum_i \frac{1}{2} \frac{\bar{k}}{m} (q_i - q_{i+1})^2 = \frac{1}{2} k \sum_i (q_i - q_{i+1})^2 \quad (6)$$

dove si è posto

$$k = \frac{\bar{k}}{m} \quad (7)$$

Nota che  $(x_i - x_i^{(0)})$  potrebbe essere una deviazione  
 longitudinale o trasversale:



## Modulo di Young

Definizione:  $F = \frac{q_i - q_i^0}{d} Y$

→  $F =$  forza necessaria per allungare  $q$  di  $d$

Ma  $F = \frac{\partial U}{\partial q} = k(q_i - q_i^0)$  dunque  $k = \frac{Y}{d}$

Notiamo dimensionalmente

$$[\varphi] = \left[ \frac{q}{\sqrt{\sigma}} \right] = \left[ \sqrt{\frac{m}{d}} \right] [x] = [L] [L]^{-1} \quad (13)$$

Il passaggio al continuo viene eseguito facendo ~~la (plausibile)~~ ipotesi che ~~la densità di massa resti finita nel limite, ossia che sia finito il rapporto  $m$  quando  $d \rightarrow 0$ , e che resti finito il prodotto  $k d^2 = \bar{k} \frac{d^2}{m}$ . Quest'ultimo corrisponde a materiale liscio.~~

Per il potenziale abbiamo, usando la (10) nella (6)

$$\lim_{d \rightarrow 0} U = \frac{1}{2} \int dx \frac{d^2}{d^2} k d^2 \left( \frac{\partial \varphi}{\partial x} \right)^2 = \frac{1}{2} \lambda \int dx \left( \frac{\partial \varphi}{\partial x} \right)^2 \quad (15)$$

$\frac{d^2 m}{d^2}$   
(dens. di massa)  
 $\bar{k} \cdot d$  (modulo di Young)  
(14)

Dimensionalmente,  $\lambda$

$$[\lambda] = [k d^2] = \left[ \frac{\bar{k} d^2}{m} \right] \quad (16)$$

Ma ricordando la (7) notiamo che  $\bar{k}$  è una costante di potenziale armonico, dunque

$$[\bar{k}] = [m \omega^2] = [M]^{-3} \quad (17)$$

Abbiamo quindi

$$[\lambda] = [M]^{-3} \frac{[L]^2}{[M]} = [L]^0 \quad (18)$$

e dunque  $\lambda$  è adimensionale.

Troviamo quindi infine la lagrangiana

$$L = \frac{1}{2} \int dx \left( \frac{\partial \varphi}{\partial t} \right)^2 - \lambda \left( \frac{\partial \varphi}{\partial x} \right)^2 \quad (19)$$

(7)

da cui la densità di Lagrangiana

$$\mathcal{L}(x, t) = \frac{1}{2} \left[ \left( \frac{\partial \varphi}{\partial t} \right)^2 - \lambda \left( \frac{\partial \varphi}{\partial x} \right)^2 \right] \quad (20)$$

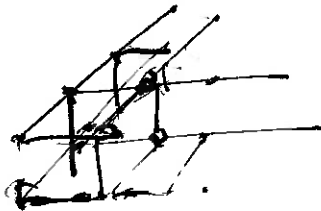
e la azione

$$I = \int dt L = \int dx dt \frac{1}{2} \left[ \left( \frac{\partial \varphi}{\partial t} \right)^2 - \lambda \left( \frac{\partial \varphi}{\partial x} \right)^2 \right] \quad (21)$$

Notiamo che la azione è adimensionale, come deve essere.

## 2.2 Campi relativistici

Notiamo immediatamente che la procedura seguita fin qui può essere generalizzata direttamente al caso di  $(d-1)$  dimensioni spaziali, partendo da interazioni più vicine su un reticolo cubico



In tal caso si trova, ovviamente,

$$\mathcal{L} = \frac{1}{2} \left[ \left( \frac{\partial \varphi}{\partial t} \right)^2 - \lambda \nabla \varphi \cdot \nabla \varphi \right] \quad (22)$$

Notiamo inoltre che possiamo generalizzare la dinamica includendo un termine di forza di richiamo che dipende dallo spostamento assoluto, quindi relativo, ossia

$$V = \frac{1}{2} \sum_i \mu^2 x_i^2 = \frac{1}{2} m^2 \sum_i q_i^2 \quad (23)$$

dove  $m = \frac{f}{a_0}$  e abbiamo chiamato  $m_0$  la massa della Eq. (14) da nel limite continuo diventa

$$V = \frac{1}{2} \int dx m^2 \varphi^2 \quad (24)$$

Notiamo che  $[m^2] = \left[ \frac{M^2}{m_0} \right] \text{ ma } [m^2]$  è una costante universale  $\frac{1}{a_0^2}$

Questo corrisponde all'esempio ad una corda vibrante  
~~in~~ immersa in un mezzo elastico che fornisce una  
 forza di richiamo proporzionale alla elongazione.  
 Siamo quindi arrivati alla lagrangiana

$$\mathcal{L} = \frac{1}{2} \left[ \left( \frac{\partial \varphi}{\partial t} \right)^2 - \lambda (\nabla \varphi \nabla \varphi) - m^2 \varphi^2 \right] \quad (25)$$

Questa lagrangiana ha manifestazioni in "invarianza relativistica"  
 interpretando

$$\lambda = c^2 \quad (26)$$

Notare che questo vuol dire che la QFT è necessariamente  
 "relativistica", anche se, avvicinate, in un mezzo generico  
 $c$  non è la velocità della luce, nel senso  
 che le derivate spaziali e temporali capiscono in modo  
 simmetrico. Naturalmente è possibile considerare il limite  
 nonrelativistico delle eq. del moto, il che corrisponde ad  
 una lagrangiana del primo ordine nel tempo.

La lagrangiana Eq. (25) è quella del corpo scalare di  
 Klein-Gordon: un unico grado di libertà in ogni  
 punto dello spaziotempo. In forma manifestamente  
 covariante si scrive così

$$\mathcal{L} = \frac{1}{2} \left( \partial_\mu \varphi \partial^\mu \varphi - m^2 \varphi^2 \right) \quad (27)$$

da cui

$$S = \int d^4x \frac{1}{2} \left( \partial_\mu \varphi \partial^\mu \varphi - m^2 \varphi^2 \right) \quad (28)$$

(9)

## 2.3 Equazioni del moto

Le eq. del moto si possono ricavare dalla Lagrangiana Eq. (27) usando in principio il principio variazionale.

Ricordiamo l'angolo per la meccanica del punto:

$$I = \int_{t_0}^{t_1} L(q, \dot{q}; t) \quad (28)$$

$$0 = \delta I = \int_{t_0}^{t_1} \left( \frac{\partial L}{\partial q} \delta q + \frac{\partial L}{\partial \dot{q}} \delta \dot{q} \right) dt$$

$$= \int_{t_0}^{t_1} \left( \frac{\partial L}{\partial q} - \frac{d}{dt} \frac{\partial L}{\partial \dot{q}} \right) \delta q \quad (29)$$

usando il fatto che  $\delta \dot{q} = \frac{d}{dt} \delta q$  e che  $q(t_1) = q_1, q(t_0) = q_0$  sono fissi.

Ne seguono le eq. di Lagrange

$$\frac{\partial L}{\partial q} - \frac{d}{dt} \frac{\partial L}{\partial \dot{q}} = 0 \quad (30)$$

Nel caso della teoria dei campi abbiamo

$$\begin{aligned} 0 = \delta I &= \int d^4x \left( \frac{\partial \mathcal{L}}{\partial \varphi} \delta \varphi + \frac{\partial \mathcal{L}}{\partial \partial_\mu \varphi} \delta \partial_\mu \varphi \right) \\ &= \int d^4x \left( \frac{\partial \mathcal{L}}{\partial \varphi} - \partial_\mu \frac{\partial \mathcal{L}}{\partial \partial_\mu \varphi} \right) \delta \varphi \quad (31) \end{aligned}$$

Notiamo che le condizioni al contorno che hanno si de  
 si: passa integrare per parti possono essere pensate  
 assegnando  $q(t_0, \bar{x}) = q_0(t_0, x)$ ;  $q(t_1, \bar{x}) = q_1(t_1, \bar{x})$   
 ed inoltre supponendo che i campi all'infinito spaziale  
 le crescano abbastanza rapidamente da tutti i termini di  
 superficie  $S$ : annullino, e, equivalentemente, delimitando  
 i campi su  $S^3$ , ottenuta da  $\mathbb{R}^3$  per proiezione  
 stereografica.

Notiamo anche che l'aggiunta di una derivata totale  
 $\partial_\mu K^\mu$  alla lagrangiana non cambia l'azione e  
 quindi lascia invariate le eq. del moto.

Notiamo infine che si può ottenere un formalismo  
 hamiltoniano, introducendo un campo canonico  $\pi$   
 coniugato a  $q$  come

$$\pi(\bar{x}, t) \equiv \frac{\partial \mathcal{L}}{\partial \dot{q}} \quad (32)$$

ed una derivata di hamiltoniana

$$\mathcal{H} = \pi \dot{q} - \mathcal{L} \quad (33)$$

da cui, se

$$\mathcal{L} = \frac{1}{2} \dot{q}^2 - V[q] \quad (34)$$

$$\pi = \dot{\varphi} \quad (35)$$

$$\mathcal{H} = \frac{1}{2} \dot{\varphi}^2 + V[\varphi] \quad (36)$$

Per il caso di Klein Gordon abbiamo immediatamente

$$\frac{\partial \mathcal{L}}{\partial \varphi} = \gamma_{,\mu} \varphi \quad (37)$$

$$\frac{\partial \mathcal{L}}{\partial \varphi} = -m^2 \varphi \quad (38)$$

sicché le eq. del moto sono

$$\gamma_{,\mu} \varphi + m^2 \varphi = 0 \quad (39)$$

ovvero

$$(\square + m^2) \varphi = 0 \quad (40)$$

ossia

$$\ddot{\varphi} = (\Delta - m^2) \varphi \quad (40')$$

Possiamo "leggere" queste eq. del moto scrivendo la Lagrangiana in termini di un vettore  $\varphi_{\bar{x}}(t)$  dove  $\bar{x}$  è un indice di componente:

$$L = \frac{1}{2} \left[ \langle \dot{\varphi} | \dot{\varphi} \rangle - \langle \varphi | V | \varphi \rangle \right] \quad (41)$$

$\langle \bar{x} | \varphi(t) \rangle = \varphi(\bar{x}, t)$

Notiamo che questa è la Lagrangiana (non la densità) in quanto è integrata in  $dx$  ("somata sulle componenti").

Notiamo anche che

$$\langle \psi | W | \psi \rangle = \int d^3x \left( \bar{\psi} \psi \bar{\nabla} \psi + m^2 \psi^2 \right)$$

$$= - \int d^3x \psi (\Delta - m^2) \psi \quad (42)$$

dimostrando che  $W$  è l'operatore

$$\langle \bar{x} | W | \bar{x}' \rangle = (-\Delta + m^2) \delta^{(3)}(\bar{x} - \bar{x}') \quad (43)$$

ossia

$$W = (\hat{p}^2 + m^2) \quad (44)$$

con  $\hat{p} = -i \bar{\nabla}$  (45)

(notiamo che qui tutto è sempre classico!!)

Da questo punto di vista le eq. del moto (39) hanno la forma

$$\frac{d}{dt} |\psi\rangle = -W |\psi\rangle \quad \text{ossia} \quad \frac{d}{dt} |\psi\rangle = -W |\psi\rangle \quad (46)$$

Notare che  $-W |\psi\rangle$  è la "derivata del potenziale rispetto alla coordinata lagrangiana", quindi la eq. (46) può essere letta come  $\frac{d}{dt} \bar{q} = \bar{q}$ . (47)

Questo punto di vista è essenziale per capire la quantizzazione.

## 2.4 Soluzioni delle eq. del moto e coordinate normali

Per risolvere le eq. del moto, diagonalizziamo il potenziale  $V$  che passando al caso continuo ( $V \rightarrow W$ ) è stato promosso a operatore differenziale:  $W = \bar{p}^2 + m^2$  (Eq. (44)).  
 Ovviamente gli autovalori di  $W$  sono gli stessi degli autovalori di  $\bar{p}$  ossia le onde piane  $\bar{p} | \bar{k} \rangle = \bar{k} | \bar{k} \rangle$  (48)

con  $\langle \bar{x} | \bar{k} \rangle = \exp i \bar{k} \cdot \bar{x}$  (49)

Notare che abbiamo normalizzato gli stati come

$$\langle \bar{k} | \bar{k}' \rangle = (2\pi)^3 \delta^{(3)}(\bar{k} - \bar{k}') \quad (50)$$

il che implica anche che

$$1 = \int \frac{d^3 k}{(2\pi)^3} \langle \bar{k} | \bar{k} \rangle \langle \bar{k} | \quad (50')$$

Le coordinate normali sono le componenti di  $|\varphi\rangle$  nella base delle  $|\bar{k}\rangle$ , ossia

$$\begin{aligned} \langle \bar{k} | \varphi \rangle &= \varphi(\bar{k}) = \int d^3 x e^{-i \bar{k} \cdot \bar{x}} \varphi(\bar{x}) \quad (50'') \\ &= \int \langle \bar{k} | \bar{x} \rangle \langle \bar{x} | \varphi \rangle d^3 x \end{aligned}$$

(notare l'abuso di notazione, per cui diciamo  $\langle \bar{k} | \varphi \rangle = \varphi(\bar{k})$  mentre ovviamente  $\varphi(\bar{k})$  e  $\varphi(\bar{x})$  sono diverse funzioni del proprio argomento).

Notare che con la nostra scelta di normalizzazione

$$\langle \bar{x} | \varphi \rangle = \int \frac{d^3 k}{(2\pi)^3} e^{i \bar{k} \cdot \bar{x}} \varphi(\bar{k}) \quad (50''')$$

Notiamo anche che il campo  $\varphi(\bar{x})$  è reale:

-  $e^{-i\vec{k}\cdot\vec{x}}$  una coordinata. Questo impone una condizione sulle  $q(\vec{k})$ : infatti

( $\vec{x}|\varphi$ )  
 1) Fissata  $\vec{x}$  è tutto  $t-n d$   
 2) Fissata 1 DDF per punto spaziotempo  $\rightarrow$  save hult. generale

$$= \int \frac{d^3\vec{k}}{(2\pi)^3} e^{-i\vec{k}\cdot\vec{x}} q(\vec{k}) \quad (51)$$

da cui segue

$$q(\vec{k}) = q^*(-\vec{k}) \quad (52)$$

Le eq. del moto per le coordinate normali sono ora disaccoppiate  $\langle k| \frac{d^2}{dt^2} |\varphi\rangle = -\langle k| \omega | \varphi\rangle$  ossia esplicitamente

$$\frac{d^2}{dt^2} q(\vec{k}) = -(\vec{k}^2 + m^2) q(\vec{k}) \quad (53)$$

$$= -\omega_{\vec{k}}^2 q(\vec{k}) \quad \text{con } \omega_{\vec{k}} = \sqrt{\vec{k}^2 + m^2}$$

con soluzioni

$$q(\vec{k}) = \frac{1}{\sqrt{2\omega}} \left( a(\vec{k}) e^{-i\omega t} + b(\vec{k}) e^{i\omega t} \right) \quad (54)$$

Notiamo che la condizione di realt  eq. (52) implica  $\omega = \sqrt{\vec{k}^2 + m^2}$  dove  $\omega = \sqrt{\vec{k}^2 + m^2}$  (54)

$$q^*(-\vec{k}) = \frac{1}{\sqrt{2\omega}} \left( a^*(-\vec{k}) e^{i\omega t} + b^*(-\vec{k}) e^{-i\omega t} \right) \quad (55)$$

ossia  $a(\vec{k}) = b^*(-\vec{k}) \quad (56)$

$\rightarrow$  e il hult  $\frac{1}{\sqrt{2\omega}}$    convenzionale per la normalizzazione (pensare alle  $a, a^\dagger$  della sc. qu.) (15)

Tornando alla base di partenza abbiamo infine

$$\begin{aligned} \psi(\vec{x}) &= \langle \vec{x} | \vec{k} \rangle \langle \vec{k} | \psi \rangle = \\ &= \int \frac{d^3 k}{(2\pi)^3} \frac{e^{+i\vec{k} \cdot \vec{x}}}{\sqrt{2\omega}} \left( e^{-i\omega t} a(\vec{k}) + e^{i\omega t} a^\dagger(-\vec{k}) \right) \\ &= \int \frac{d^3 k}{(2\pi)^3 \sqrt{2\omega}} e^{i(\vec{k} \cdot \vec{x} - \omega t)} a(\vec{k}) + e^{-i(\vec{k} \cdot \vec{x} - \omega t)} a^\dagger(\vec{k}) \end{aligned} \quad (57)$$

che è manifestamente reale.

Notare che possiamo pensare alle onde piane 4-dimensionali

$$f(\vec{k}) = e^{i(\vec{k} \cdot \vec{x} - \omega t)} \quad (58)$$

come soluzioni elementari delle eq. d'onda del moto

Eq. (46). Vediamo così che le coordinate nonali sono essenzialmente le soluzioni elementari delle eq. d'onda del moto, in quanto queste ultime manifestamente disaccoppiano l'evoluzione temporale.

Notiamo infine che se ripristiniamo il fattore  $\lambda = c^2$  eq. 26 nella lagrangiana, l'eq. del moto diventa

$$\square \psi = (c^2 \Delta - m^2) \psi \quad (59)$$

e dunque la soluzione generale elementare è la stessa,

ma ora con  $\omega^2 = c^2 k^2 + m^2$

quindi  $c$  è proprio la velocità di fase dell'onda relativistica quando  $m=0$  ("velocità della luce") (la vel. di gruppo è più piccola di  $c$  se  $m > 0$ ):  $v_g = \frac{d\omega}{dk} = \frac{ck}{\sqrt{ck^2 + m^2}}$

## 4. Campi relativistici e gruppo di Poincaré

È un fatto sperimentale che le teorie fisiche sono invarianti sotto il gruppo di Poincaré: questo implica che la azione deve essere una scalare di Poincaré-Lorentz (pass. ~~relativistica~~ ~~relativa~~) (e quindi anche la lagrangiana densità di Lagrange è vero di una derivata totale).

Ricordiamo ora alcune proprietà dei gruppi di Lorentz e Poincaré; poi ne studiamo le implicazioni per la teoria dei campi (classica e quantistica).

Il gruppo di Lorentz è il gruppo di trasformazioni  $(O(3,1))$

$$x^\mu \rightarrow x'^\mu = \Lambda^\mu_\nu x^\nu \quad (1)$$

che lasciano invariato

$$\eta_{\mu\nu} x'^\mu x'^\nu = t^2 - |\vec{x}|^2 \quad (2)$$

ossia tali che

$$\Lambda^\mu_\alpha \Lambda^\nu_\beta \eta_{\mu\nu} = \eta_{\alpha\beta} \quad (3)$$

Il gruppo di Poincaré si ottiene aggiungendo a queste anche le traslazioni

$$x'^\mu \rightarrow x'^\mu + \delta^\mu \quad (4)$$

Il gruppo di Lorentz è generato da sei generatori

$$J^{\mu\nu} = -J^{\nu\mu} \quad (5)$$

$$\Lambda = \exp -\frac{i}{2} \omega^{\mu\nu} J_{\mu\nu} \quad (6)$$

Le cui regole di commutazione sono date da

$$[J^{\mu\nu}, J^{\rho\sigma}] = -i(g^{\mu\rho} J^{\nu\sigma} - g^{\nu\rho} J^{\mu\sigma} +$$

$$-g^{\mu\sigma} J^{\nu\rho} + g^{\nu\sigma} J^{\mu\rho}) \quad (7)$$

ossia prendo

$$J^i = \frac{1}{2} \epsilon^{ijk} J^{jk}, \quad K^i = J^{i0} = J^{i3}$$

$$[J^i, J^j] = i \epsilon^{ijk} J^k$$

$$[J^i, K^j] = i \epsilon^{ijk} K^k$$

$$[K^i, K^j] = -i \epsilon^{ijk} J^k \rightarrow \text{su}(2) \times \text{su}(2)$$

$$\text{quindi } J_{\pm}^i = (J^i \pm i K^i) \quad (8')$$

si ne aggiungono le traslazioni

$$T^{\mu\nu} = \exp(-i P^\mu \delta_\mu)$$

$$[J_{\pm}^i, J_{\pm}^j] = i \epsilon^{ijk} J_{\pm}^k$$

$$[J_{\pm}^i, J_{\mp}^j] = 0 \quad (9)$$

$$[P^\mu, P^\nu] = 0 \quad (10)$$

$$[J^i, P^j] = i \epsilon^{ijk} P^k \quad [K^i, P^j] = i \delta^{ij} P^0$$

$$[J^i, P^0] = 0 \quad [K^i, P^0] = -i P^i$$

$$\rightarrow [P^\mu, J^{\rho\sigma}] = i(\eta^{\mu\rho} P^\sigma - \eta^{\mu\sigma} P^\rho) \quad (11)$$

$$\text{Nella rapp. fondamentale } (J^{\mu\nu})_{\rho\sigma} = i(g^{\mu\rho} g^{\nu\sigma} - g^{\nu\rho} g^{\mu\sigma}) \quad (11')$$

Notiamo che l'algebra del gruppo di Lorentz può essere scritta come quella di  $\text{SO}(3) \times \text{SO}(3)$  che è la stessa di  $\text{SU}(2) \times \text{SU}(2)$  che ne è il ricoprimento universale. Il ricoprimento universale di  $\text{SO}(3,1)$  è  $\text{SL}(2, \mathbb{C})$ .

Le rappresentazioni del gruppo di Lorentz si possono costruire in analogia a quelle del gruppo delle rotazioni, comprendendo rappresentazioni vettoriali per ottenere rapp. tensoriali e rappresentazioni



Avvicinate la dimensione della rappresentazione  $(j_1, j_2)$  e  $(2j_1 + 1)(2j_2 + 1)$ .

Abbiamo:  $(0, 0)$  scalare

$$\begin{array}{l} (1/2, 0) \\ (0, 1/2) \end{array} \left| \begin{array}{l} \text{Spinori } \mu_L \\ \text{(di Weyl)} \mu_R \end{array} \right. J_i^\pm = \frac{\sigma_i}{2} \Rightarrow \begin{cases} J_i^\pm = \frac{\sigma_i}{2} \\ K_i^\pm = i \frac{\sigma_i}{2} \end{cases} \quad (14)$$

$(1/2, 1/2)$  rapp. quadiinversoriale (complessa) che può essere posta in corrispondenza 1-1 con la rapp. vettoriale notando che  $\mu_L^\dagger \bar{\sigma} \mu_L = \vec{v}$  vettore e  $(15)$

Lemma di Schur:  
 Trasl. che commuta con tutto è multiplo  
 dell'identità  $(J^2 = 2(2+1)\mathbb{1})$  inep fissate  
 o è diverso  $\rightarrow$  inep. diverse  
 # di op. di Carini  $\rightarrow$  rango dell'algebra  
 (# di op. sim. diagon. sott)

$\sigma^\mu = (\mathbb{1}, \vec{\sigma})$  e  
 no su questa  
 o la quaternaria  
 (Dirac)

In  $\dots$  a con  $\dots$  quant.  $\dots$  etichettate da posizione e tempo -

ci interessa quindi costruire rappresentazioni del gruppo di Lorentz sullo spazio dei campi (da promuovere poi a rapp. del gruppo di Poincaré). In vista della quantizzazione, ci interessa poi costruire rapp. del gruppo di Lorentz (e poi Poincaré) su uno spazio di Hilbert di stati fisici.

Un campo è una funzione delle coordinate  $\phi(x)$  che sotto trasl. di Lorentz  $x^\mu \rightarrow x'^\mu = \Lambda^\mu_\nu x^\nu$   $(16)$

si trasforma secondo una legge di lega  $\Phi'(x')$  a  $\Phi(x)$   
 in modo che  ~~$\Phi'(x') = T(\Lambda)\Phi(x)$~~   $= T(\Lambda)\Phi(x)$   
 $\Phi'(x') = T(\Lambda)\Phi(x)$  (17)

dove  $T(\Lambda)$  è una rappresentazione del gruppo di Lorentz  
 sullo spazio dei campi (per essere precisi, lo spazio "target").

Casi notevoli: scalare :  $\Phi'(x') = \Phi(x)$  (18)

vettore :  $V^\mu(x') = \Lambda^\mu_\nu V^\nu(x)$  (19)

Il caso di spin 1/2 verrà studiato in seguito, in quanto risulta  
 più utile costruire dapprima il campo fermionico a partire dalla  
 costruzione della lagrangiana.

Dal punto di vista di Poincaré, richiediamo che tutti i campi  
siano scalari, ossia anche un campo vettoriale è tale da

$$V'^\mu(x^\mu + \delta^\mu) = V^\mu(x^\mu) \quad (20)$$

Questo è ovvio quando si ricorda che il campo deve far derivare  
 da una configurazione di equilibrio: si ricordi cioè che ~~il campo~~  
 il campo è stato costruito per il limite continuo di

$$q_i \rightarrow \phi(x_i) \quad (21)$$

con  $q_i = \bar{q}_i - q_i^{(0)}$

che è manifestamente invariante per traslazioni.

Facciamo infine una osservazione da sarà imputate nel seguito:

se  $\Phi'(x') = \Phi(x)$ , allora  $\Phi'(x) \neq \Phi(x)$ , ed in particolare

$$\begin{aligned} \Phi'(x') &= \Phi'(x^\mu + \delta x^\mu) = \Phi'(x) - \partial_\mu \Phi \delta x^\mu \\ &= \Phi(x) - \delta x^\mu \partial_\mu \Phi(x) + O(\delta^2) \end{aligned} \quad (22)$$

Consideriamo la rappresentazione di trasformazioni  
 del gruppo di Poincaré su uno spazio di Hilbert,  
 ossia uno spazio di raggi (classi di equivalenza  
 di stati differenzabili per una base).

Consideriamo sinché, ossia trasformazioni

$|u\rangle \rightarrow |u'\rangle$  tali che le trasformazioni preservano  
 le proprietà di transitività, ossia se  $|u\rangle \rightarrow |u'\rangle$  e  
 $|u'\rangle \rightarrow |u''\rangle$  allora

$$\langle u | u \rangle = \langle u' | u' \rangle \quad (23)$$

Ma l'operatore di Wigner dice che condizione sufficiente  
 (ovvia) e necessaria (non ovvia) affinché ciò sia  
 vero è che la trasformazione sia lineare e  
 unitaria (o antilineare e antiunitaria) ossia

$$|u'\rangle = U|u\rangle \quad (23')$$

con

$$U^\dagger U = \mathbb{1}$$

$$U(\alpha |u\rangle + \beta |v\rangle) = \alpha U|u\rangle + \beta U|v\rangle \quad (24)$$

Vediamo infine l'azione di trasformazioni di Lorentz & Poincaré su uno spazio di stati fisici quantistici, cioè su uno spazio di ket  $|\psi\rangle$  elementi di uno spazio di Hilbert.

Una teoria di Wigner afferma che l'azione di qualunque gruppo di trasformazioni su uno spazio di raggi  $\mathbb{R}P^1$  è realizzata da operatori lineari unitari, tali cioè che   
(cioè tale che si conserva la norma)  
(tale da preservare il prodotto scalare e anche in inversa)

$$\langle \varphi | \psi \rangle = \langle \varphi | U^\dagger U | \psi \rangle = \langle \varphi | \psi \rangle \quad (23)$$

$$U(\alpha |\psi\rangle + \beta |\varphi\rangle) = \alpha U|\psi\rangle + \beta U|\varphi\rangle. \quad (24)$$

(o antilineari e antunitari: questo caso corrisponde all'invarianza temporale che non disattende) - è ovvio che l'unitarietà è sufficiente per la conservazione della norma (probabilità), non ovvio che sia necessaria.

La interessa ora la realizzazione di  $U(1)$  su stati a un corpo (una particella), in quanto stati a molti corpi saranno costruiti come prodotti diretti. Chiamiamo stato ad una particella uno stato che porta una rapp. irriducibile del gruppo di Poincaré. Il semplice modo di farlo è sfruttare il lemma di Schur che dice che, per una rappresentazione irriducibile, una trasformazione che commuta con tutti gli elementi del gruppo deve essere un multiplo dell'identità. Possiamo quindi costruire le rapp. irriducibili classificando gli operatori di Casimir, e distinguendo le rapp. irriducibili dai loro autovalori. Si può dimostrare infatti che il numero di operatori di Casimir è pari al rango dell'algebra, cioè al numero di generatori compattati (no per  $SU(2)$ , due per  $SO(4)$  o  $SU(3)$  ecc).

Il gruppo di Poincaré ha due operatori di Casimir:  $P^\mu P_\mu$  e  $W^\mu W_\mu$ , dove  $W_\mu$  è il vettore di Pauli-Lubanski

$$W^\mu = -\frac{1}{2} \epsilon^{\mu\nu\sigma\rho} J_\nu P_\sigma \quad (25)$$

Questo ultimo è una generalizzazione covariante dello spin, infatti nell'SR di riposo

$$P^\mu = (m, 0, 0, 0); \quad W^\mu = -\frac{1}{2} \epsilon^{\mu j k 0} J_{jk} m = \quad (26)$$

$$W^\mu = \begin{cases} 0 \\ i \frac{1}{2} \epsilon^{ijk} m J_{jk} \\ \dots \end{cases} = J^i m$$

Che  $P^\mu$  commuta con  $P^\mu$  e con le rotazioni è ovvio

che  $W^\mu$  commuta con rotazioni/boost è ovvio, <sup>è ovvio (è scalare!)</sup> che commuta con  $P_\mu$  è facile <sup>da</sup> vedere notando che il commutatore di  $W^\mu$  è proporzionale a  $P_\mu$ , e usando l'antisimmetria del tensore  $\epsilon^{\mu\nu\rho\sigma}$ .

Vediamo dunque che ci sono due tipi di stati (rappresentazioni)

Rappresentazioni con massa:  $P^2 |ms\rangle = m^2 |ms\rangle$   
 $W^2 |ms\rangle = m^2 s(s+1) |ms\rangle \quad (27)$

(avendo calcolato l'autovalore di  $W^2$  nell'SR di riposo).

Ogni stato porta  $2s+1$  gradi di libertà, corrispondenti alla dimensione della rapp. di  $S_2$ . Notiamo che stiamo di fatto determinando la rapp. nel modo seguente: prima scegliamo un particolare SR, in cui  $P_\mu = (m, \vec{0})$ , poi studiamo le rapp. del sottogruppo che lascia questa scelta invariante (piccolo gruppo). Poi riportiamo lo stato al suo stato qualunque risce eseguendo all'inverso la trasf. che ci ha portato nell'SR di riferimento. Questo è noto come metodo della rapp. invariante.

Rappresentazioni a massa nulla:  $P^2 |ms\rangle = 0$   
 $W^2 |ms\rangle = 0 \quad (27)$

Notiamo che per costruzione  $W^{\mu} P_{\mu} = 0$ .

Ma se sia  $W^{\mu}$  che  $P^{\mu}$  sono tipo luce, ne segue che  $W^{\mu} = \pm P^{\mu}$ . Infatti supponiamo senza ledere la generalità che  $\vec{P}$  sia lungo l'asse  $z$ :

$$P^{\mu} = (\omega, 0, 0, \omega) \quad (27)$$

Visto che  $W^{\mu} = (\pm |\vec{h}|, \vec{h}) \quad (28)$

e  $P^{\mu} W^{\mu} = \pm |\vec{h}| \omega = h_2 \omega = 0 \quad (29)$

ne segue che  $W^{\mu} = \pm (|\vec{h}|, 0, 0, |\vec{h}|) = (h, 0, 0, h) \quad (30)$

Notiamo inoltre che

$$h = W^0 = \frac{1}{2} \epsilon^{ijk} P_i J_{jk} = \vec{P} \cdot \vec{S} \quad (31)$$

Quindi il vettore di Pauli-Lubanski in questo caso è diretto lungo l'impulso ed ha due componenti non-nulle ed eguali fra loro, più all'elicità.

Ne segue che nel caso a massa nulla (a) lo spin deve essere lungo la direzione del moto (b) il valore dello spin lungo la direzione del moto è fissato in modulo, quindi solo due valori dello spin sono ammessi. Notare che questo è vero sia classicamente che quantisticamente.

Dal punto di vista delle rappresentazioni indotte, questo si può capire osservando che il piccolo gruppo di  $(\omega, 0, 0, \omega)$  è il gruppo delle rotazioni attorno all'asse  $z$ . Le rappresentazioni sono pertanto classificate dall'autovalore di  $S_z$ . Poiché il gruppo è abeliano, a priori tutti i valori di  $S_z$  sono

ammissibili. Tuttavia, poiché il gruppo di Poincaré è  
doppieamente connesso, solo i valori semi-interi danno  
luogo a rappresentazioni ammissibili del gruppo di Poincaré.  
Notiamo infine che a priori i due stati di  $h = \pm |b|$  corrispon-  
dono a due diverse particelle.  
Poiché l'inversione temporale trasforma l'una nell'altra,  
per interazioni invarianti sotto  $T$  conviene considerare  
queste due particelle come due stati della stessa  
particella, che è così l'antiparticella di se stessa.

## 5. Il teorema di Noether

Abbiamo visto che in teoria dei campi la coordinata  $x$  non è più un'osservabile canonica, bensì un indice (un parametro). Questo solleva la domanda di come costruire le osservabili. La risposta è fornita dal teorema di Noether.

Ricordiamo la dimostrazione del teor. di Noether in meccanica classica. Sappiamo che se la Lagrangiana  $L$  varia per una derivata totale, ossia

$$dA = L(q'(t')) dt' = L(q(t)) + \frac{d}{dt} f(q, t) dt \quad (1)$$

allora le eq. del moto sono invariate.

Il teor. di Noether afferma che per ogni transf. di questo tipo vi è una quantità conservata.

Nel caso più generale, la transf. è, nel caso infinitesimo

$$q'(t) = q(t) + \delta q(t) \quad (2)$$

$$t'(t) = t + \delta t(t) \quad (3)$$

$$\delta dA = \left( \frac{\partial L}{\partial q} \delta q + \frac{\partial L}{\partial \dot{q}} \delta \dot{q} + \frac{dL}{dt} \delta t \right) dt + L \delta dt \quad (4)$$

$$\text{Ma} \quad \delta \dot{q} = \frac{d}{dt} (q'(t) - q(t)) = \frac{d}{dt} \delta q \quad (5)$$

$$\frac{d}{dt} t' = \frac{d}{dt} (t + \delta t) = 1 + \frac{d}{dt} \delta t \quad (6)$$

$$\delta dt = dt' - dt = \left( \frac{d}{dt} t' - 1 \right) dt = \frac{d}{dt} \delta t dt \quad (7)$$

$\delta_i$  ha quindi

$$\delta A = \left( \frac{\partial L}{\partial q} \delta q + \frac{\partial L}{\partial \dot{q}} \delta \dot{q} + \frac{dL}{dt} \delta t \right) dt + \frac{d}{dt} \delta t L dt \quad (8)$$

Ma usando le eq. del moto

$$\frac{\partial L}{\partial \dot{q}} = \frac{d}{dt} \frac{\partial L}{\partial \dot{q}}$$

da cui

$$\delta A = \frac{d}{dt} \left( \frac{\partial L}{\partial \dot{q}} \delta q + L \delta t \right) dt \quad (9)$$

Però se  $\delta A = 0$ , si conserva la carica

$$Q = \frac{\partial L}{\partial \dot{q}} \delta q + L \delta t \quad (10)$$

Se, più in generale

$$\delta A = \frac{d}{dt} \delta t$$

$$Q = \frac{\partial L}{\partial \dot{q}} \delta q + L \delta t - \frac{d}{dt} \delta t \quad (11)$$

Le cariche conservate sono i generatori della simmetria sotto Poisson, 10 sugli stati  
 fisici dopo la quantizzazione.  
 Un esempio particolarmente semplice è l'invarianza per traslazioni  
 temporali. Se

$$\begin{aligned} t' &\rightarrow t + \epsilon \\ \delta t' &= \epsilon \end{aligned} \quad (12)$$

Sotto questa trasformazione  $q \rightarrow q'$  tale che

$$q'(t) = q(t) \quad (13)$$

Pertanto

$$\begin{aligned} q'(t) &= q'(t - \epsilon) = q'(t) - \epsilon \dot{q} \\ &= q(t) - \epsilon \dot{q} \end{aligned} \quad (14)$$

$$\delta q = q'(t) - q(t) = -\epsilon \dot{q}$$

$$Q = -\dot{q} \frac{\partial L}{\partial \dot{q}} + L = -H \quad (15)$$

La quantità conservata quando vi è invarianza per traslazioni temporali <sup>(meno)</sup> è la hamiltoniana.

Generalizzando ora alla teoria dei campi abbiamo che la condizione di invarianza è

$$\delta dA = \mathcal{L}(\varphi'(x')) dx' = \mathcal{L}(\varphi(x)) dx + \partial_\mu F_\mu \quad (16)$$

dove  $dx$  è un integrale  $d$ -dimensionale (tipicamente 4-dim; 2 dim negli esempi discussi prima).

La variazione è ora data da

$$\delta A = \left( \frac{\partial \mathcal{L}}{\partial \varphi} \delta \varphi + \frac{\partial \mathcal{L}}{\partial \partial_\mu \varphi} \delta \partial_\mu \varphi + \frac{\partial \mathcal{L}}{\partial x^\mu} \delta x^\mu \right) dx + \mathcal{L} \delta dx \quad (17)$$

Abbiamo ora

$$\delta \partial_\mu \varphi = \partial_\mu \varphi' - \varphi = \partial_\mu \delta \varphi \quad \left| \begin{array}{l} \det \frac{\partial x'}{\partial x} \\ \partial x^\alpha \end{array} \right. \quad (18)$$

$$dx' = dx \frac{\partial x'}{\partial x} = dx \det(\delta_{\alpha\beta} + \partial_\beta \delta x^\alpha) = dx \partial_\alpha \delta x^\alpha + 1$$

Nota che  $\det \frac{\partial x'}{\partial x} = 1$   
(tutti gli autovalori sono 1)

$\partial_\mu \varphi' \approx$  Jacobiano

$\det(\partial_\beta x^\alpha + \delta x^\alpha)$  (23)

Usando ancora le eq. del moto

$$\delta A = \left[ \frac{\partial \mathcal{L}}{\partial \dot{\varphi}} \delta \dot{\varphi} + \frac{\partial \mathcal{L}}{\partial \varphi} \delta \varphi + \frac{\partial \mathcal{L}}{\partial x^\mu} \delta x^\mu + \mathcal{L} \partial_\mu \delta x^\mu \right] dx \quad (19)$$

Quindi la condizione di invarianza ci porta a

$$\partial_\mu j^\mu = 0$$

con

$$j^\mu = \left( \frac{\partial \mathcal{L}}{\partial \dot{\varphi}} \delta \dot{\varphi} + \mathcal{L} \delta x^\mu - f_\mu \right) \quad (20)$$

nel caso generalizzato di invarianza a nodi in terine di superficie.

Notiamo che la conservazione della corrente  $j^\mu$  implica la conservazione di una carica

$$Q = \int d^3x j^0(\vec{x}; t) \quad (21)$$

che soddisfa

$$\frac{dQ}{dt} = \int d^3x \frac{d}{dt} j^0 = \int d^3x \nabla \cdot \vec{j} = 0 \quad (22)$$

per corpi che vanno a zero all'infinito.

Nel caso di simetrie che lasciano invariate le coordinate le correnti  $j^\mu$  corrispondono alle correnti conservate, come ad es la corrente elettrica.

Considerando per semplicità dapprima trasformazioni  
 che lascino invariate le coordinate (similitudine), se  
 si è invarianza sotto un gruppo continuo di trasformazioni

$$\varphi \rightarrow \varphi' = e^{i\epsilon_i G^i} \varphi \quad (23)$$

dove  $\varphi$  è un vettore di campi ~~dei~~ sicché la  
 transf. infinitesimale è

$$\varphi'_a = (\delta_{ab} + i\epsilon_i G^i_{ab}) \varphi_b \quad (24)$$

$$\delta \varphi^a = \varphi'^a - \varphi^a = i \epsilon_i G^i \varphi$$

Quindi  $\varphi$  è un multipletto di correnti conservate.

$$j^i_a = \frac{\partial \mathcal{L}}{\partial \bar{\varphi}_a} G^i_{ab} \varphi_b \quad (25)$$

Le cariche conservate sono

$$Q^i = \int d^3x \frac{\partial \mathcal{L}}{\partial \bar{\varphi}_a} G^i_{ab} \varphi_b = \int d^3x \pi G^i \varphi \quad (26)$$

L'algebra delle cariche sotto Poisson è quella dei generatori  
 del gruppo. Infatti, definendo la derivata funzionale

$$\frac{\delta F}{\delta f(\bar{x})} = g(\bar{x}) \quad (27)$$

se  $F = \int d^3x f(\bar{x}) g(\bar{x})$

per cui  $\frac{\delta f(\bar{x})}{\delta f(\bar{y})} = \delta^{(3)}(\bar{x} - \bar{y})$

e la parentesi di Poisson funzionale

$$\{Q^i, Q^j\} = \int d^3x d^3y \left( \frac{\delta Q^i}{\delta \varphi_a(\bar{x})} \frac{\delta Q^j}{\delta \pi_b(\bar{y})} - i \varphi_a \right) \delta^{ab} \delta^{(3)}(\bar{x} - \bar{y})$$

si ha

$$\{a^i, a^j\} = \int d^3x d^3y \left( \pi_a(x) G_{ab}^i G_{bc}^j \varphi_c(y) - i \delta_{ij} \right) \delta^{(3)}(\vec{x} - \vec{y}) \delta_{bb'}$$

$$= \int d^3x \pi [G^i, G^j] \varphi \quad (29)$$

ovvero  $[G^i, G^j]$  è il commutatore dei generatori  
 del gruppo visti come matrici.

Per quanto concerne le trasformazioni che affettano le coordinate ci interessano ovviamente le trasformazioni del gruppo di Poincaré, che ora studiamo.

i) Traslazioni  $x_\mu \rightarrow x_\mu + \varepsilon_\mu^\alpha \delta_{\mu\alpha}$  (trasl. lungo  $\alpha$  e'asse  $\alpha$ ) (30)

$$\delta x_\mu = \varepsilon_\mu^\alpha \delta_{\mu\alpha}$$

$$\varphi'(x') = \varphi(x) \Rightarrow \varphi'(x + \delta x) = \varphi(x) \Rightarrow \varphi'(x) = \varphi(x - \delta x)$$

$$\varphi'(x) = \varphi'(x'_\mu - \varepsilon_\mu^\alpha) = \varphi'(x'_\mu) - \varepsilon_\mu^\alpha \partial_\mu \varphi$$

$$\delta \varphi = \varphi'(x) - \varphi(x) = -\varepsilon^\mu \partial_\mu \varphi \quad (31)$$

$$\delta^\alpha \varphi = -\partial_\alpha \varphi$$

Abbiamo quindi quattro correnti conservate, che formano il tensore energia-impulso

$$T_{\mu\nu} = -j^\mu_\nu = \frac{\partial \mathcal{L}}{\partial \partial_\nu \varphi} \partial_\mu \varphi - \mathcal{L} g_{\mu\nu} \quad (32)$$

con leggi di conservazione

$$\partial_\mu T^{\mu\nu} = 0 \quad \partial_\mu P^\mu = 0 \quad (33)$$

$$P^\mu = \int d^3x T^{0\mu}$$

Notiamo che data una corrente di Noether possiamo ridurla in forma equivalente aggiungendo ad essa una derivata totale conservata, ossia la derivata di un tensore antisimmetrico ("superpotenziale")

$$j^\mu \rightarrow j^{\mu'} = j^\mu + \partial^\mu f^{\nu\lambda}; \quad f^{\mu\nu} = -f^{\nu\mu} \quad (34)$$

~~tale che  $\partial_\mu j^\mu = 0$  in quanto la nuova corrente è ancora~~  
infatti

$$\partial_\mu j^{\mu'} = \partial_\mu j^\mu + \partial_\mu \partial_\nu f^{\mu\nu} = 0$$

sicché la nuova corrente è ancora conservata

conservata e dà luogo alle stesse cariche. In particolare, possiamo quindi ridefinire

$$T^{\mu\nu} \rightarrow T'^{\mu\nu} = \partial_\rho A^{\rho\mu\nu} + T^{\mu\nu} \quad (35)$$

dove

$$A^{\rho\mu\nu} = -A^{\rho\nu\mu} \quad (36)$$

Possiamo quindi in particolare sempre scegliere le  $A^{\rho\mu\nu}$  in modo che  $T'^{\mu\nu} = T'^{\nu\mu}$ . La forma simmetrica del tensore energia-impulso è quella che si accoppia alla gravità: infatti la covarianza generale implica che, come è noto,

$$T^{\mu\nu} = \frac{\delta I}{\delta g^{\mu\nu}} \quad (37)$$

ii) Trasformazioni di Lorentz

$$x'^{\mu} = \left( \delta^{\mu\nu} - \frac{i}{2} \omega^{\alpha\beta} J_{\alpha\beta} \right)^{\mu\nu} x^{\nu} \quad (38)$$

$$\delta x^{\mu} = \frac{i}{2} \omega^{\alpha\beta} (J_{\alpha\beta})^{\mu\nu} x^{\nu} \quad (39)$$

$$\begin{aligned} \varphi'(x') &= A \varphi(x) \\ &= \left( \delta^{\mu\nu} - \frac{i}{2} \omega^{\alpha\beta} \Sigma_{\alpha\beta} \right) \varphi(x) \end{aligned} \quad (40)$$

dove  $\Sigma_{\alpha\beta}$  forniscono una rappresentazione dei generatori nello spazio dei campi.

Abbiamo

$$\varphi'(x) = \left( \delta^{\mu\nu} - \frac{i}{2} \omega^{\alpha\beta} \Sigma_{\alpha\beta} \right) \varphi(x' - \delta x) \quad (41)$$

$$= \varphi(x) - \frac{i}{2} \omega^{\alpha\beta} \Sigma_{\alpha\beta} \varphi(x) + \frac{i}{2} \omega^{\alpha\beta} J_{\alpha\beta}^{\mu\nu} x^{\nu} \partial_{\mu} \varphi$$

$$\delta \varphi(x) = -\frac{i}{2} \left( \Sigma_{\alpha\beta} \varphi - J_{\alpha\beta}^{\mu\nu} x^{\nu} \partial_{\mu} \varphi \right) \quad (42)$$

Abbiamo quindi i momenti conservati:

$$j^{\alpha\beta} = \frac{\partial \mathcal{L}}{\partial \partial_\mu \varphi} \delta^{\alpha\beta} \varphi + \mathcal{L} \delta^{\alpha\beta} x^\mu$$

$$= -\frac{i}{2} \left[ \frac{\partial \mathcal{L}}{\partial \partial_\mu \varphi} \left( \Sigma_{\alpha\beta} \varphi - \mathcal{J}_{\alpha\beta}{}^\rho \sigma^\rho x^\sigma \partial_\rho \varphi \right) + \mathcal{L} (\mathcal{J}_{\alpha\beta})^\mu{}_\nu x^\nu \right] \quad (43)$$

$$= \frac{i}{2} \left[ \mathcal{J}_{\alpha\beta}{}^\rho{}_\nu x^\nu \left( -2 g_{\rho\mu} + \frac{\partial \mathcal{L}}{\partial \partial_\mu \varphi} \partial_\rho \varphi \right) - \frac{\partial \mathcal{L}}{\partial \partial_\mu \varphi} \Sigma_{\alpha\beta} \varphi \right] \quad (44)$$

$$= \frac{i}{2} \left( (\mathcal{J}_{\alpha\beta})^\rho{}_\nu x^\nu T^{\rho\mu} - \frac{\partial \mathcal{L}}{\partial \partial_\mu \varphi} \Sigma_{\alpha\beta} \varphi \right)$$

e usando ora la forma esplicita eq. (11') dei generatori nella rapp. fondamentale abbiamo infine ( $(\mathcal{J}_{\alpha\beta})^\rho{}_\nu = i(g_{\alpha\rho} g_{\beta\nu} - g_{\alpha\nu} g_{\beta\rho})$ )

$$j^{\alpha\beta} = \frac{1}{2} \left( -T^{\alpha\mu} x^\beta + T^{\beta\mu} x^\alpha - i \frac{\partial \mathcal{L}}{\partial \partial_\mu \varphi} \Sigma_{\alpha\beta} \varphi \right)$$

$$= \frac{1}{2} \left( x^\alpha T^{\mu\beta} - x^\beta T^{\mu\alpha} - i \frac{\partial \mathcal{L}}{\partial \partial_\mu \varphi} \Sigma_{\alpha\beta} \varphi \right)$$

$$= \mathcal{L} \overset{\mu\alpha\beta}{S} + \overset{\mu\alpha\beta}{S} \quad (45)$$

$$\mathcal{L} \overset{\mu\alpha\beta}{S} = \frac{1}{2} (x^\alpha T^{\mu\beta} - x^\beta T^{\mu\alpha})$$

$$\overset{\mu\alpha\beta}{S} = -i \frac{\partial \mathcal{L}}{\partial \partial_\mu \varphi} \Sigma_{\alpha\beta} \varphi \quad (\text{dip. dalla rapp. del gruppo di Lorentz portata da } \varphi / 2g)$$

con

Studiamo ora in particolare il caso delle rotazioni e quello dei boost, nel caso di un campo scalare

• Per rotazioni le correnti e cariche conservate sono

$$J^i = \epsilon^{ijk} \int d^3x j_{jk}^i \quad (46)$$

$$j_{jk}^i = L^{ijk} + S^{ijk} \quad (47)$$

da cui vediamo che

$$L^{ijk} = 2(x^i p^k - x^k p^i) \quad (48)$$

dove  $p^i = T^{0i}$  (49)

e la densità di impulso, per cui ricaviamo  $L^i = \epsilon^{ijk} L^{0jk}$

come la densità di momento angolare orbitale:  $\vec{L} = \vec{x} \times \vec{p}$

Se il campo è un bosone scalare,  $S^{ijk} = 0$  e la densità di

spin: ad esempio se i campi portano una rapp. di spin 1/2 del gruppo delle rotazioni,  $i \epsilon^{ijk} \Sigma_{jk} = \sigma^i$ , la i-esima matrice di Pauli.

• Per boost le correnti conservate sono

$$K^i = \int d^3x j_{0i}^0 \quad (50)$$

$$j_{0i}^0 = \frac{1}{2} (x^i \mathcal{H} - t \theta^i) \quad (51)$$

dove  $\mathcal{H}$  è la densità di hamiltoniana.

L'interpretazione di questa quantità <sup>(per campi scalari)</sup> si ha notando che  $\theta^i$  sono costanti del moto. Questo vuol dire che

$$\bar{x}_B = \int d^3x \bar{x} \mathcal{H} \quad (52)$$

Si muove di moto rettilineo uniforme. Questa è la versione relativistica del teor. del baricentro, definito come la posizione pesata con l'energia (ovvero la massa come nel caso non-relativistico).

Mostriamo infine che per corpi non scalari il tensore energia-impulso non può essere simmetrico usando la definizione alla Noether, ma può essere simmetrizzato per teorie invarianti di Lorentz.

Abbiamo infatti

$$\begin{aligned} 0 = \partial_\mu \mathcal{J}^{\mu\rho\sigma} &= \partial_\mu \frac{1}{2} (x^\rho T^{\mu\sigma} - x^\sigma T^{\mu\rho}) + \partial_\mu S^{\mu\rho\sigma} \\ &= \frac{1}{2} (T^{\rho\sigma} - T^{\sigma\rho}) + \partial_\mu S^{\mu\rho\sigma} \end{aligned} \quad (53)$$

$$\text{ossia} \quad T^{\rho\sigma} - T^{\sigma\rho} = -2 \partial_\mu S^{\mu\rho\sigma} \neq 0 \quad (54)$$

Possiamo però porre

$$T'^{\rho\sigma} = T^{\rho\sigma} + \partial_\mu (A^{\mu\rho\sigma}) \quad (55)$$

$$A^{\mu\rho\sigma} = (S^{\mu\rho\sigma} - S^{\rho\mu\sigma} - S^{\sigma\mu\rho}) \quad (56)$$

dimodochè

$$\begin{aligned} T'^{\rho\sigma} - T'^{\sigma\rho} &= T^{\rho\sigma} - T^{\sigma\rho} + \partial_\mu (S^{\mu\rho\sigma} - S^{\mu\sigma\rho}) \\ &= -2 \partial_\mu S^{\mu\rho\sigma} + 2 \partial_\mu S^{\mu\rho\sigma} \end{aligned} \quad (57)$$

avendo usato la Eq. (54) e l'antisimmetria di  $S^{\mu\rho\sigma}$  rispetto a  $\rho\sigma$  (condizione di Belinfante).

## 2 Quantizzazione dei campi

### 1. Il campo scalare

D'ora in poi consideriamo la teoria relativistica, e quindi scalari di Lorentz. La lagrangiana eq. (3.18) è immediatamente scalare <sup>in 2d</sup> e si prende  $\lambda = 1$ . Può facilmente essere promossa a scalare 4D definendo

$$\mathcal{L} = \frac{1}{2} (\partial_\mu \phi \partial^\mu \phi - m^2 \phi^2)$$

e supponendo che  $\phi(x)$  sia uno scalare di Lorentz, tale cioè che  $\phi'(x') = \phi(x)$ .  
 Notiamo anche che il termine cinetico è il termine minimale contenente almeno una derivata temporale, scalare. Termini con più derivate temporali sono "superiori" nel senso che collegano le eq.

Un termine lineare, del tipo  $\langle \bar{\psi} | \hat{K} \rangle = \exp(i \bar{K} \cdot \bar{x})$  associato nella definizione di  $\phi$ , pone  $\phi = \frac{1}{\sqrt{2\omega}} (a_{\vec{k}} e^{-i\omega t} + a_{-\vec{k}}^\dagger e^{i\omega t})$  e quindi  $[m] = [L]$ .

Postiamo ora che sotto quantizzazione questa teoria descrive eccitazioni elementari di massa  $m$ ; lo spin è 0 in quanto ad ogni punto dello spaziotempo vi è un unico grado di libertà.

Le eq. del moto derivano da  $(\square + m^2)\phi = 0$  (2) mentre il tensore energia-impulso è dato da

Non.: coordinate non locali  
 $\langle \bar{\psi} | \hat{K} \rangle = \exp(i \bar{K} \cdot \bar{x})$   
 $\phi = \frac{1}{\sqrt{2\omega}} (a_{\vec{k}} e^{-i\omega t} + a_{-\vec{k}}^\dagger e^{i\omega t})$   
 $[m] = [L]$

$$T^{\mu\nu} = \partial^\mu \varphi \partial^\nu \varphi - \mathcal{L} g^{\mu\nu} \quad (3)$$

Notiamo che la densità di energia coincide con la densità di hamiltoniana ottenuta dal formalismo canonico,  $T^{00} = \mathcal{H}$ , dimododoché la hamiltoniana è

$$H = \int d^3x \frac{1}{2} (\dot{\varphi}^2 + \vec{\nabla} \varphi \vec{\nabla} \varphi + m^2 \varphi^2) \quad (4)$$

$$= \frac{1}{2} \langle \dot{\varphi} | \dot{\varphi} \rangle + \langle \varphi | W | \varphi \rangle = T + V \quad (5)$$

usando la notazione introdotta quando abbiamo determinato le coordinate normali. Possiamo scrivere esplicitamente che in termini di queste, date da (Eq. (45))  $\langle \bar{k} | \varphi \rangle = \int d^3x e^{-i\bar{k}\cdot\vec{x}} \varphi(\vec{x})$  la hamiltoniana si disaccoppia:

$$H = \frac{1}{2} \int \frac{d^3k}{(2\pi)^3} \left[ \langle \dot{\varphi} | \bar{k} \rangle \langle \bar{k} | \dot{\varphi} \rangle + \langle \varphi | \bar{k} \rangle \langle \bar{k} | \varphi \rangle (\bar{k}^2 + m^2) \right] \quad (6)$$

$$= \frac{1}{2} \int \frac{d^3k}{(2\pi)^3} \left[ |\dot{\varphi}(\bar{k})|^2 + (\bar{k}^2 + m^2) |\varphi(\bar{k})|^2 \right] \quad (7)$$

$$= \frac{1}{2} \int \frac{d^3k}{(2\pi)^3} \left[ |\dot{\varphi}(\bar{k})|^2 + \omega^2 |\varphi(\bar{k})|^2 \right] \quad (8)$$

$$= \int \frac{d^3k}{(2\pi)^3} \mathcal{H}(\bar{k}) \quad (9)$$

ovvero la densità di hamiltoniana per la  $\bar{k}$ -esima coordinata normale  $\langle \varphi | \bar{k} \rangle \langle \bar{k} | T + V | \bar{k} \rangle \langle \bar{k} | \varphi \rangle$  e

$$\mathcal{H}(\bar{k}) = \frac{1}{2} |\dot{\varphi}|^2 + \omega^2 |\varphi|^2 \dots \quad (10)$$

Questa è una hamiltoniana di oscillatore armonico per la  $\bar{k}$ -esima coordinata normale, ed infatti ricordiamo la soluzione generale classica

$$\varphi(\vec{k}, t) = \frac{1}{\sqrt{2\omega}} \left( a(\vec{k}) e^{-i\omega t} + a^*(-\vec{k}) e^{i\omega t} \right) \quad (11)$$

dove ricordiamo che la rel. fra coefficienti dell'onda progressiva e regressiva è fissata dalla condizione di realtà del campo. Ora ricordiamo che in MQ l'osc. armonico si quantizza scrivendo la coordinata canonica  $q$  in termini di operatori  $a, a^\dagger$  come

$$q = \sqrt{\frac{\hbar}{2m\omega}} (a + a^\dagger) \quad (12)$$

ovvero  $[a, a^\dagger] = 1 \quad (13)$

e in rapp. di Heisenberg

$$q_{H^\dagger}(t) = \sqrt{\frac{\hbar}{2m\omega}} \left( a e^{-i\omega t} + a^\dagger e^{i\omega t} \right) \quad (14)$$

Quantizziamo dunque il campo come oscillatori armonici facendo

$$[a_{\vec{k}}, a_{\vec{k}'}^\dagger] = (2\pi)^3 \delta^{(3)}(\vec{k} - \vec{k}') \quad (15)$$

Notiamo che il fattore  $(2\pi)^3$  è convenzionale (cambia la normalizzazione degli stati) ma è consistente con il fatto che le frequenze per un sistema di lunghezza  $L$  con cond. periodiche sono  $k_n = \frac{2\pi n}{L}$ , dunque

$$\left(\frac{2\pi}{L}\right)^3 \sum_{\vec{k}} \rightarrow \int d^3k ; \quad \delta_{\vec{k}\vec{k}'} \rightarrow \left(\frac{2\pi}{L}\right)^3 \delta^{(3)}$$

Notare che non dividiamo per  $L^3$  e quindi la non. è infinita:  $\delta^{(3)}(0) \sim L^3$

Il campo quantizzato è dunque l'operatore hermitico alla Heisenberg

$$\varphi(\vec{x}) = \sqrt{\frac{d^3k}{(2\pi)^3}} \frac{1}{\sqrt{2\omega}} \left( e^{-ikx} a(\vec{k}) + e^{ikx} a^\dagger(\vec{k}) \right)$$

$$= \sqrt{\frac{d^3k}{(2\pi)^3}} \frac{1}{\sqrt{2\omega}} \left( e^{-i(\omega_k t - \vec{k} \cdot \vec{x})} a(\vec{k}) + e^{i(\omega_k t - \vec{k} \cdot \vec{x})} a^\dagger(\vec{k}) \right) \quad (16)$$

Il fatto che la dip. da  $t$  sia la stessa che nel caso classico è conseguenza del teorema di Ehrenfest: le coord. canoniche sono le stesse delle eq. classiche del moto.

È interessante determinare esplicitamente l'espressione della hamiltoniana in termini di operatori di creazione e distruzione, ossia di operatori canonici.

Abbiamo

$$H = \sqrt{\frac{d^3k}{(2\pi)^3}} \frac{1}{2\omega_k} \left\{ \omega_k \left( a_{\vec{k}} e^{-i\omega t} - a_{\vec{k}}^\dagger e^{i\omega t} \right)^2 + \omega_k^2 \left( a_{\vec{k}} e^{-i\omega t} + a_{\vec{k}}^\dagger e^{i\omega t} \right)^2 \right\}$$

$$= \sqrt{\frac{d^3k}{(2\pi)^3}} \frac{\omega_k}{4} \left[ \begin{aligned} & \left( a_{\vec{k}} e^{-i\omega t} - a_{\vec{k}}^\dagger e^{i\omega t} \right) \left( a_{\vec{k}} e^{-i\omega t} + a_{\vec{k}}^\dagger e^{i\omega t} \right) \\ & + \left( a_{\vec{k}} e^{-i\omega t} + a_{\vec{k}}^\dagger e^{i\omega t} \right) \left( a_{\vec{k}} e^{-i\omega t} - a_{\vec{k}}^\dagger e^{i\omega t} \right) \end{aligned} \right]$$

$$= \sqrt{\frac{d^3k}{(2\pi)^3}} \frac{\omega_k}{4} \left( a_{\vec{k}}^\dagger a_{\vec{k}} + a_{\vec{k}} a_{\vec{k}}^\dagger \right) \quad (17)$$

Notare che: - i termini  $a^\dagger a^\dagger$  e  $a a$  si semplificano - la  $H$  non dipende dal tempo (come deve)

Possiamo riscrivere l'ultimo passaggio come

$$H = \sqrt{\frac{d^3k}{(2\pi)^3}} \omega_k \left( a_{\vec{k}}^\dagger a_{\vec{k}} + \frac{1}{2} \delta^{(3)}(0) \right) \quad (18)$$

Gli operatori  $a_{\vec{k}}$  alla Heisenberg soddisfano le eq. classiche del moto (come in seguito verificheremo esplicitamente), e dunque

$$a^{\dagger}(\vec{k}, t) = e^{-i\omega t} a^{\dagger}(\vec{k}) \quad (15')$$

Possiamo corrispondentemente definire un operatore di campo alla Heisenberg nello spazio "delle coordinate" di partenza:

$$\psi^{\dagger}(\vec{x}, t) = \int \frac{d^3 k}{(2\pi)^3} \frac{1}{\sqrt{2\omega}} \left( e^{-ikx} a(\vec{k}) + e^{ikx} a^{\dagger}(\vec{k}) \right) \quad (16)$$

$$kx = \omega t - \vec{k} \cdot \vec{x}$$

Ovviamente, il passaggio alle coord. normali disaccoppia la hamiltoniana, che è corrispondentemente conservata. Verifichiamo esplicitamente anche per tenere conto della non-commutatività degli operatori:

\*\*\*

$$= :H: + \int \frac{d^3k}{(2\pi)^3} \omega \delta^{(3)}(\mathbf{k}) \quad (15) (21)$$

$\nwarrow$  fatt. di volume  
 $\swarrow$  dens. di energia

con

$$:H: = \int \frac{d^3k}{(2\pi)^3} \omega a_k^\dagger a_k \quad (16) (22)$$

Notiamo che  
 (ordinamento normale: tutti gli op. di distruggere a destra)  
 Nota che:  $\delta^{(3)}(\mathbf{k})$  è un fatt. di volume, ma anche la dens. di energia  
 Il calcolo quasi identico porta a determinare per tutti i valori di  $\mathbf{k}$ .

$$:\bar{P}: = \int \frac{d^3k}{(2\pi)^3} \bar{k} a_k^\dagger a_k \quad (17) (23)$$

Mostriamo quindi che gli stati

$$|\bar{k}\rangle = a_k^\dagger |0\rangle \quad (18)$$

sono autostati dell'impulso

$$P^\mu |\bar{k}\rangle = k^\mu |\bar{k}\rangle \quad (19)$$

con

D'ora in poi  $\omega \rightarrow E$ ;  $k^\mu = (\omega, \bar{k})$ ;  $\omega = \sqrt{k^2 + m^2} \Rightarrow$  questo dimostra che si tratta di stati massivi!  
 È facile verificare che sono anche autostati dello spin aventi  $s=0$ : infatti per ogni punto dello spazio-tempo abbiamo un unico grado di libertà, scalare sotto Lorentz.

Quindi  $|\bar{k}\rangle$  sono stati ad una particella. Lo spazio degli stati fisici è lo spazio somma diretta degli spazi a 1, 2, ... intire particelle, ciascuno dei quali si ottiene occupando  $n$  stati di impulso (uguali o diversi) e eventualmente simmettizzando come richiesto dal teorema spin-statistica (spazio di Fock):

$$F = \bigoplus_{n=0}^{\infty} \mathcal{H}_n; \quad \mathcal{H}_0 = |0\rangle; \quad \mathcal{H}_n = \bigoplus_{i=1}^n \mathcal{H}_i^1 \quad (19')$$

Discutiamo brevemente la normalizzazione degli stati.

Conviene scegliere la normalizzazione in modo che il prodotto tra stati sia uno scalare di Lorentz (e' un'ampiezza di probabilità). Notiamo che  $\langle \bar{k}' | \bar{k} \rangle = \delta^{(3)}(\bar{k} - \bar{k}')$  non e' quindi una buona normalizzazione, perche'  $\delta^{(3)}$  non e' scalare, in quanto  $d^3k$  non lo e'.

Notiamo pero' che

$$\frac{d^3k}{2E} = d^4k \delta(k^2 - m^2) \Theta(E) \quad (20)$$

e' manifestamente scalare.

Inoltre ovviamente  $d^3k \delta^{(3)}(\bar{k})$  e' scalare. Quindi

$\int d^3k \delta^{(3)}(\bar{k}) = \frac{d^3k}{2E} 2E \delta^{(3)}(\bar{k})$  e' scalare, ma perche'

$\frac{d^3k}{2E}$  e' scalare,  $2E \delta^{(3)}(\bar{k})$  e' scalare. Possiamo

quindi normalizzare gli stati come

$$\langle \bar{k}' | \bar{k} \rangle = 2E \delta^{(3)}(\bar{k} - \bar{k}') (2\pi)^3 \quad (21)$$

che implica

$$|\bar{k}\rangle = \sqrt{2E} a_{\bar{k}}^{\dagger} |0\rangle \quad (22)$$

Notare che se avessi posto  $cp = \sqrt{\frac{d^3k}{2\omega}} (\bar{a} e^{-i\bar{k}x} + h.c.)$ ,  $\frac{\bar{a}}{2\omega} = \frac{a}{\sqrt{2\omega}} \Rightarrow \bar{a} = \sqrt{2\omega} a$

Non costruiamo qui gli altri generatori del gruppo di Lorentz, ma

limitiamo ad osservare che

- gli operatori soddisfanno le relazioni di commutazione del gruppo di Lorentz

- il momento angolare non e' diagonale nella base delle onde piane

Osserviamo inoltre che possiamo definire un operatore di campo canonico alla Heisenberg  $\pi^H(\bar{x}, t)$  che soddisfa relazioni di commutazione canoniche con il campo  $\varphi(\bar{x}, t)$  Eq. (16) a tempi uguali:

$$[\varphi(\bar{x}, t), \pi(\bar{y}, t)] = i \delta^{(3)}(\bar{x} - \bar{y}) \quad (23)$$

È facile verificare che, espresso in termini degli  $a$  e  $a^\dagger$ , questa operazione si ottiene dal campo classico  $\pi = \dot{\varphi}$  sostituendo  $a$  con gli operatori corrispondenti:

$$\pi = \int \frac{d^3k}{(2\pi)^3} \frac{-i\omega}{\sqrt{2\omega}} \left( a(\vec{k}) e^{-ikx} + a^\dagger(\vec{k}) e^{ikx} \right) \quad (24)$$

Notiamo che  $\pi$  non è l'operatore impulso (e  $\varphi$  non è l'operatore posizione!).

L'operatore impulso è quello dato dalla Eq. (19), e genera le traslazioni nel senso che

$$[P^\mu, \varphi(\bar{x})] = -i\partial_\mu \varphi(\bar{x}) \quad (25)$$

## Commenti sull'operatore d'impulso

- 1) Che cos'è? È una coordinata Lagrangiana per ogni punto dello spazio, quantizzata, ma accoppiata a punti diversi dello spazio: quindi è una sovrapposizione di op. di creazione e distruzione, accoppiati
- 2) è un op. alla Heisenberg: l'op. di distruzione disaccoppiato dipende dal tempo come

$$a_k(t) = e^{-i\omega t} a_k^{\text{sch.}}$$

- 3) Ne segue che gli autostati ed autovalori di  $Q(\bar{x}, t)$  soddisfano

$$Q(\bar{x}, t) |\psi(\bar{x})\rangle = Q(\bar{x}, t) |\psi(\bar{x})\rangle$$

Vanno pensati come una base completa nello spazio di Hilbert, nel senso che per ogni  $\bar{x}$  (visto, come indice) vi è una  $Q(\bar{x})$  indipendente. Una "luce all'onda" è un fascio:

$$\langle \psi(\bar{x}) | \Psi \rangle = \Psi [Q(\bar{x})]$$

Sul quale le osservabili agiscono come operatori differenziali funzionali.

## 2. Più gradi di libertà

Possiamo ora considerare il caso in cui ad ogni punto dello spazio-tempo associamo più di un grado di libertà.

Il più semplice caso è quello del campo scalare canonico, la cui lagrangiana è

$$\mathcal{L} = \partial_\mu \phi^* \partial^\mu \phi - m^2 |\phi|^2 \quad (27)$$

Questa lagrangiana è invariante sotto

$$\phi \rightarrow e^{i\theta} \phi = \phi' \quad (28)$$

il che dà luogo alla corrente di Noether (notare che  $\phi, \phi^*$  sono indipendenti)  $j^\mu = i(\phi^* \partial^\mu \phi - \phi \partial^\mu \phi^*)$  (29)

La quantizzazione di questo campo è identica a quella già discussa nel caso del campo scalare, eccett. che ora viene a mancare la condizione di realtà, e quindi la soluzione classica generale è

$$\phi(\vec{x}) = \int \frac{d^3k}{(2\pi)^3} \frac{1}{\sqrt{2\omega}} \left( a_{\vec{k}} e^{-ikx} + b_{\vec{k}} e^{+ikx} \right) \quad (30)$$

dove ora  $a_{\vec{k}}$  e  $b_{\vec{k}}$  sono operatori indipendenti che soddisfano condizioni indipendenti di quantizzazione della forma

$$[a_{\vec{k}}, a_{\vec{k}'}^\dagger] = (2\pi)^3 \delta^{(3)}(\vec{k} - \vec{k}') \quad (31)$$

Il tensore energia impulso è ora dato da (notare che  $\phi, \phi^*$  vanno trattati come campi indipendenti)

$$T^{\mu\nu} = 2\partial^\mu \phi^* \partial^\nu \phi - \mathcal{L} g^{\mu\nu} \quad (32)$$

da cui

$$H = \int d^3x \mathcal{H}^{00} = \int d^3x |\dot{\varphi}|^2 + \bar{\psi} \not{\partial} \psi + m^2 \varphi^2$$
$$= \int \frac{d^3k}{(2\pi)^3} \omega_k (a_k^\dagger a_k + b_k^\dagger b_k) \quad (33)$$

$$Q = \int \frac{d^3k}{(2\pi)^3} (a_k^\dagger a_k - b_k^\dagger b_k) \quad (34)$$

La cui dimostrazione viene data per esercizio.

S: vede come che vi sono due specie di stati liberi, caratterizzati dalla stessa energia-impulso, ma da carica opposta ("particelle" e "anti-particelle").

Un'osservazione interessante, ma di interesse storico, è che gli stati  $b$  sono associati a "soluzioni di energia negativa" (cioè  $\omega = -\sqrt{k^2 + m^2}$ ), che "distinggono", in quanto il relativo coefficiente è  $b^\dagger$ . Questo dà luogo all'interpretazione del "mare di Dirac", di puro interesse storico.

Passiamo ora a stati di spin 1. Consideriamo in particolare il caso del campo elettromagnetico.

Ricordiamo alcuni risultati derivanti dalla formulazione lagrangiana dell'elettrodinamica.

La Lagr. di Maxwell è

$$\mathcal{L} = -\frac{1}{4} F^{\mu\nu} F_{\mu\nu} + j^\mu A_\mu \quad (35)$$

$$F^{\mu\nu} = \partial^\mu A^\nu - \partial^\nu A^\mu \quad (36)$$

che dà luogo alle eq. di Eulero-Lagrange

$$\partial_\mu F^{\mu\nu} = j^\nu \quad (37)$$

ossia 
$$\square A^\nu - \partial^\nu \partial_\mu A^\mu = j^\nu \quad (38)$$

Notiamo che  $[A] = [L]^{-1}$  come si vede sia dal termine "libero" che dal termine di accoppiamento. Per consistenza si deve avere

Notiamo che  $\partial_\mu j^\mu = 0 = \partial_\mu \partial_\nu F^{\mu\nu}$  : la lagrangiana è invariante sotto 
$$(39)$$

$$A_\mu \rightarrow A'_\mu = A_\mu + \partial_\mu \theta, \quad (40)$$

incluso il termine di accoppiamento visto che

$$\delta \mathcal{L} = \partial_\mu \theta j^\mu \quad (41)$$

$$\delta I = \int d^4x \partial_\mu \theta j^\mu = - \int d^4x \theta \partial_\mu j^\mu = 0 \quad (42)$$

se i campi si annullano a infinito.

Questa "invarianza di gauge" è in realtà una ridondanza nella descrizione del sistema. Infatti, corrisponde al fatto che i gradi di libertà fisici sono due, non è una "vera" simmetria (le cariche di Noether conservate si annullano).

Notiamo infatti che uno dei quattro campi  $A_\mu$  può essere eliminato usando la eq. (40). Notiamo inoltre che l'eq. per  $A^0$  può essere scritta nella forma

$$\cancel{\partial^\mu \partial_\mu A^0} - \Delta A^0 - \cancel{\partial_0 \partial_0 A^0} + \partial_0 \bar{\nabla} \cdot \bar{A} = j^0 \quad (43)$$

ossia

$$-\Delta A^0 + \partial_0 \bar{\nabla} \cdot \bar{A} = j^0 \quad (44)$$

Questa è una eq. del primo ordine nei tempi, e quindi è un vincolo. Vi sono quindi solo due eq. dinamiche

consistere con l'osservare che una coeff. a massa nulla del gruppo di Lorentz ha solo due gradi di libertà.

Le coordinate mondiali (sol delle eq. classiche del moto) sono onde piane a massa nulla, in quanto possiamo dapprima scegliere la gauge di Lorentz

$$\partial_\mu A_\mu = 0 \quad (45)$$

dove  $\square A^\mu = 0 \quad (46)$

e in qualunque altra gauge

$$A'_\mu = A_\mu + \partial_\mu \theta. \quad (47)$$

Se

$$A_\mu(\bar{k}) = \int d^3x e^{-i\bar{k}\bar{x}} A_\mu(\bar{x}) \quad (48)$$

$$A'_\mu \theta(k) = \int d^4x e^{ikx} \theta(x) \quad (49)$$

$$A'_\mu(k) = A_\mu(k) - i k_\mu \theta(k) \quad (50)$$

Per capire quali sono i gradi di libertà fisici studiano ora le cariche conservate

~~Consistentemente con l'osservazione che una rappresentazione a  
 matrice nulla del gruppo di Lorentz ha solo due gradi di  
 libertà.~~

Il tensore energia-impulso è

$$T^{\mu\nu} = F^{\mu\alpha} F^{\nu}_{\alpha} + \frac{1}{4} g^{\mu\nu} F_{\alpha\beta} F^{\alpha\beta} \quad (37)$$

In particolare la densità di energia è

$$T^{00} = \mathcal{H} = \frac{1}{2} (\vec{E}^2 + \vec{B}^2) \quad (38)$$

e la densità di impulso

$$T^{0i} = \mathcal{P}^i = \varepsilon^{ijk} E_j B_k \quad (39)$$

(vett. di Poynting).

La densità di spin è

$$S^i = \frac{1}{2} \varepsilon^{ijk} S^{jk} = \frac{1}{2} \varepsilon^{ijk} \mathcal{S}^{jk} \quad (40)$$

$$\mathcal{S}^{jk} = E_j A_k \quad (41)$$

Notiamo che in generale lo spin non è invariante di gauge:  
 infatti se  $A_i \rightarrow A_i + \partial_i \theta$

$$S^i = \int d^3x \varepsilon^{ijk} E_j A_k \rightarrow S^i + \int d^3x \varepsilon^{ijk} E_j \partial_k \theta$$

Sotto una trasformazione di gauge, la  $k$ -esima onda  
 si trasforma secondo  $A^\mu(k) \rightarrow A^\mu(k) + k^\mu \theta(k)$

Dunque vediamo che

Le osservabili diventano così

~~$$H = \int \frac{d^3k}{(2\pi)^3} \omega_k (a_k^\dagger a_k + b_k^\dagger b_k) \quad (6)$$~~

~~$$Q = \int \frac{d^3k}{(2\pi)^3} (a_k^\dagger a_k - b_k^\dagger b_k) \quad (7)$$~~

gli stati con spin 1/2  
 o prima trasf di  $\bar{\psi}$  (costruzione dello scalare  $\bar{\psi}\psi$ )  
 o po trasf di  $\bar{\psi}\gamma_4\psi$

alla "in quanto" stati superiori  
 $\rightarrow$  rispetto agli  
 o formale (o  
 della eq. (6).

### 2.3 Campo fermionico

### 2.3 Il campo di Dirac

La costruzione di una teoria di campi fermionici richiede due ingredienti fondamentali: (1) dei campi che ad ogni punto nello spazio tempo si trasformano secondo la rapp. di spin 1/2 del gruppo di Lorentz; (2) una regola per costruire oggetti vettoriali da questi campi, in modo da poter formare un prodotto scalare con un vettore di derivate.

Entrambi i requisiti sono soddisfatti grazie alla seguente costruzione (di Dirac):  
 date quattro matrici  $\gamma^\mu$  tali che  $\{\gamma^\mu, \gamma^\nu\} = 2g^{\mu\nu} \mathbb{1}_{n \times n}$  (8)

le matrici 
$$\sigma^{\mu\nu} = \frac{i}{4} [\gamma^\mu, \gamma^\nu] \quad \leftarrow \text{notare che se } \gamma^\mu \gamma^\nu \text{ fossero hermitiane questo } \leftarrow \text{eq sarebbe pure perde } i^* = -i \quad (9)$$

soddisfano l'algebra del gruppo di Lorentz.  $[\sigma^{\mu\nu}, \sigma^{\rho\sigma}] = -i(\delta^{\mu\rho}\sigma^{\nu\sigma} - \delta^{\mu\sigma}\sigma^{\nu\rho} - \delta^{\nu\rho}\sigma^{\mu\sigma} + \delta^{\nu\sigma}\sigma^{\mu\rho})$

Per capire il significato, osserviamo che questo è vero per il

gruppo di Lorentz in 3 dimensioni (o per il gruppo delle rotazioni se  $\{\delta^{\mu\nu}, \gamma^{\mu\nu}\} = 2\delta^{\mu\nu} \mathbb{1}$ ).

In tal caso la rapp. di più piccola dim. è  $n=2$ , e possiamo quindi <sup>cercare di</sup> costruire le matrici  $2 \times 2$  tali che

$$\{\gamma^i, \gamma^j\} = -2\delta^{ij} \quad (10)$$

Tali matrici sono le matrici di Pauli, a meno di un fattore:

Ma in tal caso  $\gamma^{ij} = i\sigma^i$

$$\sigma^{ij} = \frac{-i}{4} [\sigma^i, \sigma^j] = \frac{1}{2} \epsilon^{ijk} \sigma^k \quad (11)$$

che sono proprio i generatori del gruppo delle rotazioni.

(Nel caso  $d$ -dimensionale, si dimostra che le  $\gamma$  devono avere dimensione  $n = 2^{\lfloor d/2 \rfloor}$ , ossia  $n=2$  se  $d=2,3$ ;  $n=4$  se  $d=4,5$  e così via).

Vi sono naturalmente infinite rappresentazioni delle  $\gamma^{\mu\nu}$ , visto che una transf. unitaria  $\gamma^{\mu\nu} \rightarrow U \gamma^{\mu\nu} U^{-1}$  lascia invariata la eq. (8). Una rapp. conveniente è la rapp. di Weyl (o <sup>chiral</sup>) in cui  $\gamma^{\mu\nu} = U \gamma^{\mu\nu} U^{-1}$  che soddisfanno sempre l'algebra del gruppo di Lorentz.

$$\gamma^0 = \begin{pmatrix} 0 & \mathbb{1}_{2 \times 2} \\ \mathbb{1}_{2 \times 2} & 0 \end{pmatrix}; \quad \bar{\gamma} = \begin{pmatrix} 0 & \bar{\sigma} \\ -\bar{\sigma} & 0 \end{pmatrix} \quad (12)$$

In questa rapp. i generatori delle rotazioni sono

$$\sigma^{ij} = \frac{i}{4} \begin{pmatrix} -[\sigma^i, \sigma^j] & 0 \\ 0 & [\sigma^i, \sigma^j] \end{pmatrix} = \frac{1}{2} \epsilon^{ijk} \begin{pmatrix} \sigma^k & 0 \\ 0 & \sigma^k \end{pmatrix}; \quad \bar{\sigma}^{ij} = \frac{1}{2} \epsilon^{ijk} \bar{\sigma}^k = \frac{1}{2} \begin{pmatrix} \sigma^i & 0 \\ 0 & \sigma^i \end{pmatrix} \quad (13)$$

Notiamo inoltre che i gen. di boost sono

$$K^i = \sigma^{0i} = \frac{i}{2} \begin{pmatrix} -\sigma^i & 0 \\ 0 & \sigma^i \end{pmatrix}; \quad \text{partato radiano de quante non ha (1/2, 0) e (0, 1/2)}$$

visto che sono  $3 \times 3$  matrici.

Si vede con esplicitamente che le  $\sigma^{\mu\nu}$  generano sugli stati  $n$ -dimensionali una rappresentazione di  $S = 1/2$  del gruppo di Lorentz. Vediamo quindi (a) le stime mettendo un'aria che rapp. (1,2,0); (b) quest'azione accennata ha lo stesso ord. di una rapp. vettoriale. Notiamo inoltre che la eq. (8) implica immediatamente che

$$\gamma^{0\mu} = \gamma^{\mu 0} ; \quad \gamma^{ij} = -\gamma^{ji} \quad (14)$$

in fatti da (8) infero

$$\gamma^0 \gamma^0 = 1 \quad (15)$$

$$\gamma^i \gamma^i = -1 \quad (16)$$

che a loro volta implicano che gli autovalori di  $\gamma^0$  sono  $\pm 1$ , e quelli di  $\gamma^i$  sono  $\pm i$ . Ma l'hermiticità è invariante sotto transf. unitarie, quindi ne segue l'asserto. Combinando la (14) e la (8) abbiamo

$$\gamma^{\mu\nu} = \gamma^{\nu\mu} \gamma^0 \gamma^0 \quad (17)$$

La proprietà che permette di costruire lagr. invarianti e l'analogo della proprietà delle matrici di Pauli di formare un vettore nella rapp. aggiunta del gruppo delle rotazioni:

$$R_{ij}^{-1} \sigma^i R_{ij} = R_{ij} \sigma^j \quad (18)$$

Nel nostro caso si ha

$$\Lambda_{1/2}^{-1} \gamma^\mu \Lambda_{1/2} = \Lambda^\mu_\nu \gamma^\nu \quad (19)$$

dove

$$\Lambda_{1/2}^\mu = \exp -\frac{i}{2} \omega_{\mu\nu} \sigma^{\mu\nu} \quad (20)$$

e la trasf. di Lorentz nella rapp. spinoriale (generatori eq. (9)) e

$$\Lambda_{1/2}^{\mu} = \exp -\frac{i}{2} \omega_{\mu\nu} J^{\mu\nu} \quad (22)$$

la trasf. di Lorentz nella rapp. vettoriale, in cui

$$(J^{\mu\nu})_{\beta}^{\alpha} = i \left( g^{\mu\alpha} g^{\nu\beta} - g^{\nu\alpha} g^{\mu\beta} \right) \quad (23)$$

Questa proprietà implica immediatamente che se  $\psi$  si trasforma come uno spinore, allora  $\psi^T \gamma^0 \gamma^{\mu} \psi$  si trasforma come un vettore. Infatti se

$$\psi \rightarrow \psi' = \Lambda_{1/2} \psi = \exp -\frac{i}{2} \omega_{\mu\nu} \sigma^{\mu\nu} \psi \quad (24)$$

allora

$$\begin{aligned} \psi^T \rightarrow \psi'^T &= \psi^T \Lambda_{1/2}^T = \\ &= \psi^T \exp \frac{i}{2} \omega_{\mu\nu} (\sigma^{\mu\nu})^T \end{aligned} \quad (25)$$

Ma notiamo che

$$\begin{aligned} (\sigma^{\mu\nu})^T &= -\frac{i}{4} [\gamma^{\mu\dagger}, \gamma^{\nu\dagger}] = \\ &= -\frac{i}{4} [\gamma^0 \gamma^{\nu} \gamma^0, \gamma^0 \gamma^{\mu} \gamma^0] = \\ &= \gamma^0 \sigma^{\mu\nu} \gamma^0 = \begin{pmatrix} 0 & i \\ i & 0 \end{pmatrix} \quad (26) \end{aligned}$$

Per tanto se

definiamo

$$\bar{\psi} \equiv \psi^T \gamma^0 \quad (27)$$

allora

$$\begin{aligned}\bar{\psi} &\rightarrow \bar{\psi}' = \psi^\dagger \left( \exp \frac{i}{2} \omega_{\mu\nu} (\sigma^{\mu\nu})^\dagger \right) \psi_0 \\ &= \psi^\dagger \left( \exp \frac{i}{2} \omega_{\mu\nu} \gamma^0 \sigma^{\mu\nu} \gamma_0 \right) \psi_0 \\ &= \bar{\psi} \exp \frac{i}{2} \omega_{\mu\nu} \sigma^{\mu\nu} \\ &= \bar{\psi} \Lambda^{-1}\end{aligned}\tag{28}$$

Quindi

$$\begin{aligned}\bar{\psi} \gamma^\mu \psi &= \psi^\dagger \gamma^0 \gamma^\mu \psi \rightarrow \bar{\psi} \Lambda_{1/2}^{-1} \gamma^\mu \Lambda_{1/2} \psi = \\ &= \Lambda^\mu{}_\nu \bar{\psi} \gamma^\nu \psi\end{aligned}\tag{29}$$

Possiamo quindi definire un campo fermionico  $\psi(x)$  che si trasforma sotto Lorentz come

$$\psi'(x') = \Lambda_{1/2} \psi(x)\tag{30}$$

se

$$x'^\mu = \Lambda^\mu{}_\nu x^\nu\tag{31}$$

Vediamo subito che il termine cinetico minimale costruito da esso è

$$\mathcal{L} = \bar{\psi} \left( i \not{\partial} - m \right) \psi\tag{32}$$

Immagini sotto la trasform. eq. (30)

$$\mathcal{L} \rightarrow \mathcal{L}' = \bar{\psi}'(x') \left( \gamma^\mu \frac{\partial}{\partial x'^\mu} - m \right) \psi'(x')\tag{33}$$

$$\begin{aligned}
 &= \psi(x) \gamma^\mu \left( \gamma^\nu \frac{\partial}{\partial x^\mu} - m \right) \psi(x) \\
 &= \mathcal{L}(x)
 \end{aligned} \tag{34}$$

Notiamo che questa lagrangiana ha una simmetria interna

$$\psi \rightarrow e^{i\theta} \psi \tag{35}$$

Le eq. di Dirac del moto sono banali (36)

$$(i \gamma^\mu \partial_\mu - m) \psi = 0$$

Notre de la seconda eq. prendendo l'aggiunta di un  $\bar{\psi}$   $(-i \gamma^\mu \partial_\mu - m) \bar{\psi} = 0$   
 Si usa la notazione  $(i \gamma^\mu \partial_\mu - m) \psi = 0 \Rightarrow \gamma_0 (i \partial - m) \psi = 0$   
 quindi l'eq. per il campo  $\bar{\psi}$  coincide con quella per il campo  $\psi$ .

$$\frac{\partial}{\partial x^\mu} \gamma_\mu \equiv \not{\partial} ; \quad \rho_\mu \gamma_\mu \equiv \not{\rho} \tag{37}$$

da cui  $(i \not{\partial} - m) \psi = 0 ; \quad \bar{\psi} (i \not{\partial} - m) \psi$  ecc.

Il tensore energia-impulso è anch'esso semplicissimo:

$$T^{\mu\nu} = i \bar{\psi} \gamma^\mu \partial^\nu \psi - g^{\mu\nu} \bar{\psi} (i \not{\partial} - m) \psi \tag{38}$$

con hamiltoniana

$$H = \int d^3x \bar{\psi} (i \vec{\gamma} \cdot \vec{\nabla} + m) \psi \tag{39}$$

e impulso

$$\vec{P} = \int d^3x -i \psi^\dagger \vec{\nabla} \psi \tag{40}$$

Infine, la corrente di Noether per la simmetria eq. (35)

$$j^\mu = \bar{\psi} \gamma^\mu \psi \tag{41}$$

Per determinare le coordinate canoniche, anche in questo caso risolviamo le eq. Lagrangiane del moto. Notiamo innanzitutto che ciascuna componente di  $\psi$  soddisfa separatamente l'eq. di Klein-Gordon (36) implicando

$$(i\partial + m)(i\partial - m)\psi = 0 \quad (42)$$

da cui

$$\left( -\gamma^\mu \gamma^\nu \partial_\mu \partial_\nu - m^2 \right) \psi = 0 \quad (43)$$

ossia

$$(\square + m^2)\psi = 0 \quad (44)$$

Questo ci dice immediatamente che le soluzioni hanno la

forma

$$\psi(x) = e^{\mp i k x} u_{\pm}(k) \quad (45)$$

Si usa la notazione

$$u_+(k) \equiv u(k) \quad (46)$$

$$u_-(k) \equiv v(k) \rightarrow \text{sol di energia negativa}$$

(ricordiamo  $\psi(t) = e^{\frac{i}{\hbar} E t} = e^{-i E t}$ )

Gli spinori  $u, v$  soddisfanno l'equazione

$$(k - m)u(k) = 0 \quad (47)$$

$$(k + m)v(k) = 0 \quad (48)$$

Risolvendo le equazioni come

$$\frac{k}{m} u_{\pm} = \pm u_{\pm} \quad (50)$$

vediamo che il problema si riduce alla determinazione (8)

degli autovettori della matrice  $\frac{\underline{k}}{m}$ . Notiamo inoltre  
 a) che gli autovalori di questa matrice sono manifestamente  $\pm 1$ , infatti

$$\left(\frac{\underline{k}}{m}\right)^2 = \frac{k^2}{m^2} \mathbb{1} = \mathbb{1} \quad (51)$$

b) che dato un autovettore associato all'autovalore  $+1$  troviamo un autovett. associato all'autovalore opposto moltiplicando per la matrice

$$\gamma_5 \equiv i \gamma^0 \gamma^1 \gamma^2 \gamma^3 = -\frac{i}{4!} \epsilon^{\mu\nu\rho\sigma} \gamma_\mu \gamma_\nu \gamma_\rho \gamma_\sigma \quad (52)$$

con le proprietà

$$\gamma_5^\dagger = \gamma_5 \quad (53)$$

$$\gamma_5^2 = \mathbb{1} \quad (54)$$

$$\{\gamma_5, \gamma_\mu\} = 0 \quad (55)$$

Ne deduciamo che vi sono due soluzioni per ogni segno di energia, legate da

$$\begin{aligned} u^{(2)}(k) &= \gamma_5 v^{(2)}(k) \quad z=1,2 \\ v^{(2)}(k) &= \gamma_5 u^{(2)}(k) \end{aligned} \quad (56)$$

~~S. dimostra facile che le due soluzioni corrispondono a stati di definite spin~~  
 Visto che  $\gamma_5$  è scalare, cambia con lo spin e quindi le due soluzioni passano esse saltare il  
 Notiamo inoltre che nel caso di massa nulla possiamo che, a tutti gli effetti, scegliere le nostre soluzioni come autostati simultanei <sup>dello spin e di</sup> ~~in un qualunque~~  
 $\gamma_5$  (con autovalore nullo), e di  $\gamma_5$ . La eq. (54) infatti  
 implica che gli a.v. di  $\gamma_5$  sono  $\pm 1$ . Ne segue che possiamo decomporre qualunque spinore  $\psi$  come

$$\begin{aligned} \psi &= \psi_R + \psi_L = \left[ \frac{1+\gamma_5}{2} + \left( \frac{1-\gamma_5}{2} \right) \right] \psi \\ &= (P_R + P_L) \psi \end{aligned} \quad (56)$$

$$S^i(k) = \varepsilon^{ijk} F_j \varepsilon_k$$

non è invariante ma  $S^i(k) u_i$  è. Ne segue che solo la spin lungo l'asse del moto è invariante definitivamente. La spin lungo un'asse qualunque può essere posto a zero per scelta di gauge. Possiamo dunque quantizzare il campo v.m. nel modo perendo

$$A^\mu = \sqrt{\frac{1}{4k}} \frac{1}{\sqrt{2\omega_k}} \sum_{s=1,2} \left( \varepsilon^\mu(k,s) a_k^s e^{-ikx} + \varepsilon^{\mu*}(k,s) a_k^{\dagger s} e^{ikx} \right) \quad (43)$$

$$\omega_k = k^2$$

ovvero  $[a_k^s, a_{k'}^{\dagger s'}] = (2\pi)^3 \delta^{ss'} \delta^{(3)}(\vec{k} - \vec{k}') \quad (44)$

e la somma come su due vettori di polarizzazione tras-versi, acc- tali che  $\varepsilon_s^\mu k_\mu = 0 = \varepsilon_s^{\dagger \mu} m_\mu \quad (45)$

ovvero  $m^\mu m_\mu = 0, \quad m_\mu \varepsilon_\mu \neq 0 \quad (46)$

e la non.  $\varepsilon_\mu \varepsilon_\mu^* = -1 \quad (47)$

Specificamente, se  $k = (\omega, 0, 0, \omega), \quad m = (1, 0, 0, -1)$   
 $\varepsilon_\mu^\pm = \frac{1}{\sqrt{2}} \begin{pmatrix} 0 \\ 1 \\ \pm i \\ 0 \end{pmatrix} \quad (48)$

In termini degli op. di creazione e distruzione abbiamo

$$H = \int \frac{d^3k}{(2\pi)^3} \sum_s \omega_k a_k^{\dagger s} a_k^s \quad (49)$$

$$P^i = \int \frac{d^3k}{(2\pi)^3} \sum_s k^i a_k^{\dagger s} a_k^s \quad (50)$$

$$S^i = \int \frac{d^3k}{(2\pi)^3} \sum_s \varepsilon^{ijk} \varepsilon_j^{\dagger s} \varepsilon_k^s a_k^{\dagger s} a_k^s \quad (50)$$

(41)

Notiamo che  $P_R$  e  $P_L$  sono proiettori, infatti:

$$P_R^2 = P_L^2 = \mathbb{1} \quad (57)$$

Ma data una soluzione di  $H\psi = 0$ , manifestamente anche

$$\psi_L \equiv \frac{1 \pm \gamma_5}{2} \psi \quad (58)$$

soddisfanno la stessa equazione. Si dimostra <sup>facilmente</sup> che questi due stati corrispondono ai due stati di chiralità per una particella di massa nulla e spin  $\frac{1}{2}$ .

Conviene normalizzare le sol. dell'eq. di Dirac come

$$\begin{aligned} \bar{u}^{(s)}(p) u^{(s)}(p) &= 2m \delta^{ss} \quad (FD) & u^{(s)}(p) u^{(s)}(p) &= 2E \delta^{ss} \\ \bar{v}^{(s)}(p) v^{(s)}(p) &= -2m \delta^{ss} \quad (FD) & u^{(s)}(p) v^{(s)}(p) &= 2E \delta^{ss} \end{aligned} \quad (59)$$

(notare  $m^2 u \geq 0$  per costruzione).

Ora sviluppiamo il campo di Dirac su una base di sol. dell'eq. di Dirac:

$$\psi(x) = \int \frac{d^3p}{(2\pi)^3 \sqrt{2E_p}} \sum_s \left( b_p^s u^s(p) e^{-ipx} + d_p^{s\dagger} v_p^s(p) e^{ipx} \right) \quad (55)$$

Sostituendo nell'espressione del tensore energia-impulso

so eq. (38-40) troviamo

$$\begin{aligned} T &= \int d^3x \psi^\dagger (i\gamma^0 \vec{\gamma} \cdot \vec{\nabla} + m\gamma^0) \psi \\ &= \int \frac{d^3p}{(2\pi)^3} \sum_s E_p \left( b_p^{rs} b_p^s - d_p^s d_p^{r\dagger} \right) \end{aligned} \quad (60)$$

Quindi se quantizziamo

$$[b_p^s, b_{p'}^{s\dagger}] = \delta^{ss'} (2\pi)^3 \delta^{(3)}(\vec{p} - \vec{p}') \quad (61)$$

$$[d_p^s, d_{p'}^{s\dagger}] = \delta^{ss'} (2\pi)^3 \delta^{(3)}(\vec{p} - \vec{p}')$$

troviamo la non esistenza dello stato fondamentale (!).

Siano pertanto portati a quantizzare con

$$\{b_p, b_{p'}^\dagger\} = \delta_{pp'} \delta^{(3)}(\vec{p} - \vec{p}') \quad (62)$$

$$\{d_p, d_{p'}^\dagger\} = \delta_{pp'} \delta^{(3)}(\vec{p} - \vec{p}') \quad (63)$$

$$\{b, b\} = \{b^\dagger, b^\dagger\} = \{d, d\} = \{d^\dagger, d^\dagger\} = 0 \quad (64)$$

Troviamo così

$$H = \int \frac{d^3p}{(2\pi)^3} \sum_s E_p \left( b_p^\dagger b_p + d_p^\dagger d_p \right) \quad (65)$$

$$Q = \int \frac{d^3p}{(2\pi)^3} \sum_s \left( b_p^\dagger b_p - d_p^\dagger d_p \right) \quad (66)$$

Notiamo che da eq. (64) implica

$$bb = b^\dagger b^\dagger = d^\dagger d^\dagger = dd = 0$$

Su qualunque stato, e quindi il principio di Pauli (67)

#### 2.4 Teoria di accoppiamento (interazione)

Abbiamo trovato da a livello classico il termine di sorgente nelle eq. di Maxwell si ottiene da un accoppiamento  $L_I = j_\mu A_\mu$  dove  $j_\mu$  è una corrente conservata. Dal punto di vista della teoria quantistica un termine di tal fatta ha le seguenti proprietà:

1) è automaticamente adimensionale, infatti  $\int d^3x j^0 = 1$  deve essere una carica (adimensionale). Notiamo che nel caso benario  $[A] = [L]^{3/2} = [E]^{3/2}$  (68)

2) si tratta di un termine che genera stati transizioni

$$\vec{z} = \int d^3x \psi^\dagger \vec{z} \psi \quad \vec{z} = \begin{pmatrix} \vec{0} & 0 \\ 0 & \vec{0} \end{pmatrix} \quad (11)$$

Osserviamo che anche nel caso del campo fermionico possiamo definire un formalismo canonico. Vista della lagrangiana e del primo ordine nelle derivate temporali, si ha

$$\pi(x) = \frac{\delta \mathcal{L}}{\delta \dot{\psi}} = i \bar{\psi} \gamma^0 = i \psi^\dagger \quad (68)$$

e quindi questo spiega perché l'hamiltoniana non contiene derivate temporali, come abbiamo visto. Le relazioni di anticommutazione tra operatori di creazione e distruzione implicano una corrispondente relazione di anticommutazione fra campi:

$$\{\psi_a(\vec{x}, t), \pi_b(\vec{y}, t)\} = \{\psi_a(\vec{x}, t), \psi_b^\dagger(\vec{y}, t)\} = \delta^{(3)}(\vec{x} - \vec{y}) \delta_{ab} \quad (69)$$

dove  $a, b$  sono indici sulle componenti dello spinore di Dirac.

# III Campi in interazione

## 3.1 Interazioni e path integral

Finora abbiamo studiato sistemi di particelle libere, cioè tali per cui lo stato iniziale sia in cui il sistema è preparato nello spazio di Fock resta invariato nel tempo.

Se aggiungiamo ulteriori termini alla lagrangiana o hamiltoniana, questi supponendo di preparare il sistema e poi osservarlo in stati della teoria libera; termini extra possono indurre transizioni fra stati nello spazio di Fock.

— In formalismo hamiltoniano, questa situazione viene studiata usando la rappresentazione di interazione, in cui si suppone che gli stati iniziali e finali siano costruiti come autostati di operatori che evolvono con la hamiltoniana libera; quindi ad esempio come autostati della hamiltoniana libera stessa.

— In tal caso si ha che l'ampiezza di transizione è data da

$$A_{\beta\alpha} = \langle \beta(t_1) | S(t_1, t_0) | \alpha(t_0) \rangle \quad (70)$$

dove

$$A | \alpha(t_0) \rangle = \lambda_\alpha | \alpha(t_0) \rangle \quad (71)$$

$$B | \beta(t_1) \rangle = \lambda_\beta | \beta(t_1) \rangle \quad (72)$$

$$\begin{matrix} A(t) \\ B(t) \end{matrix} = e^{-\frac{i}{\hbar} H_0 t} \begin{matrix} A \\ B \end{matrix} e^{\frac{i}{\hbar} H_0 t} \quad (73)$$

$$S(t_1, t_0) = T \exp \frac{i}{\hbar} \int_{t_0}^{t_1} dt' V_I(t') \quad (74)$$

$$H = H_0 + V \quad (75)$$

$$V_I(t) = S_0^{-1} V_I S_0 \quad (76)$$

$$S_0 = \exp \frac{1}{i} H t \quad (77)$$

Tuttavia un modo che particolarmente in teoria dei campi è più efficiente per valutare l'ampiezza di transizione è di usare un metodo funzionale. Il metodo funzionale permette in generale di determinare la ampiezza di transizione tra due stati dello spazio di Hilbert (in MB) o di Fock (in QFT) senza far riferimento ad un'esplicita rappresentazione, ma semplicemente assegnando il ket di stato iniziale e quello finale come ora ricordiamo.

Il vantaggio del formalismo canonico (e della rapp. di interazione) è di essere manifestamente unitario, mentre il vantaggio di quello funzionale è di essere manifestamente covariante e indep. dalla scelta di rappresentazione. Per quanto che adde il formalismo canonico sia unitario, lo dimostriamo a partire da quello canonico.

Consideriamo dapprima il caso della MB. ~~...~~  
 Consideriamo l'ampiezza generica

$$A_{\beta\alpha} = \langle \beta(t_1) | S(t_1, t_0) | \alpha(t_0) \rangle \quad (78)$$

e introduciamo inclusioni dell'identità rispetto a una base di coordinate canoniche

$$A_{\beta\alpha} = \int dq_1 dq_0 \langle \beta(t_1) | q_1 \rangle \langle q_1 | S(t_1, t_0) | q_0 \rangle \langle q_0 | \alpha(t_0) \rangle \quad (79)$$

Osserviamo che l'elemento di matrice dell'op. di evoluzione temporale è associativo come conseguenza dell'iteratività:

$$\begin{aligned} \langle q_1 | S(t_1, t_0) | q_0 \rangle &= \langle q_1 | S(t_1, \bar{t}_0) S(\bar{t}_0, t_0) | q_0 \rangle = \\ &= \int d\bar{q} \langle q_1 | S(t_1, \bar{t}_0) | \bar{q} \rangle \langle \bar{q} | S(\bar{t}_0, t_0) | q_0 \rangle \quad (80) \end{aligned}$$

Calcoliamo quindi l'el. di matrice per un'evoluzione temporale infinitesima:

$$\begin{aligned} \langle q' | S(t+\epsilon, t) | q \rangle &= \langle q' | \left( 1 + \frac{i}{\hbar} H(\hat{p}, \hat{q}) \epsilon \right) | q \rangle = \\ &= \int dp \langle q' | p \rangle \langle p | \left( 1 + \frac{i}{\hbar} H(\hat{p}, \hat{q}) \epsilon \right) | q \rangle \quad (81) \end{aligned}$$

dove  $[p, q] = -i$  (82)

(il momento canonico genera la traslazione di  $q$ )

sicché

$$\langle q' | p \rangle = \frac{1}{\sqrt{2\pi\hbar}} \exp i p q \quad (83)$$

Dunque  $\langle q' | S(t+\epsilon, t) | q \rangle = \int \frac{dp}{2\pi\hbar} e^{i p q' - H(p, q) \epsilon} (1 - i\epsilon H(p, q)) \quad (84)$

Ma per un'ev. infinitesima piccolo

$$q' = q + \epsilon \dot{q} \quad (85)$$

e dunque

$$\langle q' | S(t+\epsilon, t) | q \rangle = \int \frac{dp}{2\pi\hbar} e^{i p q - H(p, q) \epsilon} \equiv S^\epsilon(t) \quad (86)$$

Notare che  $p$  e  $q$  sono c-meri.

Ora torniamo alla Eq. (86) e dividiamo l'intervallo  $t_1 - t_0 = \Delta t$  in  $N$  intervalli:  $\epsilon = \frac{\Delta t}{N}$  con  $N \rightarrow \infty$

$$\langle q_1 | S(t_1, t) | q \rangle = \int dq_1 \dots dq_{N-1} \langle q_1 | S(t_1, t_{N-1}) | q_{N-1} \rangle$$

$$\dots \langle q_1 | S(t_1, t) | q \rangle =$$

$$= \int \frac{dq_1}{2\pi} \frac{dp_1}{2\pi} \dots \frac{dq_{N-1}}{2\pi} \frac{dp_{N-1}}{2\pi} e^{i p_{N-1} (q_{N-1} - q_{N-2}) \epsilon - i H(p_{N-1}, q_{N-1}) \epsilon}$$

$$\dots e^{i p_1 (q_1 - q_0) \epsilon - i H(p_1, q_1) \epsilon}$$

$$\dots e^{\int_t^{t_1} (p \dot{q} - H(p, q)) dt}$$

$$= \int Dp(\bar{t}) Dq(\bar{t}) e^{i \int_t^{t_1} (p \dot{q} - H(p, q)) dt} \quad (87)$$

$$\bar{q}(t_1) = q_1$$

$$\bar{q}(t) = q$$

dove i fatt.  $2\pi$  sono stati assorbiti nella misura di integrazione. Notiamo ora che se la hamiltoniana è quadratica nelle  $p$  l'integrale su  $p$  nella Eq. (86) si può fare esplicitamente:

$$\langle q_1 | S(t_1, t) | q \rangle = \int \frac{dp}{2\pi} e^{i \left( p \dot{q} - \left( \frac{p^2}{2m} + V(q) \right) \right) \epsilon} =$$

$$= e^{i \left( \frac{1}{2} m \dot{q}^2 - V(q) \right) \epsilon} \frac{1}{2\pi} \sqrt{\frac{2m}{2\pi i \epsilon}} \sqrt{\pi}$$

$$= \sqrt{\frac{m}{2\pi i \epsilon}} e^{i L(q, \dot{q}) \epsilon} = S^\epsilon(q) \quad (88)$$

Notiamo che la normalizzazione è corretta, infatti:

$$\lim_{\epsilon \rightarrow 0} S^\epsilon(t) = \lim_{\epsilon \rightarrow 0} e^{\frac{im}{2} \frac{\Delta q^2}{\epsilon}} \sqrt{\frac{m}{2\pi i \epsilon}} \quad (89)$$

$$M_q \int d\Delta q e^{\frac{im}{2} \frac{\Delta q^2}{\epsilon}} = \sqrt{\pi} \sqrt{\frac{2\epsilon i}{m}} \quad (90)$$

dunque  $S^\epsilon(t)$  nel limite  $\epsilon \rightarrow 0$  è una gaussiana infinitamente stretta con normalizzazione fissata, e dunque

$$\lim_{\epsilon \rightarrow 0} S^\epsilon(t) = \delta(\Delta q) = \langle q' | q \rangle \quad (91)$$

come deve essere.

Troviamo così la versione lagrangiana del PI

$$\langle q' | S(t', t) | q \rangle = \int_{\substack{\bar{q}(t) = q \\ \bar{q}(t') = q'}} \mathcal{D}\bar{q}(\bar{F}) e^{i\int d\tau L(\bar{q}, \dot{\bar{q}})} \quad (92)$$

Utilizzando il path integral troviamo che l'ampiezza è data da

$$A_{\beta\alpha} = \int \mathcal{D}\bar{q}(\bar{F}) \langle \alpha | q' \rangle e^{i\int d\tau L(\bar{q}, \dot{\bar{q}})} \langle q | \beta \rangle \quad (93)$$

dove notiamo che ora sulle  $q$  iniziali e finali si integra.

Notiamo infine che se ha qualunque set di stati nella Eq. (87) introduciamo un operatore abbiamo immediate da

$$\begin{aligned} \langle \beta | T(O_1(p, q; t_1) \dots O_n(p, q; t_n)) | \alpha \rangle &= \\ &= \int \mathcal{D}q(t) \langle \beta | q' \rangle \langle q | e^{i\int d\tau L(\bar{q}, \dot{\bar{q}})} O(t_1) \dots O(t_n) | q \rangle \langle q | \alpha \rangle \end{aligned} \quad (94)$$

dove i  $t$  sono stati ordinati cronologicamente nel membro di sinistra, /57

### 3.2 Il path integral e la rappresentazione in teoria dei campi

Possiamo generalizzare tutti i risultati trovati finora al caso della teoria dei campi considerando il campo  $\varphi_{\vec{x}}(t) = \varphi(\vec{x}, t)$  ed il suo canonicamente coniugato  $\pi_{\vec{x}}(t)$  come coordinate canoniche. Abbiamo dunque che

$$A_{\beta\alpha} = \int D\varphi_1(\vec{x}; t_1) \int D\varphi_0(\vec{x}, t) \langle \beta(t_1) | \varphi_1(\vec{x}, t_1) \rangle \times \\ \langle \varphi_1(\vec{x}, t_1) | S(t_1, t_0) | \varphi_0(\vec{x}, t_0) \rangle \langle \varphi_0(\vec{x}, t_0) | \alpha(t_0) \rangle \quad (95)$$

$$\langle \varphi_1(\vec{x}, t_1) | S(t_1, t_0) | \varphi_0(\vec{x}, t_0) \rangle = \\ = \int_{\substack{\varphi(\vec{x}, t_0) = \varphi_0(\vec{x}, t_0) \\ \varphi(\vec{x}, t_1) = \varphi_1(\vec{x}, t_1)}} D\varphi(\vec{x}, t') D\pi(\vec{x}, t') \exp i \int_{t_0}^{t_1} dt \int d^3x \left( \dot{\varphi}(\vec{x}, t') \cdot \pi(\vec{x}, t') - \mathcal{H}[\varphi, \pi] \right) \quad (96)$$

Notare che gli stati iniziali e finali sono dati da un insieme di stati

$$\langle \varphi(\vec{x}) | \alpha(t_0) \rangle = \Psi_{\alpha}[\varphi(\vec{x}, t_0)] \quad (97)$$

Notare anche che la notazione  $|\varphi(\vec{x}, t_0)\rangle$  va intesa come la generalizzazione al continuo di  $|\varphi_{\vec{x}}(t)\rangle = |q_i(t)\rangle$ ; notare che la dip. da  $t$  viene indicata nel settore di base in quanto il PI viene in seguito calcolato come rappresentazione di transizione fra ~~due~~ stati di base  $|\varphi_0(t_0)\rangle$  e  $|\varphi_1(t_1)\rangle$ .

Notare anche che sui funzionali di stato l'operatore  $\pi$  agisce come derivata funzionale:

$$\langle \varphi(\vec{x}) | \pi(\vec{y}) | \Psi(t) \rangle = i \frac{\delta}{\delta \varphi(\vec{y})} \Psi[\varphi[\vec{x}]] \quad (98)$$

Ad esempio, un funzionale di stato gaussiano ha la forma

$$\underline{Q}[\bar{\varphi}(\bar{x})] = N \exp - \frac{1}{2} \int d^3x d^3y \varphi(\bar{x}) K(\bar{x}, \bar{y}) \varphi(\bar{y}) \quad (99)$$

dove il nucleo  $K$  può in generale essere un operatore differenziale <sup>(99)</sup> <sub>(\*)</sub>

A noi interessano calcolare espresse in cui gli stati  $|\alpha\rangle$  e  $|\beta\rangle$  sono stati nello spazio di Fock: nella situazione più semplice stati a n particelle di definito impulso, o in situazioni più complicate (sta a diventare ulteriormente) stati legati.

~~Il problema è~~ In teoria dei campi il problema viene affrontato spesso in tre parti: 1) si ottiene un'espressione per il

calcolo dell'ampiezza di transizione quando gli stati  $|\alpha\rangle$  sono lo stato fondamentale  $|0\rangle$  [Questo solleva la domanda della def. precisa di stato per la teoria in interazione; il <sup>(visto che |0\rangle era stato def. come lo stato a |0\rangle=0)</sup>

problema verrà affrontato esplicitamente più avanti]; 2) si ottiene un'espressione per il calcolo di valori medi del prodotto cronologico di op. di campo tra tali stati; 3) si esprimono le ampiezze in termini di tali valori medi. Il calcolo di

questi valori medi ~~è~~ <sup>passa</sup> ~~è~~ <sup>così ridotto al</sup> ~~è~~ <sup>calcolo</sup> di questi valori medi. Questo può essere fatto in modo particolarmente efficiente usando il path integral.

Disattino ora i primi due punti.

Osserviamo innanzitutto che lo stesso argomento che abbiamo usato nella MA si dice immediatamente che

$$\int D\varphi(\bar{x}, t) D\pi(\bar{x}, t) \exp i \int_{t_0}^{t_1} (\pi \dot{\varphi} - \mathcal{H}) d^3x \varphi(\bar{x}, t_2) \dots \varphi(\bar{x}, t_n) =$$

$$= \langle \varphi_1(\bar{x}, t_1) | S(t_1, t_0) \hat{\varphi}(\bar{x}, t_2) | \varphi(\bar{x}, t_2) \rangle \langle \varphi(\bar{x}, t_2) | S(t_2, \dots$$

$$\hat{\varphi}(\bar{x}, t_n) | \varphi(\bar{x}, t_n) \rangle \langle \varphi(\bar{x}, t_n) | \dots | \varphi_0(\bar{x}, t_0) \rangle$$

$$= \langle \varphi(\bar{x}, t_n) | T(\varphi(\bar{x}, t_1) \dots \varphi(\bar{x}, t_n)) | \varphi(\bar{x}, t_0) \rangle \quad (100)$$

Notiamo che in formalismo hamiltoniano questo è ovvio per via dell'ordinamento naturale dei tempi: il PT è stato ottenuto sperando l'ev. temporale finita in  $N \rightarrow \infty$  ev. temp. infinitesime. Questo espone la causalità del formalismo hamiltoniano. In versione lagrangiana il risultato è nascosto dal probl. canonico. (\*)

Osserviamo quindi che si dimostra che

$$\lim_{\epsilon \rightarrow 0} \int D\varphi D\pi \exp i \int dt \int d^3x (\dot{\varphi} \pi - \mathcal{H} + i\epsilon \varphi^2) \varphi_1 \dots \varphi_n =$$

$$= \langle 0 | T[\varphi(t_1) \dots \varphi(t_n)] | 0 \rangle \quad (101)$$

dove  $|0\rangle$  è lo stato fondamentale (da definire con maggiore precisione nel seguito per quanto riguarda la teoria interagente).

In versione lagrangiana abbiamo quindi

$$\langle 0 | T[\varphi_{x_1}(t_1) \dots \varphi_{x_n}(t_n)] | 0 \rangle =$$

$$= \lim_{\epsilon \rightarrow 0} \int D\varphi \exp i \int_0^{t_n} d^4x (\mathcal{L} + i\epsilon \varphi^2) \quad (102)$$

dove  $x_i = (t_i, \bar{x}_i)$ . Questa è detta funzione di Green

a  $n$  punti. Nota che a causa del fatto di convergenza non è necessario assegnare le condizioni al contorno.

Il fatto che la convergenza viene talvolta spiegato come un modo di estrarre lo stato fondamentale, ciò è circa giusto, ma in realtà il risultato si dimostra semplicemente includendo lo stato fondamentale nell'integrale funzionale. Questo dimostra (\*\*)

### 6.3 Le funzioni di Green

Siamo in particolare interessati al calcolo del contributo  
 connesso alle funzioni di Green, ossia

$$G(x_1 \dots x_n) = \frac{\langle 0 | T (\psi(x_1) \dots \psi(x_n)) | 0 \rangle}{\langle 0 | 0 \rangle} \quad (103)$$

ovvero la divisione per  $\langle 0 | 0 \rangle$  rimuove contributi corrispondenti  
 a fluttuazioni del vuoto che, come verifichiamo in seguito,  
 corrispondono a contributi causali non ammessi.

Un metodo molto efficiente per calcolare questi contributi  
 in teoria dei campi è di aggiungere alla lagrangiana un termine  
 di sorgente:

$$\mathcal{L} \rightarrow \mathcal{L} + \int d^4x \, j(x) \psi(x) \quad (104)$$

sicché

$$\mathcal{S} \rightarrow \mathcal{S} + \int d^4x \, j(x) \psi(x) \quad (105)$$

Si ha così

$$G_n(x_1, \dots, x_n) = \frac{1}{Z[j]} \frac{\delta^n}{\delta J(x_1) \dots \delta J(x_n)} Z[j] \Big|_{j=0} \quad (106)$$

dove  $Z[j] = \int D\psi \, e^{i(\mathcal{S} + \int d^4x \, j\psi)}$  (107)

è il funzionale generatore delle funzioni di Green.

La potenza del metodo funzionale è che:

- $Z[j]$  per la teoria libera è calcolabile in  
 forma chiusa

- Il PI genera uno sviluppo perturbativo per  $Z[j]$

e dunque per le  $G_n$

Dimostriamo questo per un campo scalare, procedendo poi al  
 caso di campi di spin più elevato

Calcoliamo  $Z[F; J]$  per la teoria libera

$$Z_0[F; J] \equiv \int \mathcal{D}\varphi \exp i \left( \int d^4x \frac{1}{2} \left( \partial_\mu \varphi \partial_\mu \varphi - m^2 \varphi^2 + i\varepsilon \varphi^2 \right) + i \int d^4x J \varphi \right) \quad (108)$$

$$= \int \mathcal{D}\varphi \exp iS$$

Abbiamo così

$$S = - \int d^4x \frac{1}{2} \varphi (\square + m^2 - i\varepsilon) \varphi + \int d^4x J \varphi$$

$$= - \frac{1}{2} \langle \varphi | A | \varphi \rangle + \langle J | \varphi \rangle \quad (109)$$

con  $A = \square + m^2 - i\varepsilon$  (110)

Notare che  $A^\dagger = A$  nel limite  $\varepsilon \rightarrow 0$  (111)

$$A |k\rangle = (-k^2 + m^2 - i\varepsilon) |k\rangle \quad (112)$$

dove  $\langle x | k \rangle = \exp -ikx$  (113)

ossia  $\langle x | \varphi \rangle = \int \frac{d^4k}{(2\pi)^4} \langle x | k \rangle \langle k | \varphi \rangle$

$$= \int \frac{d^4k}{(2\pi)^4} \varphi(k) e^{-ikx} \quad (114)$$

Notare che la transf. di Fourier  $e^{i(k-d)x}$  perde nel PT

tutte le configurazioni di campo contribuiscono, e non solo le soluzioni delle eq. classiche del moto.

Esplícitamente possiamo verificare che la azione si diagonalizza nella base delle  $|u\rangle$ :

$$S = \int \frac{d^4k}{(2\pi)^4} \frac{1}{2} \varphi^*(k) (k^2 - m^2 + i\varepsilon) \varphi(k) + j^*(k) \varphi(k) \quad (115)$$

Notiamo anche che

$$\varphi(-k) = \varphi^*(k); \quad j(k) = j^*(k) \quad (116)$$

e che  $\langle j | \varphi \rangle = \langle \varphi | j \rangle$  (117)

L'integrale può essere quindi visto come un integrale gaussiano, che possiamo calcolare prendendo

$$|x\rangle = |\varphi\rangle - A^{-1} |j\rangle \quad (118)$$

Sfruttando l'hermiticità di  $A$  abbiamo immediatamente

$$-\frac{1}{2} \langle x | A | x \rangle = \frac{1}{2} \langle \varphi | A | \varphi \rangle + \langle j | \varphi \rangle - \frac{1}{2} \langle j | A^{-1} | j \rangle \quad (119)$$

da cui segue immediatamente

$$Z_0[j] = \int \mathcal{D}\varphi \exp \left[ \frac{i}{2} \langle x | A | x \rangle + \frac{i}{2} \langle j | A^{-1} | j \rangle \right] \quad (120)$$

$$= \exp \left[ \frac{i}{2} \langle j | A^{-1} | j \rangle \right] Z_0[0] \quad (121)$$

Ora possiamo calcolare

$$A^{-1} = \frac{1}{k^2 + m^2 - i\varepsilon} \quad (122)$$

e dunque

$$Z_0[f; J] = \exp - \frac{1}{2} \int \frac{d^4 k}{(2\pi)^4} j^*(k) \frac{i}{k^2 - m^2 + i\epsilon} j(k) Z_0[0] \quad (123)$$

Inoltre

$$Z_0[0] = \int D\phi \exp - \frac{i}{2} \langle \phi | A | \phi \rangle \quad (124)$$

Ma notiamo che

$$\int dx \exp - \frac{i}{2} \lambda x^2 = \sqrt{\frac{2\pi}{i\lambda}} \quad (125)$$

Dunque se  $A$  è una matrice reale  $N$  autovalori  $\lambda_i$

$$Z_0[0] = (-2\pi i)^{N/2} \frac{1}{\sqrt{\text{Det } A}} \quad (126)$$

Assamblando i tutti nella stessa abbiamo così

$$Z_0[f; J] = \left[ \exp - \frac{1}{2} \int \frac{d^4 k}{(2\pi)^4} j^*(k) \frac{i}{k^2 - m^2 + i\epsilon} j(k) \right] \frac{1}{\sqrt{\text{Det}(0 + m^2)}} \quad (127)$$

Questa è la forma chiusa per la  $Z[f; J]$  per la teoria libera.

Passando ora alla  $Z[f; J]$  generica, notiamo le seguenti identità.

Prima di tutto, ricordiamo che

$$\int D\phi \phi^m(x) e^{iS} = (-i)^m \frac{\delta^m}{\delta J^m(x)} \int D\phi e^{i(S + \int \phi J)} \quad (128)$$

Ora notiamo che

$$Z = \int D\phi e^{i \int d^4 x \mathcal{L}_0[\phi] + \int \phi J}$$

$$\begin{aligned}
&= \int D\varphi e^{i\sqrt{d^4 x} \mathcal{L}_0(\varphi)} \sum_{n=0}^{\infty} c_n \varphi^n \\
&= \int D\varphi \sum_{n=0}^{\infty} c_n \frac{\delta^n \langle \dots \rangle}{\delta j^n} e^{i\sqrt{d^4 x} \mathcal{L}_0(\varphi)} \Big|_{j=0} \\
&= \int D\varphi e^{i\sqrt{d^4 x} \mathcal{V}[\frac{\delta}{\delta j}]} e^{i\sqrt{d^4 x} \mathcal{L}_0 + j\varphi} \Big|_{j=0} \\
&= e^{i\sqrt{d^4 x} \mathcal{V}[\frac{\delta}{\delta j}]} \mathcal{Z}_0[j] \Big|_{j=0} \quad (129)
\end{aligned}$$

La (129) permette di calcolare il funzionale generatore in presenza di potenziale generato come una serie perturbativa in termini del potenziale generatore, a partire dalla quale la funzione di Green può essere a sua volta calcolata.

### 3.3 Il propagatore

E' chiaro che l'operatore cinetico  $A = \square + m^2 - i\epsilon$  ed il suo inverso hanno un ruolo fondamentale in quanto contengono l'informazione dinamica sulla teoria libera (Eq. (126)) nonché il "building block" per costruire lo sviluppo perturbativo delle funzioni di Green (Eq. (129)).

Ne studiamo ora le proprietà.

Notiamo innanzitutto che

$$\begin{aligned} \langle \varphi | A | \varphi \rangle &= \int d^4x \varphi(x) (\square + m^2 - i\epsilon) \varphi(x) = \\ &= - \int \frac{d^4k}{(2\pi)^4} \varphi^*(k) (k^2 - m^2 + i\epsilon) \varphi(k) \end{aligned} \quad (130)$$

$$\begin{aligned} \langle j | A^{-1} | j \rangle &= \int d^4x j(x) \frac{1}{\square + m^2 - i\epsilon} j(x) \\ &= - \int d^4k j^*(k) \frac{1}{k^2 - m^2 + i\epsilon} j(k) \end{aligned} \quad (131)$$

Notiamo inoltre che nello spazio delle posizioni  $A$  e il suo inverso sono operatori bi-locali. Infatti si ha

$$\langle \varphi | A | \varphi \rangle = \int d^4x d^4y \varphi(x) \langle x | A | y \rangle \varphi(y) \quad (132)$$

$$\langle j | A^{-1} | j \rangle = \int d^4x d^4y j(x) \langle x | A^{-1} | y \rangle j(y) \quad (133)$$

Ma

$$\begin{aligned} \langle x | A | y \rangle &= \int \frac{d^4k}{(2\pi)^4} \langle x | k \rangle \langle k | A | k \rangle \langle k | y \rangle \\ &= - \int \frac{d^4k}{(2\pi)^4} e^{ik(y-x)} (k^2 - m^2 + i\epsilon) \end{aligned} \quad (134)$$

Notiamo dunque che il funzionale generatore è dato da

$$\begin{aligned} Z[j] &= Z[0] \exp \frac{i}{2} \langle j | A^{-1} | j \rangle \\ &= Z[0] \exp -\frac{1}{2} \langle j | -iA^{-1} | j \rangle \\ &= Z[0] \exp -\frac{1}{2} \int d^4x j(x) \langle x | -iA^{-1} | y \rangle j(y) \quad (135) \end{aligned}$$

La quantità

$$\begin{aligned} D_F(x-y) &\equiv \langle x | -iA^{-1} | y \rangle = \\ &= \int \frac{d^4k}{(2\pi)^4} e^{ik(y-x)} \frac{i}{k^2 - m^2 + i\varepsilon} \quad (136) \end{aligned}$$

è detta propagatore di Feynman.

Si tratta evidentemente della funzione di Green per l'operatore inverso:

$$\begin{aligned} (\square + m^2 - i\varepsilon) D_F(x-y) &= \delta^{-1} \langle x | A A^{-1} | y \rangle = \\ &= -i \delta^{(4)}(x-y) \quad (137) \end{aligned}$$

In termini di funzioni di Green, si tratta della funzione a due punti. Infatti, nella teoria libera

$$\langle 0 | T \phi(x) \phi(y) | 0 \rangle = - \frac{\delta^2 Z[j]}{\delta j(x) \delta j(y)} \Big|_{j=0} =$$

$$= Z[0] \frac{\delta}{\delta j(x)} \int d^4z \langle z | -iA^{-1} | z \rangle j(z) \exp -\frac{1}{2} \langle j | -iA^{-1} | j \rangle$$

$$= 2[0] \cdot \langle \gamma | -iA^{-1}(x) \rangle$$

$$= 2[0] D_F(x-\gamma) \quad (138)$$

in quanto manifestamente se  $j=0$  il contributo di doppia derivata dell'esponenziale si annulla.

È interessante calcolare il propagatore a partire dalla funzione a due punti con metodo operatoriale (hamiltoniano) in quanto questo illustra le proprietà causali del propagatore che sono sempre più trasparenti in versione hamiltoniana.

Ricordando lo sviluppo dell'operatore di campo

$$\varphi(x) = \frac{1}{\sqrt{(2\pi)^3 2\omega}} (a_k \exp(-ikx) + a_k^\dagger \exp(ikx)) \quad (139)$$

in termini di operatori di creazione e distruzione

$$[a_k, a_{k'}^\dagger] = (2\pi)^3 \delta^{(3)}(\vec{k} - \vec{k}') \quad (140)$$

abbiamo

$$D_F(x-\gamma) = \langle 0 | T \varphi(x) \varphi(\gamma) | 0 \rangle =$$

$$= \frac{1}{\langle 0 | 0 \rangle} \langle 0 | \int \frac{d^3k d^3k'}{(2\pi)^6 \sqrt{2\omega 2\omega'}} a_k e^{-ikx} a_{k'}^\dagger e^{ik'\gamma} | 0 \rangle \Theta(t_x - t_\gamma) + x \leftrightarrow \gamma$$

$$= \frac{\int d^3k}{(2\pi)^3 2\omega} \left( e^{-ik(x-\gamma)} \Theta(t_x - t_\gamma) + e^{-ik(\gamma-x)} \Theta(t_\gamma - t_x) \right)$$

$$= \frac{\int d^4k}{(2\pi)^4} e^{-ik(x-\gamma)} \frac{i}{k^2 - m^2 + i\epsilon} \quad (141)$$

Infatti l'integrale in  $k_0$  può essere fatto col

metodo dei residui. L'integranda ha singolarità in

$$k_0^2 - m^2 + i\varepsilon = 0 \quad (142)$$

ossia

$$k_0^2 = \bar{k}^2 + m^2 - i\varepsilon \quad (143)$$

$$k_0 = \frac{\pm \sqrt{k^2 + m^2} - i\varepsilon}{\pm (\omega - i\varepsilon)} = \frac{\pm \sqrt{k^2 + m^2} - i\varepsilon}{\pm (\omega - i\varepsilon)}$$

dove nell'ultima passo abbiamo posto  $\omega = \sqrt{k^2 + m^2 - i\varepsilon}$

$$\sqrt{k^2 + m^2 - i\varepsilon} = \sqrt{k^2 + m^2} - \frac{i\varepsilon}{2\sqrt{k^2 + m^2}} = \sqrt{k^2 + m^2} - i\varepsilon \quad (144)$$



Quindi se  $t_x > t_y$  possiamo chiedere nel semipiano inferiore e viceversa. Si ha così

$$t_x > t_y \quad e \quad e^{-i\omega(t_x - t_y)} \quad \text{verso orario} \quad (-2\pi i) \frac{i}{2\pi} \frac{1}{2\omega} \quad (145)$$

$$t_y > t_x \quad e \quad e^{-i\omega(t_y - t_x)} \quad (2\pi i) \frac{i}{2\pi} \left( \frac{-1}{2\omega} \right) \quad (146)$$

dove abbiamo posto  $\omega = \sqrt{k^2 + m^2}$

$$\frac{1}{k^2 - m^2} = \frac{1}{(k_0 - \omega)(k_0 + \omega)} \quad (147)$$

$$e \quad \lim_{k_0 \rightarrow \pm \omega} \frac{k_0 \pm \omega}{k^2 - m^2} = \pm \frac{1}{2\omega} \quad (148)$$

Notiamo dunque che la prescrizione di Feynman "nessa ritardata e nessuna anticipata" illette la causalità (il prodotto canonico) del PI e' automaticamente implementato.

Calcoliamo infine il propagatore per un campo di spin zero e  $m=0$

In tal caso il termine cinetico ha la forma

$$S = \int d^4x \quad -\frac{1}{4} F_{\mu\nu} F^{\mu\nu} \quad (57')$$

$$= \frac{1}{2} \int d^4x \quad A_{\mu} (\partial_{\rho} g^{\mu\nu} - \partial^{\mu} g^{\rho\nu}) A_{\nu}$$

$$= \frac{1}{2} \int \frac{d^4k}{(2\pi)^4} A_{\mu}(k) (-k^2 g^{\mu\nu} + k^{\mu} k^{\nu}) A_{\nu}(k)$$

È chiaro che  $-k^{\mu\nu} g^{\mu\nu} + k^{\mu} k^{\nu}$  non è invertibile in quanto è ortogonale a  $k_{\mu}$ . Questo corrisponde al fatto

(71)

che solo i gradi di libertà ortogonali a  $k_{\mu}$  sono eccitati fisicamente (e quindi si propagano). ~~Ma~~

la soluzione del problema, che non venga disinnata per ore, e di introdurre un vincolo che lascia solo i gradi di libertà fisici vengono quantizzati. Si trova così

$$Z[J] = \exp \frac{1}{2} \int d^4x \int d^4y \quad J_{\mu}(x) D_{\mu\nu}(x-y) J_{\nu}(y) \quad (57'')$$

$$D_{\mu\nu}(x-y) = \int \frac{d^4k}{(2\pi)^4} e^{-ik(x-y)} \frac{(-i)}{k^2 + i\epsilon} g^{\mu\nu} \quad (57''')$$

(notare il segno - : i gradi di libertà fisici sono spaziali)

(72)

### 3.4 Il path integral per i fermioni

L'integrale funzionale realizza la quantizzazione integrando sui cammini seguiti da variabili c-numero; l'operazione di media associata riproduce il corretto formalismo in termini di operatori non-commutanti.

Per i fermioni è necessario quindi definire dei c-numeri anticommutanti, e derivate ed integrazione su di essi.

Definiamo quindi le variabili di Grassmann, che soddisfano

$$\theta \eta = -\eta \theta \quad (52)$$

e quindi

$$\theta^2 = 0 \quad (53)$$

La regola dello sviluppo di Taylor si ferma sempre al primo ordine

$$f(\theta) = A + B\theta \quad (54)$$

Naturalmente

$$\frac{d\theta}{d\theta} = 1 \quad (55)$$

e quindi

$$\frac{df}{d\theta} = B \quad (56)$$

~~La~~ Più difficile è la definizione dell'integrazione.

Notiamo che a noi serve esclusivamente sapere eseguire integrali su tutto il dominio, analoghi all'integrale definito  $\int_{-\infty}^{\infty} dx$ .

L'integrale non può essere definito come l'inverso della derivata,

visto che  $\frac{d^2}{d\theta^2} f(\theta) = 0$ , quindi se fosse  $\Delta I = D^{-1}$  allora  $I D D = D^2 D = 0$  che è

L'integrazione è definita dalle due seguenti proprietà: una calcolabile

1) L'integrale

$$I = \int d\theta (A + B\theta) \quad (57)$$

deve essere una funzione lineare di  $A$  e  $B$ .

2) L'integrale deve essere invariante sotto traslazioni della variabile di integrazione

$$\int d\theta (A + B\theta) = \int d\theta (A + B(\eta + \theta)) = \quad (58)$$

La seconda funzione la condizione (58) fissa la costante che moltiplica  $B$  pari a zero: quindi il risultato deve essere proporzionale a  $B$ . Il coeff. di proporzionalità è convenzionalmente scelto pari ad uno:

$$\int d\theta (A + B\theta) = B \quad (59)$$

Ne segue quindi che

$$\int d\theta f(\theta) = \frac{d}{d\theta} f(\theta) \quad (60)$$

Conviene infine definire l'operazione di coniugazione complessa di un prodotto come

$$(\theta\eta)^* = \eta^* \theta^* = -\theta^* \eta^* \quad (61)$$

L'integrale su numeri di Grassmann complessi si esegua prendendo

$$\theta = \frac{\theta_1 + i\theta_2}{\sqrt{2}} \quad ; \quad \theta^* = \frac{\theta_1 - i\theta_2}{\sqrt{2}} \quad (62)$$

riche

$$d\theta_1 d\theta_2 = \frac{1}{i} d\theta^* d\theta \quad \text{notare che dipende dall'ordine!}$$

e  $\theta, \theta^*$  possono sempre anche essere trattati come numeri di Grassmann (72)

Possiamo ora calcolare un integrale gaussiano:

$$\int_{-\infty}^{\infty} d\theta \theta e^{-\theta^2 b \theta} = \int_{-\infty}^{\infty} d\theta \theta (1 - \theta^2 b \theta) =$$

$$= b \int_{-\infty}^{\infty} d\theta \theta^2 d\theta \theta^2 = b \quad (63)$$

Notiamo che se questo fosse un integrale gaussiano ordinario il risultato sarebbe ~~il~~  $\frac{2\pi}{b}$ . A parte il fattore  $2\pi$ , la differenza è che  $b$  è al numeratore anziché al denominatore.

Notiamo che  $- \theta^2 b \theta$

$$\int_{-\infty}^{\infty} d\theta \theta^2 e^{-\theta^2 b \theta} = 4 = \frac{1}{b} \quad (64)$$

quindi un extra fattore  $\theta \theta^2$  nell'integrando produce un extra  $\frac{1}{b}$  nell'integrale, ~~però~~ come in un integrale gaussiano ordinario.

Notiamo ora che una trasformazione unitaria delle coordinate di Grassmann lascia invariata ~~la~~ <sup>l'integrale</sup> ~~la~~ ~~suma~~ ~~di~~ ~~integrazione~~. Infatti si ha, se

$$\begin{aligned} \theta'_i &= U_{ij} \theta_j \\ \prod_i \theta'_i &= \frac{1}{n!} \varepsilon^{i_1 \dots i_n} \theta'_{i_1} \dots \theta'_{i_n} \\ &= \frac{1}{n!} \varepsilon^{i_1 \dots i_n} U_{i_1 j_1} \dots U_{i_n j_n} \theta_{j_1} \dots \theta_{j_n} \\ &= \det U \prod_i \theta_i \end{aligned} \quad (65)$$

Ma se  $I = \prod_i \int d\theta_i f(\theta)$  (66)

come si è visto l'unica tecnica che non integra a zero è quello che contiene un'unica potenza di  $\theta_i$  e  $\theta'_i$ .

Ne segue che

$$I = \pi_i \int \sqrt{d\theta_i^* d\theta_i} \ell(\theta^*) \det U \det U^* \quad (67)$$

Ma possiamo quindi eseguire un integrale gaussiano generico = 4

$$I = \pi_i \int d\theta_i^* d\theta_i e^{-\theta_i^* B_{ij} \theta_j} = \text{Imbatti per una matrice unitaria } (\det U = 1) \quad (68)$$

scegliendo  $\theta_i$  come gli autovettori di  $B$ , con autovalori  $b_i$ :

$$I = \pi_i \prod_i b_i = \det B \quad (69)$$

Analogamente

$$\pi_i \int d\theta_i^* d\theta_i \theta_k \theta_l e^{-\theta_i^* B_{ij} \theta_j} = \det B B^{-1}_{kl} \quad (70)$$

de e lo stesso risultato che si troverebbe in un integrale gaussiano ordinario, eccetto che il determinante è al numeratore invece al denominatore.

Possiamo ora definire il path-integral in termini come l'integrale di Grassmann

$$Z[\bar{J}, \vec{J}] = \int D\bar{\psi} D\psi \exp i \int d^4x \left[ \bar{\psi} (i\partial - m + i\epsilon) \psi + \bar{J} \psi + \bar{\psi} J \right] \quad (71)$$

Poiché da un lato l'integrale gaussiano si comporta al modo solito sotto traslazioni della variabile d'integrazione, ma d'altro canto esso produce un determinante al numeratore, abbiamo

$$Z[\bar{J}, \vec{J}] = \det [i\partial - m + i\epsilon] \exp i \int d^4x \bar{J} (i\partial - m + i\epsilon) J \quad (72)$$

Nota:  $A = -i(i\partial - m + i\epsilon)$   
 $= -i(k - m + i\epsilon)$   
 $\Rightarrow A^{-1} = \frac{i}{k - m + i\epsilon}$

Come nel caso del campo scalare, riscriviamo il risultato in vari modi

$$Z_0[\bar{j}] = \text{Det } A \exp \langle \psi | A | \bar{j} \rangle$$

$$A^{-1} = \frac{i}{\not{p} - m + i\epsilon} \Leftrightarrow \frac{i}{\not{p} - m + i\epsilon}$$

$$\langle \bar{j} | A^{-1} | j \rangle = \int d^4x \bar{j}(x) \frac{i}{\not{p} - m + i\epsilon} j(x)$$

$$= \sqrt{\frac{1^4}{(2\pi)^4}} \bar{j}(p) \frac{i}{\not{p} - m + i\epsilon} j(p)$$

con 
$$j(x) = \int d^4p e^{-ipx} j(p)$$

$$= \int d^4x d^4y \bar{j}(x) \delta(x-y) j(y)$$

$$\delta(x-y) = \int \frac{d^4p}{(2\pi)^4} e^{ip(x-y)} \frac{i}{\not{p} - m + i\epsilon}$$

Notare che

$$(\not{p} - m)(\not{p} + m) = p^2 - m^2$$

dunque 
$$\frac{i}{\not{p} - m + i\epsilon} = \frac{i(\not{p} + m)}{p^2 - m^2 + i\epsilon}$$

Possiamo quindi calcolare f. di ~~transizione~~ <sup>green</sup> come

$$\frac{\langle dT(\psi_1 \dots \psi_n) | 0 \rangle}{\langle 0 | 0 \rangle} = \frac{1 (i)^n \delta^4}{Z[0] \delta_{j_1} \dots \delta_{j_n}} Z[\bar{j}]$$

$$\Pi: \int d\theta_i^* d\theta_i \delta_a \theta_b^* e^{-\theta_n^* B_{nm} \theta_m}$$

Supponiamo dapprima  $B_{nm}$  diagonale. In tal caso

$$= \Pi_i \int d\theta_i^* d\theta_i \delta_a \theta_b^* \left( 1 - \theta_n^* b_n \delta_{nn} \theta_n \right)$$

se  $a=b$   $= \prod_{i \neq a} \Pi_i b_i$  (l'a-esimo integrale = 1)

se  $a \neq b$   $= 0$  (non c'è alcun termine lineare sia in  $\theta$  che in  $\theta^*$ )

$$= B^{-1}_{ab} \det B$$

Se  $B_{nm}$  non è diagonale

~~$$\theta_i^* b_{ij} \theta_j$$~~

esempio

$$\begin{aligned} \theta_i^* b_{ij} \theta_j \\ \theta_1 \theta_2 + \theta_2 \theta_1 &= \\ &= \theta_1 \theta_2 - \theta_2 \theta_1 \end{aligned}$$

~~$$= \Pi_i \int d\theta_i^* d\theta_i \delta_a \theta_b^* U_{aa'} \theta_{a'} \theta_{b'}^* U_{b'b} \left( 1 - \theta_n^* U_{nn'}^{-1} B_{n'm'} U_{m'm} \theta_{m'} \right) =$$~~

$$= U_{aa'} B^{-1}_{b'a'} U_{b'b} \det B \text{ ma } U \text{ è ortogonale (} B_{ij} \text{ antisimmetrica)}$$

$$= (U B^{-1} U^{-1})_{ab} \det B = B^{-1}_{ab} \det B$$

visto che  $B' = U^{-1} B U$ ,  $B = U B' U^{-1}$ ;  $B^{-1} = U B'^{-1} U^{-1}$

Localizzazione Libera

La funzione a due parti  $\psi$  particolare è data da

$$\langle 0 | \psi(x) \psi(y) | 0 \rangle = \frac{\delta^2}{\delta_j^2(x) \delta_j^2(y)} \quad \text{e} \quad z = \delta_F(x-y) \quad (82)$$

Questo è lo stesso risultato che si ottiene con il metodo hamiltoniano.  
Una osservazione importante è che la nostra anticommutazione dei campi spinoriali implica che

$$T \psi(x) \psi(y) = \begin{cases} \psi(x) \psi(y) & \text{se } t_y \leq t_x \\ -\psi(y) \psi(x) & \text{se } t_x < t_y \end{cases} \quad (83)$$

\* Nota che

$$\begin{aligned} \langle 0 | \psi(x) \psi(y) | 0 \rangle &= \int \mathcal{D}\bar{\psi} \mathcal{D}\psi \quad \psi \exp \left[ i \int d^4x \bar{\psi} (i \not{\partial} - m) \psi \right] \psi + \bar{\psi} + \bar{\psi} \\ &= + \frac{\delta}{\delta_j} z [j, j] \end{aligned}$$

$$\begin{aligned} \text{mentre} \quad \int \mathcal{D}\bar{\psi} \mathcal{D}\psi \quad \bar{\psi} \exp \left[ i \int d^4x \bar{\psi} (i \not{\partial} - m) \psi \right] \psi + \bar{\psi} + \bar{\psi} \\ = - \frac{\delta}{\delta_j} z [j, j] \end{aligned}$$

perché

$$\frac{\delta}{\delta_j} \int \bar{\psi} i \not{\partial} \psi = - \bar{\psi}$$

Nota inoltre che dalla eq. (83) segue che

$$T(\psi \bar{\psi}) = -T(\bar{\psi} \psi)$$

consisterebbe con il fatto che  $\frac{\delta^2}{\delta_j \delta_j} = - \frac{\delta^2}{\delta_j \delta_j}$  % 76

## IV Calcolo di ampiezze

### 4.1 La formula di riduzione

La formula di riduzione espone un risultato fondamentale della teoria dei campi, ossia il fatto che una funzione di Green ha una singolarità di tipo polo ogni volta che ciascuna delle particelle esterne può andare on-shell. Questo vuol dire che se definiamo

$$G(p_1 \dots p_n) = \int d^4x_1 \dots d^4x_n e^{-ip_1 x_1} \dots e^{-ip_n x_n} \langle 0 | T \phi_1(x_1) \dots \phi_n(x_n) | 0 \rangle \quad (1)$$

e vediamo la  $G$  come funzione di  $p_1 \dots p_n$  complessi; se  $p_i^2 = m_i^2$  corrisponde ad una particella fisica la h. di Green ha una singolarità, e in particolare una esplicita  $e^-$ , a meno di opportuni coefficienti, il residuo al polo è multiplo, nel senso che  $\langle p_1 \dots p_n | k_1 \dots k_n \rangle$  è il residuo  $\mathcal{P}$  del polo della  $G(p_1 \dots k_n)$  quando tutti gli impulsi vanno on-shell.

Il risultato si estende anche al caso di stati legati. Ad esempio se esiste un operatore  $\mathcal{O}[\phi]$  tale che

$$\langle 0 | \mathcal{O}[\phi] | p \rangle \neq 0 \quad (2)$$

dove  $|p\rangle$  è uno stato ad una particella, ed  $\mathcal{O}$  è un'operatore una funzione di più op. di campo, allora una h. di Green con l'op.  $\mathcal{O}$  avrà un polo quando  $p$  va on shell.

Dimostriamo il risultato quando le particelle entranti e uscenti corrispondono a campi canonici della teoria.

Il primo passo è definire un operatore di creazione per uno stato col ma particella reale quando la teoria è in interazione. A tal fine definiamo il trasformato

$$W(f(\vec{x}, t), g(\vec{x}, t)) \equiv \int d^3x f \frac{d}{dt} g - \left( \frac{d}{dt} f \right) g \quad (3)$$

Notare che  $f$  e  $g$  potrebbero essere operatori quindi rispettivamente l'anticommutatore.

Il trasformato definisce un prodotto scalare tra funzioni rispetto al quale le sol. delle eq. del moto della linea

$$i \frac{d}{dt} |f\rangle_{\omega(\vec{k})} = \omega |f\rangle_{\omega(\vec{k})} \quad (4)$$

formano una base completa.

Ad esempio per il campo scalare, scegliendo

$$f_{\vec{k}} = \frac{e^{-i\vec{k}\cdot\vec{x}}}{\sqrt{2\omega(2\pi)^3}} \quad (5)$$

$$W(f_{\vec{k}}^*, f_{\vec{k}'}) = \int d^3x \frac{e^{i(\vec{k}-\vec{k}')\cdot\vec{x}}}{(2\pi)^3 \sqrt{2\omega 2\omega'}} e^{-i(\omega'+\omega)t} \quad (6)$$

$$= -i \delta^{(3)}(\vec{k}-\vec{k}') \quad (6)$$

Definiamo quindi degli operatori di creazione e distruzione

$$a_{\vec{k}}(t) \equiv i W \left( \frac{e^{i\vec{k}\cdot\vec{x}}}{\sqrt{2\omega}}, \phi(x) \right) \quad (7)$$

ossia i coefficienti (dip da  $t$ , nel caso in interazione) dello sviluppo del campo rispetto a questa base di funzioni.

La loro espressione esplicita è ovviamente

$$a_{\vec{k}}(t) = \frac{i \int d^3x}{\sqrt{2\omega}} e^{i(\omega t - \vec{k} \cdot \vec{x})} \frac{d}{dt} \varphi(\vec{x}, t) = \frac{i \int d^3x}{\sqrt{2\omega}} (i\dot{\varphi} - i\omega\varphi) e^{-i\vec{k} \cdot \vec{x}} \quad (8)$$

È facile verificare che

$$\varphi(\vec{x}, t) = \int \frac{d^3k}{(2\pi)^3 \sqrt{2\omega}} \begin{pmatrix} -i\vec{k} \cdot \vec{x} & -i\vec{k} \cdot \vec{x} \\ e^{i\vec{k} \cdot \vec{x}} a(t) + e^{-i\vec{k} \cdot \vec{x}} a^\dagger(t) \end{pmatrix} \quad (9)$$

per sostituzione diretta. Notare che  $a(t)$  è vero qualunque sia la dip. da  $t$  scegli  $a(t)$ .

Questo in particolare implica che se  $[\pi, \varphi] = -i\delta$  allora  $[a, a^\dagger] = \delta$  a ogni uguale.

Nella teoria libera ovviamente gli  $a$  non dipendono dal tempo. In questo senso gli  $a$  ricordano la rapp. di interazione (anche se  $\varphi$  è un campo alla Heisenberg).

La proprietà fondamentale degli operatori  $a, a^\dagger$  è

$$\frac{d}{dt} a(t) = i [V, a(t)] \quad (10)$$

$$\text{se } H = H_0 + V \quad (11)$$

prop. come in rapp. di interazione.

$$H = H_0 + V \quad (7)$$

La Eq. (6) si dimostra utilizzando l'eq. di Heisenberg

$$\begin{aligned} \frac{da_{\vec{k}}}{dt} &= \frac{\partial a_{\vec{k}}}{\partial t} + i [H, a_{\vec{k}}] \\ &= \frac{\partial}{\partial t} i W \left[ \frac{e^{-i\vec{k}\cdot\vec{x}}}{\sqrt{2\omega}}, \psi(\vec{x}, t) \right] \\ &\quad + i [H_0 + V, a_{\vec{k}}] \end{aligned} \quad (12) \quad (8')$$

Ora notiamo che la definizione di  $a$  in termini di  $\psi$  canonici implica che

$$H_0 = \int \frac{d^3k}{(2\pi)^3} \omega_k a_{\vec{k}} a_{\vec{k}}^\dagger \quad (13) \quad (9)$$

Questo, insieme al fatto che  $a, a^\dagger$  commutano canonici a tempi uguali (Eq. (5)) implica

$$i [H_0, a_{\vec{k}}] = -i \omega_k a_{\vec{k}} \quad (14)$$

e dunque la Eq. (8) diventa

$$\frac{da_{\vec{k}}}{dt} = i\omega_k a_{\vec{k}} - i\omega_k a_{\vec{k}} + i [V, a_{\vec{k}}] \quad (15)$$

QED. Definiamo dunque ora

$$\begin{aligned} a_{in} &= \lim_{t \rightarrow -\infty} a(t) \\ a_{out} &= \lim_{t \rightarrow +\infty} a(t) \end{aligned} \quad (16)$$

e conseguentemente

$$a_{in}(\vec{x}, t) = \int \frac{d^3k}{(2\pi)^3} \frac{1}{\sqrt{2\omega}} \left( e^{-i\vec{k}\cdot\vec{x}} a_{in} + e^{i\vec{k}\cdot\vec{x}} a_{out}^\dagger \right) \quad (17)$$

e analogamente per ant.

E' importante notare che  $a_{in}, a_{out}$  non dipendono esplicitamente da  $t$ , visto che sono definiti come in  $\lim_{t \rightarrow \pm\infty}$ , però sono implicitamente funzione del campo  $\phi$  a tutti i tempi: al solito si può esprimere il campo  $\phi$  come il campo clin più un termine di sorgente, ovvero come

$$\phi(x) = \phi_{in}(x) + \int d^4y G_R(x-y) X(\phi(y)) \quad (18)$$

dove  $X(\phi)$  è essenzialmente il contributo  $[V, \phi]$ .

Ora, sfruttando questa espressione, si dimostra che

$$[P_\mu, \phi_{in}] = -i \partial_\mu \phi_{in} \quad (19)$$

da cui segue che

$$P_\mu a_{in}^\dagger |0\rangle = P_\mu a_{in}^\dagger |0\rangle \quad (20)$$

e analogamente per ant. In altri termini,  $a_{in}^\dagger, a_{in}$  sono buoni operatori di creazione e distruzione per stati entranti e usanti (rispetto alla hamiltoniana completa).

Possiamo dunque usare questi operatori per scrivere qualunque stato di indice  $S$ :

$$|S\rangle = \langle k_1 \dots k_n | P_1 \dots P_n \rangle$$

$$= \sqrt{2\omega_1} \dots \sqrt{2\omega_n} \langle 0 | a_{out}(k_1) \dots a_{in}^\dagger(p_1) \dots |0\rangle \quad (21)$$

matrice de l'ev. temp. e-contratta

Traccia di  $\phi_{in}$  delle proprietà di  $a_{in, out}$   
 e analogamente per  $a_{out}$ .

Osserviamo che  $a_{in}, a_{out}$  non dipendono da  $t$ , ma  
 dipendono dal corpo  $\varphi$  a tutti i tempi  $t$ .

Il punto cruciale è che il corpo  $\phi_{in}$  (e  $\phi_{out}$ )  
 soddisfa le relazioni di commutazione canoniche

$$[P_\mu, \phi_{in}] = -i \partial_\mu \phi_{in} \quad (18)$$

e la sua definizione Eq. (17) implica quindi che  $a_{in}^\dagger$   
 crea un autostato del quadrupolo-impulso. Nota che  
 la Eq. (14) e non-banale perché, appunto,  $a_{in}$  nella  
 (13) dipende da  $\varphi$  a tutti i tempi, e quindi la Eq. (14)  
 non è conseguenza diretta delle relazioni di  
 commutazione a tempi uguali.

Diamo una traccia di dimostrazione della Eq. (18)  
 senza fare i dettagli dei passaggi intermedi.

Immediatamente notiamo che la Eq. (16) è manifestamente  
 equivalente all'eq. integrale

$$a(t) = a_{in} + \int_{-\infty}^t dt i [V, a(t-)] \quad (19)$$

$$= a_{in} + \int_{-\infty}^t dt i [V, \mathcal{W} \left( \frac{e^{ikx}}{\sqrt{2\omega}}, \varphi \right)] \quad (20)$$

Il commutatore nella (20) può essere calcolato usando rel.  
 di commutazione canoniche:

$$[V, \mathcal{W} \left( \frac{e^{ikx}}{\sqrt{2\omega}}, \varphi \right)] = \int \frac{\mathcal{X} F(\varphi)}{\sqrt{2\omega^3} (2\pi)^3} e^{ikx} d^3x \quad (21)$$

Careful check (Inversion della formula di Krasinski)

Define  $a_k(t) \equiv i \sqrt{\frac{d^3 x}{2\omega}} e^{i(\omega t - \vec{x} \cdot \vec{k})} \Leftrightarrow \frac{d}{dt} \varphi(\vec{x}, t)$

$$= i \sqrt{\frac{d^3 x}{2\omega}} e^{i(\omega t - \vec{x} \cdot \vec{k})} (\dot{\varphi} - i\omega \varphi)$$

$$\Rightarrow a_k^\dagger(t) \equiv -i \sqrt{\frac{d^3 x}{2\omega}} e^{-i(\omega t - \vec{x} \cdot \vec{k})} (\dot{\varphi} + i\omega \varphi)$$

where we used the fact that  $\varphi = \varphi^*$

It follows that

$$\varphi(x) = \sqrt{\frac{d^3 k}{2\omega(2\pi)^3}} \left( e^{-ikx} a_k(t) + e^{ikx} a_k^\dagger(t) \right)$$

Check 
$$\varphi(x) = \sqrt{\frac{d^3 k}{2\omega(2\pi)^3}} e^{-ikx} \left( i \sqrt{\frac{d^3 y}{2\omega}} e^{i(\omega t - \vec{y} \cdot \vec{k})} (\dot{\varphi}(t, \vec{y}) - i\omega \varphi) \right. \\ \left. + e^{ikx} \left( -i \sqrt{\frac{d^3 y}{2\omega}} e^{-i(\omega t - \vec{y} \cdot \vec{k})} (\dot{\varphi}(t, \vec{y}) + i\omega \varphi) \right) \right)$$

$$= \sqrt{\frac{d^3 y}{2\omega}} \left[ i (\dot{\varphi} - i\omega \varphi) - i (\dot{\varphi} + i\omega \varphi) \right] \sqrt{\frac{d^3 k}{(2\pi)^3}} e^{i\vec{k} \cdot (\vec{x} - \vec{y})}$$

$$= \varphi(x)$$

nella def. degli stati, come è consueto in coppia di Heisenberg (lo stato  $|f\rangle$  è autostato di un op. al tempo  $t_f$  che è dato da  $S^{-1} O S$  sotto l'op. al tempo  $t_i$ , e quindi  $S^{-1} U(t_f) = S^{-1} |f(t_i)\rangle$  ecc.)

Natiamo che possiamo scrivere

$$\begin{aligned}
 S_{f,i} &= \langle k_1 \dots k_n | p_1 \dots p_m \rangle \\
 &= \langle k_1 \dots k_n | \sqrt{2\omega_1} a_1^{\dagger} | p_1 \dots p_m \rangle \quad (\text{if fatt } \sqrt{2\omega} \text{ viene dalla non. leg. statistica}) \\
 &= \langle k_1 \dots k_n | \int_{-\infty}^{\infty} dt_1 \frac{d a_1}{dt_1} | p_1 \dots p_m \rangle \quad (17)
 \end{aligned}$$

dove siamo supponendo che  $p_1 \dots p_m \neq k_1 \dots k_n$  per ogni  $n, m$  (elemento di matrice  $T$ ).

e analogamente

$$S_{f,i} = \langle k_1 \dots k_n | \int_{-\infty}^{\infty} dt_1' \frac{d a_1^{\dagger}}{dt_1'} | p_1 \dots p_m \rangle \quad (18)$$

Concentriamoci su un contributo di tipo "in".  
 Usando la def. in termini di transizione: (nota la conc. dei fattori  $\sqrt{2\omega}$ )

$$\begin{aligned}
 S_{f,i} &= \langle k_1 \dots k_n | \int_{-\infty}^{\infty} dt_1 \frac{d}{dt_1} \int d^3 x_1 (i) \frac{e^{-i p_1 x_1}}{\sqrt{2\omega_1}} \mathcal{O}(x_1) | p_1 \dots \rangle \\
 &= i \int d^4 x_1 \langle k_1 \dots k_n | e^{-i p_1 x_1} (\mathcal{O} - \mathcal{O}^{\dagger}) | p_1 \dots \rangle \\
 &= i \int d^4 x_1 \langle k_1 \dots k_n | e^{-i p_1 x_1} (\mathcal{O} - \mathcal{O} + m^2) | p_1 \dots \rangle
 \end{aligned}$$

$$= +i \int d^4x_1 \langle k_1 \dots k_m | e^{-i p_1 x_1} (\square_{x_1} + m^2) \phi(x_1) | p_1 \rangle \quad (19)$$

Nel caso di particelle out, lo stesso argomento porta a

$$S_{fi} = i \langle k_1 \dots k_m | \int d^4y_1 e^{i k_1 y_1} (\square_{y_1} + m^2) \phi(y_1) | p_1 \rangle \quad (20)$$

Notare che ci sono due segni (-): uno perché ora si usa la (17) anziché la (18) (integrale indt fra tempo iniziale e finale), e l'altro per il segno nel denominatore.

Possiamo usare questo argomento ripetutamente notando

che

$$\int d^4x_1 \dots e^{-i p_1 x_1} (\square_{x_1} + m^2) \langle k_1 \dots k_m | \phi(x_1) | p_1 \dots p_m \rangle \\ = + \int d^4x_1 \dots e^{-i p_1 x_1} (\square_{x_1} + m^2) \int_{-\infty}^{\infty} dt_2 \langle k_1 \dots k_m | T(\phi(x_1) \frac{d a_{p_1}^+}{dt_2}) | p_3 \dots p_m \rangle \quad (21)$$

dove il prodotto cronologico è necessario perché il termine a  $t = +\infty$  non contribuisca, dopo di che l'argomento procede come prima. Si trova così infine

$$S_{fi} = \int d^4x_1 \dots d^4x_m d^4y_1 \dots d^4y_m e^{-i p_1 x_1} \dots e^{-i p_m x_m} \\ e^{i k_1 y_1} \dots e^{i k_m y_m} (\square_{x_1} + m^2) \dots (\square_{y_1} + m^2) \dots$$

$$* \langle 0 | T(\varphi_1(x_1) \dots \varphi_n(y_n)) | 0 \rangle \quad (22)$$

Notiamo che questo è un contributo alla matrice  $T$ , avendo definito

$$S = \mathbb{1} + i T \quad (23)$$

e specificare alla parte connessa della matrice  $T$ , in quanto abbiamo fatto l'ipotesi che gli impulsi entranti ed usanti siano tutti diversi fra loro.

Possiamo quindi leggere la Eq. (22) come  $\int d^4 p_1 x_1 \dots d^4 p_n y_n$  e  $\dots$  e

$$S_F^{-1}(x_1, x_1') \dots S_F^{-1}(y_n, y_n') G_{n+m}(x_1' \dots x_n'; y_1' \dots y_m')$$

$$G_{n+m}(x_1 \dots y_m) = \langle T \varphi(x_1) \dots \varphi(y_m) \rangle \quad (24)$$

$$S_F^{-1}(x_1, x_1') = \int \frac{d^4 k}{(2\pi)^4} e^{-ik(x_1 - x_1')} e^{-i(k^2 - m^2)}$$

Prendendo la trasformata di Fourier di entrambi i membri ed invertendo abbiamo

$$G_{n+m}(x_1 \dots y_m) = \int \frac{d^4 k_1 \dots d^4 p_m}{(2\pi)^4} e^{i p_1 x_1} \dots e^{-i k_m y_m}$$

$$\frac{i}{k_1^2 - m^2} \dots \frac{i}{p_m^2 - m^2} i T(k_1 \dots k_n; p_1 \dots p_m) \quad (25)$$

$$i T(k_1 \dots k_n; p_1 \dots p_m) = S^{-1}(k_1) \dots S^{-1}(p_m) G_{n+m}(k_1 \dots p_m)$$

Questo dimostra il risultato enunciato:  
 la f. di Green ha un polo multiplo, di cui l'ordine  
 (el. di ordine T) e il residuo.

Possiamo infine definire una f. di Green nello spazio  
 degli impulsi

$$G(k_1 \dots k_m, p_1 \dots p_m) = \int d^4x_1 \dots d^4x_m e^{-i p_1 x_1} \dots e^{i k_m x_m} G(x_1 \dots x_m) \quad (24)$$

che permette di scrivere la formula di riduzione  
 pienamente nello spazio degli impulsi:

$$G_{m+n}(k_1 \dots p_n) = S(k_1) \dots S(p_n) i T(k_1 \dots k_n; p_1 \dots p_n)$$

Nel caso di spin più elevato la definizione degli op.  
 di distruzione e creazione, e dunque il risultato finale,  
 contengono la corrispondente soluzione delle eq. classiche  
 del moto.

Specificamente abbiamo:

Fermioni

$$\langle p_1 \dots p_n | k_1 \dots k_m \rangle = \int d^4x_1 \dots d^4x_m e^{-i p_1 x_1} \dots e^{i k_m x_m} \langle p_1 \dots p_n | \bar{\Psi}(x) \Psi(x) | k_1 \dots k_m \rangle \quad (27)$$

$$= \int d^4x_1 \bar{u}(p_1) e^{i p_1 x_1} (-i \not{\partial}_{x_1} - m) u(k_1) e^{-i k_1 x_1} \dots$$

$$= \int d^4x_1 \bar{u}(p_1) e^{i p_1 x_1} (-i \not{\partial}_{x_1} - m) u(k_1) e^{-i k_1 x_1} \dots \langle p_1 \dots p_n | \Psi(x) | k_1 \dots k_m \rangle \quad (28)$$

Spin 1 massa 0

$$\langle p_1 \dots p_n | k \dots km \rangle = +i \int d^4x_1 e^{-ik_1 x_1} \square_{x_1} m^2$$

$$\langle p_1 \dots p_m | A_\mu | p_2 \dots p_n \rangle (-g^{\mu\nu}) \epsilon^\nu(k_1) \quad (29)$$

In generale la regola per la "funzione d'onda"

$e^-$	$u(p)$	fermione entrante
	$\bar{u}(p)$	fermione uscente
	$\bar{v}(p)$	antifermione entrante
	$v(p)$	antifermione uscente
	$\epsilon^\mu$	$\gamma$ entrante
	$\epsilon^{*\mu}$	$\gamma$ uscente
$e^{-ipx}$	$e$	particella entrante (anti')
$e^{ipx}$	$e$	particella uscente (particella entrante)

## 4.2 Il teorema di Wick e il vertice

Come si è visto possiamo ridurre il calcolo del funzionale generatore per la teoria in interazione al calcolo di funzioni di Green della teoria libera ponendo

$$\begin{aligned}
 Z[J] &= \int D\varphi e^{i\int d^4x \mathcal{L}_0 + V[\varphi] + j\varphi} \\
 &= \int D\varphi \sum_k \frac{(-i)^k}{k!} (V[\varphi])^k e^{i\int d^4x \mathcal{L}_0 + j\varphi} \\
 &= \int D\varphi \sum_k \frac{(-i)^k}{k!} (V[\varphi; \delta_j])^k e^{i\int d^4x \mathcal{L}_0 + j\varphi} \quad (30)
 \end{aligned}$$

da cui segue che

$$G_n(x_1 \dots x_n) = \frac{1}{(0|0\rangle} \frac{(-i)^n \delta^n}{\delta j^n} Z[J] \Big|_{j=0} =$$

$$= \frac{1}{Z[0]} \frac{(-i)^n \delta^n}{\delta j^n} \sum_k \frac{(-i)^k}{k!} (V[\varphi; \delta_j])^k Z_0[j] \Big|_{j=0} \quad (31)$$

In definitiva dunque il calcolo della generica f. di Green è ridotto al calcolo della f. di Green per la teoria libera.

Avanti ultima ha la forma generica

$$\frac{1}{\langle 0|0\rangle} \langle 0|T\varphi(x_1)\dots\varphi(x_n)|0\rangle = (-i)^n \sum_{\text{coppie}} D_F(x_{i_1} - x_{i_2}) \dots D_F(x_{i_{n-1}} - x_{i_n}) \quad (32)$$

dove la somma corre su tutti i distinti accoppiamenti di  $n/2$  coppie delle  $n$  coordinate, e la f. di Green si annulla se  $n$  è dispari.

Ad esempio, la f. di Green a 4 punti è data da

$$G(x_1, x_2, x_3, x_4) = D_F(x_1 - x_2) D_F(x_3 - x_4) + D_F(x_1 - x_3) D_F(x_2 - x_4) + D_F(x_1 - x_4) D_F(x_2 - x_3) \quad (33)$$

Questo a volte si indica con

$$\frac{1}{\langle 0|0\rangle} \langle 0|T\varphi(x_1)\varphi(x_2)\varphi(x_3)\varphi(x_4)|0\rangle = \langle 0|\underbrace{\varphi(x_1)\varphi(x_2)}\underbrace{\varphi(x_3)\varphi(x_4)}|0\rangle + \dots \quad (34)$$

risultato noto come teorema di Wick.

Dalla Eq. (30-31) segue quindi che la struttura delle f. di Green (e quindi, per la f. di azione, delle ampiezze) è determinata dal modo in cui il termine di potenziale permette di soddisfare il teor. di Wick. Per illustrare questo punto, calcoliamo una semplice ampiezza di transizione in QED.

Consideriamo cioè la Lagrangiana

$$\mathcal{L} = \bar{\psi}(i\partial - m)\psi - \frac{1}{4} F_{\mu\nu} F^{\mu\nu} - e \bar{\psi} \not{A} \psi \quad (35)$$

tale che  $V[\psi, A] = e \bar{\psi} A \psi$  (36)

Supponiamo di voler calcolare l'ampiezza  $\langle e^i \bar{c} | 0 \rangle$   
 la formula di riduzione ci dice che questa si ottiene  
 dalla f. di Green a tre punti

$$G^{(3)}(y_1, y_2; x_1) = \langle 0 | T A_\mu(x_1) \psi(y_1) \bar{\psi}(y_2) | 0 \rangle \quad (37)$$

$\downarrow$   
 $e^-$

Il primo contributo perturbativo non nullo si ottiene  
 sviluppando

$$G^{(3)}(y_1, y_2; x_1) = \int d^4x \langle 0 | T A_\mu(x_1) \psi(y_1) \bar{\psi}(y_2) \bar{\psi}(x) (-ie\gamma^\mu) \psi(x) A_\mu(x) | 0 \rangle$$

$$= \int d^4x D_F^{\mu\nu}(x_1 - x) S_F(y_1 - x) (-ie\gamma^\mu) S_F(x - y_2)$$

Notiamo che i propagatori sono collegati da un vertice :  $-ie\gamma^\mu$  (38)

Ora usiamo la formula di riduzione: troviamo

$$\langle k_1, k_2 | p \rangle = \int d^4x_1 d^4y_1 d^4y_2 d^4x e^{-ipx_1} e^{i(k_1 y_1 + k_2 y_2)}$$

$$\delta^{(4)}(x_1 - x) \delta^{(4)}(y_1 - x) \delta^{(4)}(x - y_2)$$

$$\epsilon^\mu(p) \bar{u}(k_1) (-ie\gamma^\mu) v(k_2) =$$

$$= (2\pi)^4 \delta^4(p) \bar{u}(k_1) (-ie\gamma^\mu) v(k_2) \epsilon^\mu(p) \quad (39)$$

Per capire meglio il risultato si derivando usando un  
 formalismo hamiltoniano in rappresentazione di interazione

calcoliamo

$$\langle k_1, k_2 | p \rangle = \sqrt{2E_1 2E_2 2\omega} \langle 0 | b_{k_1} d_{k_2} S_{int} a_p^\dagger | 0 \rangle \quad (40)$$

ovvero  $a^{\dagger}, b, d$  sono op. di creazione e distruzione in rapp. di interazione, ossia, ricordando che  $\frac{d}{dt} a(t) = [a, V]$ , proprio gli stati q. in, out della banda di interesse

e

$$S_{int} = T \exp \int_{-\infty}^{\infty} d^4x \mathcal{L}_{int} + V[a] \quad (4)$$

ossia il potenziale calcolato in b. degli q. di campo definiti come nella teoria libera

Troviamo

$$\langle \langle T \phi(x_1) \phi(x_2) \rangle \rangle = \sqrt{2E_1 2E_2 2\omega} \int d^4x \langle 0 | b_{k_1} d_{k_2} (-ie) \int d^4x \frac{d^3k_1 d^3k_2 d^3p'}{(2\pi)^9 \sqrt{2E_1 2E_2 2\omega}} \gamma^{\mu}$$

$$\sum_{\lambda_1} \left( b_{k_1}^{\lambda_1} \bar{u}_{k_1}^{\lambda_1} e^{ik_1 x} + d_{k_1}^{\lambda_1} \bar{v}_{k_1}^{\lambda_1} e^{-ik_1 x} \right) \gamma^{\mu}$$

$$\sum_{\lambda_2} \left( b_{k_2}^{\lambda_2} \bar{u}_{k_2}^{\lambda_2} e^{-ik_2 x} + d_{k_2}^{\lambda_2} \bar{v}_{k_2}^{\lambda_2} e^{ik_2 x} \right)$$

$$\sum_{s'} \left( \epsilon_{\mu}^{s'}(p') a_{p'}^{s'} e^{-ip' x} + \epsilon_{\mu}^{*s'}(p') a_{p'}^{s'} e^{ip' x} \right) a_{p'}^{s'} |0\rangle$$

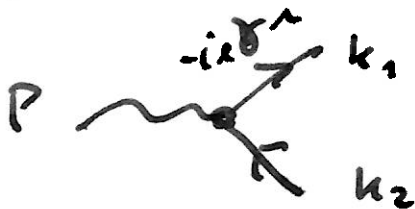
$$= -ie \int d^4x \bar{u}_{k_1}^{\lambda_1} \gamma^{\mu} v_{k_2}^{\lambda_2} \epsilon_{\mu}^s(p) e^{-ix(p - (k_1 + k_2))}$$

$$= -ie (2\pi)^4 \delta^{(4)}(p - (k_1 + k_2)) \bar{u}_{k_1}^{\lambda_1} \gamma^{\mu} v_{k_2}^{\lambda_2} \epsilon_{\mu}^s(p) \quad (4?)$$

ossia lo stesso risultato trovato prima.

### 4.3 Le regole di Feynman

Il calcolo fatto fino qui può essere rappresentato graficamente con



dove usiamo il vertice per connettere delle linee che rappresentano i propagatori; e delle linee con un diverso stile di tratto per distinguere <sup>le</sup> particelle <sup>o</sup> antiparticelle distinte dalle particelle medianti le quali si rappresenta il flusso di carica.

Le regole. Qualunque espressione può quindi essere calcolata collegando fra loro i propagatori con vertici, e infine usando la regola di riduzione per rimuovere i propagatori da linee esterne e rimpiazzarli con fattori di funzione d'onda. La conservazione dell'impulso al vertice è garantita dai fattori di trasf. di Fourier.

Operativamente, fissate le linee esterne si assegna a ciascuna di esse una funzione d'onda, e si collegano le linee esterne fra loro in tutti i modi possibili usando una potenza arbitraria  $k$  del vertice, avendo cura di avere un propagatore su ogni linea esterna,

diversamente la banda di riduzione annulla il diagonale.  
Si associano quindi a vertici e propagatori i rispettivi  
fattori, e si moltiplica il risultato finale per  
 $(2\pi)^4 \delta^{(4)}(p_i - p_f)$ .

richiede sempre uno scambio di fermioni.

Inoltre notiamo che il denominatore  $(0!0)$  contiene tutti i diagrammi vuoto-vuoto. Ora osserviamo che ~~disperdere~~ qualunque fattore dell'interazione può produrre un risultato non nullo o agendo sulle linee esterne o connesse all'esterno, o su linee disconnesse da linee esterne. Quest'ultimo contributo è ovviamente lo stesso sia che visino capi esteri, sia che non visino.

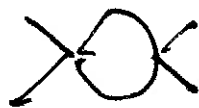
Inoltre, vista la natura distributiva delle derivate questo contributo disconnesso è sempre fattorizzabile. Ne segue che per divisione per l'ampiezza vuoto-vuoto rimangono i contributi disconnessi.

Nota che qui "disconnessi" significa "in parti del diagramma non connesse né alle linee esterne né al resto del diagramma". Contributi disconnessi nel senso che data il diag. si può separare in due pezzi tagliando linee esterne sono presenti a livello di l. di Green, per essere vicini della formula di riduzione. Veggasi rimossi: prendendo il l. come vedremo in seguito.

Fattore di simmetria: 
$$g \prod_{n=2}^{\infty} 2^B (n!)^{d_n}$$

$d_n$  numero di coppie di vertici connessi da  $n$  linee solitarie

$E_3$



$n=2$   
 $d_n=1$



$n=3$   
 $d_n=1$



$n=2$   
 $d_n=2$

$g$  # permutazioni di vertici che lasciano il diagramma invariato con fisse linee esterne

$E_3$



$g=2$

$\beta$  numero di linee che conetton in vertice a se stesso

$Q^{\beta=1}$

Vanno inoltre tenuti in conto i seguenti fattori combinatori

- nel calcolo del vertice, se vi sono più campi uguali, va incluso un fattore pari al numero delle loro permutazioni. Questo fattore è incluso a livello di regola di Feynman.

Ad es se  $V_I = \frac{\lambda}{4!} \phi^4$

regola di Feynman  $-i\lambda$

- va incluso un fattore di simmetria  $\frac{1}{S}$  dove  $S$  è l'ordine <sub>e vertici</sub> del gruppo delle permutazioni di linee interne. Lascio il diagramma invariato con fisse linee esterne: infatti le permutazioni di linee ai vertici e le permutazioni di vertici sono divise risp. dal fattore di cui alla regola precedente, e dal fattore  $\frac{1}{n!}$  nello sviluppo dell'esponenziale. <sup>Questi fattori</sup> si cancellano con fattori che vengono dalle derivate funzionali; nel senso che ogni derivata può agire su tutti i campi dello stesso tipo. Tuttavia una volta che la prima derivata ha agito quel campo è stato "speso" ed un diverso ordinamento di derivate che avrebbe prodotto lo stesso risultato non porta a fatt. 2: tale fattore invariato perciò come tutti i simmetria alla fine del calcolo

- va incluso un segno - relativo per tra due diag. che differiscono per scambio di fermioni

- va incluso un fatt.  $-1$  per ogni linea chiusa (loop) fermionica: infatti essa può essere solo ottenuta da

$$\langle 0 | \bar{\psi}(x_1) \psi(x_2) | 0 \rangle$$

da manifestarsi

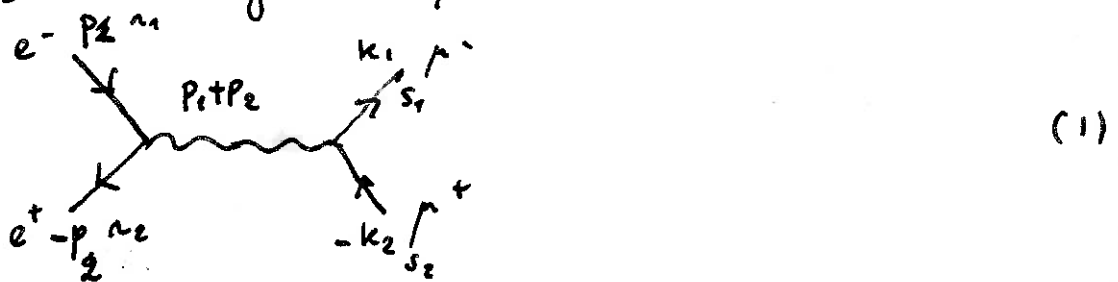
# V Calcolo di sezioni d'urto "ad albero": $e^+e^- \rightarrow \mu^+\mu^-$

## 1. Calcolo dell'ampiezza: tracce sulle matrici $\gamma$

Approfiamo ora il calcolo dell'ampiezza per il processo  $e^+e^- \rightarrow \mu^+\mu^-$ .

Supponiamo cioè che vi siano due specie diverse di fermioni carichi, con la stessa carica ma masse diverse.

Vi è quindi solo un diagra. di Feynman:



Notiamo che per  $e^+e^- \rightarrow e^+e^-$  ( $\mu^+\mu^- \rightarrow \mu^+\mu^-$ ) vi sarebbe anche il diagramma

Scriviamo l'ampiezza per questo processo al primo ordine perturbativo usando le regole viste prima:

$$\begin{aligned}
 M &= \bar{u}^{s_1}(k_1) \gamma^\mu v^{s_2}(k_2) (-ie) \frac{-ig_{\mu\nu}}{q^2 + i\epsilon} \bar{v}^{s_2}(p_2) \gamma^\nu u^{s_1}(p_1) (-ie) = \\
 &= \bar{u}^{s_1}(k_1) \gamma^\mu v^{s_2}(k_2) \bar{v}^{s_2}(p_2) \gamma_\mu u^{s_1}(p_1) \frac{ie^2}{q^2} \quad (2)
 \end{aligned}$$

la probabilità di transizione è il modulo quadro dell'ampiezza:

$$\begin{aligned}
 |M|^2 &= \frac{e^4}{q^4} \bar{u}^{s_1}(k_1) \gamma^\mu v^{s_2}(k_2) \bar{v}^{s_2}(k_2) \gamma^\nu u^{s_1}(k_1) \\
 &\quad \bar{v}^{s_2}(p_2) \gamma^\nu u^{s_1}(p_1) \bar{u}^{s_1}(p_1) \gamma^\mu v^{s_2}(p_2) \quad (3)
 \end{aligned}$$

dove abbiamo fatto uso di  $(\bar{u} \gamma^\mu v)^\dagger = \bar{v} \gamma^\mu u$

Il risultato si semplifica considerevolmente se supponiamo che gli spin non siano osservati. In tal caso occorre sommare sulle pol. finali e mediare su quelle iniziali:

$$|M|_{\text{impol}}^2 = \frac{1}{4} \sum_{s_1, s_2, a_1, a_2} M(s_1, s_2, a_1, a_2) \quad (4)$$

Ora notiamo che

$$P_+ = \sum_{\alpha} u^{\alpha}(p) \bar{u}^{\alpha}(p) = \not{p} + m \quad (5)$$

$$P_- = \sum_{\alpha} v^{\alpha}(p) \bar{v}^{\alpha}(p) = \not{p} - m \quad (6)$$

Dimostrazione:

introduciamo la matrice

$$\gamma_5 \equiv i \gamma^0 \gamma^1 \gamma^2 \gamma^3 \quad (7)$$

Proprietà:  $\{\gamma_5, \gamma^{\mu}\} = 0 \quad (8)$

$$\gamma_5^{\dagger} = \gamma_5 \quad (9)$$

La base di 16 matrici  $\mathbb{1}, \gamma^{\mu}, \sigma^{\mu\nu} \equiv \frac{i}{2} [\gamma^{\mu}, \gamma^{\nu}], \gamma^{\mu} \gamma_5, \gamma_5$

non matrici  $4 \times 4$  possono essere solo  $k$    
 Ne segue che  $k$    
 allora: masse diverse!!

$$|M|_{\text{impol}}^2 = \frac{1}{4} \frac{\text{Tr}(\gamma^{\mu} (\not{p}_2 - m) \gamma^{\nu} (\not{p}_1 + m))}{\text{Tr}(\gamma^{\mu} (\not{p}_1 + m) \gamma^{\nu} (\not{p}_2 - m))} \frac{e^4}{q^4} \quad (13)$$

Le tracce di matrici  $\gamma$  si calcolano usando le seguenti proprietà:

$$(14) \quad \text{Tr} \mathbb{1} = 4$$

$$(15) \quad \text{Tr} \gamma^{\mu} = 0 \quad \text{Dim: } \text{Tr} \gamma^{\mu} = \text{Tr} \gamma^{\mu} \gamma_5^2 = -\text{Tr} \gamma_5 \gamma^{\mu} \gamma_5 = -\text{Tr} \gamma^{\mu}$$

$$(16) \quad \text{Tr} \gamma_5 = 0 \quad \text{Dim: stessa, con } \text{Tr} \gamma_5 = \text{Tr} \gamma_5 \gamma_5^2 = \text{Tr} \gamma_5^3 \text{ ecc.}$$

$$(17) \quad \text{Tr} \gamma^{\mu} \gamma^{\nu} = \frac{1}{2} \text{Tr}(\gamma^{\mu} \gamma^{\nu} + \gamma^{\nu} \gamma^{\mu}) = 4 g^{\mu\nu}$$

$$(18) \quad \text{Tr} \sigma^{\mu\nu} = \frac{1}{2i} \text{Tr} (\gamma^\mu \gamma^\nu - \gamma^\nu \gamma^\mu) = 0$$

$$(19) \quad \text{Tr} (\text{numero dispari di } \gamma) = 0 \quad \text{dim: } \text{Tr} (\gamma \dots \gamma) = \text{Tr} (\gamma \dots \gamma \gamma_5^2)$$

$$(20) \quad \text{Tr} (\gamma_5 \gamma^\mu \gamma^\nu) = 0 \quad \text{dim: stessa, inserendo } \gamma_\alpha^2 \text{ con } \alpha \neq \mu, \nu$$

$$(21) \quad \text{Tr} (\gamma^\mu \gamma^\nu \gamma^\rho \gamma^\sigma) = 4 (g^{\mu\nu} g^{\rho\sigma} - g^{\mu\rho} g^{\nu\sigma} + g^{\mu\sigma} g^{\nu\rho})$$

$$(22) \quad \text{Tr} (\gamma^\mu \gamma^\nu \gamma^\rho \gamma^\sigma \gamma_5) = -4i \varepsilon^{\mu\nu\rho\sigma}$$

E' immediato ora calcolare l'el. di matrice:

$$\begin{aligned} & \text{Tr} (\gamma^\mu (k_2 - m) \gamma^\nu (k_1 + m)) = \\ & = \text{Tr} (\gamma^\mu k_2 \gamma^\nu k_1) - m_\mu^2 \text{Tr} \gamma^\mu \gamma^\nu \end{aligned} \quad (23)$$

$$= 4 (k_2^\mu k_1^\nu - g^{\mu\nu} k_1 \cdot k_2 + k_1^\mu k_2^\nu) - 4 m_\mu^2 g^{\mu\nu}$$

$$= 4 (k_1^\mu k_2^\nu + k_1^\nu k_2^\mu - g^{\mu\nu} (k_1 \cdot k_2 + m_\mu^2))$$

$$\text{Tr} (\gamma^\mu (p_1 + m_e) \gamma^\nu (p_2 - m_e)) =$$

$$= 4 (p_1^\mu p_2^\nu + p_1^\nu p_2^\mu - g^{\mu\nu} (p_1 \cdot p_2 + m_e^2))$$

Troviamo con

$$\begin{aligned} |M|^2_{\text{imp}} &= \frac{e^4}{4q^4} 16 (2k_1 \cdot p_1 k_2 \cdot p_2 + 2k_1 \cdot p_2 k_2 \cdot p_1 - 4p_1 \cdot p_2 k_1 \cdot k_2 \\ & \quad - 2(m_\mu^2 + m_e^2) p_1 \cdot p_2 \\ & \quad - 2(m_e^2 + m_\mu^2) k_1 \cdot k_2 \\ & \quad + 4(p_1 \cdot p_2 + m_e^2) (k_1 \cdot k_2 + m_\mu^2)) \end{aligned}$$

$$= \frac{8e^4}{q^4} (k_1 \cdot p_1 k_2 \cdot p_2 + k_1 \cdot p_2 k_2 \cdot p_1 + m_e^2 k_1 \cdot k_2 + m_\mu^2 p_1 \cdot p_2 + 2m_e^2 m_\mu^2) \quad (24)$$

Notiamo che in pratica  $m_e^2 \sim 10^{-4} m_\mu^2$  e quindi

$$|M|^2_{\text{imp}} \approx \frac{8e^4}{q^4} (k_1 \cdot p_1 k_2 \cdot p_2 + k_1 \cdot p_2 k_2 \cdot p_1 + m_\mu^2 p_1 \cdot p_2) \quad (25)$$

## 2 Cinematica: Invarianti di Mandelstam e sistema di riferimento

Possiamo chiederci da quante variabili indipendenti dipenderà il nostro risultato.

Notiamo che la cinematica per un generico processo  $2 \rightarrow 2$  è specificata da quattro impulsi:

$$\begin{array}{ccc} e^+ + e^- & \rightarrow & \mu^+ + \mu^- \\ p_1 \quad p_2 & & k_1 \quad k_2 \end{array} \quad (11)$$

Di questi, però, solo tre sono indip., visto che

$$p_1 + p_2 = k_1 + k_2 \quad (12)$$

Questo dà 12 componenti indipendenti, di cui però 4 sono determinate dalle condizioni di mass-shell

$$\begin{array}{l} p_i^2 = m_e^2 \\ k_i^2 = m_\mu^2 \end{array} \quad (13)$$

Inoltre, l'invarianza di Lorentz implica che vi siano 6 leggi di conservazione (così come l'inv. per traslazioni spaziotemporali implica le 4 leggi di cons. dell'impulso). Restano quindi  $12 - 4 - 6 = 2$  gradi di libertà residui, ad es. un'energia

ed un angolo. Se scegliamo di parametrizzare il risultato in termini degli scalari che possiamo formare con i vettori dati, vediamo che vi sono 2 scalari indipendenti: (6 scalari in totale, visto che gli scalari implementano automaticamente l'inv. di Lorentz, - 4

relazioni tra essi dovute all'eq. (12))

Possiamo esprimere questi scalari in termini di invarianti di Mandelstam;

$$\begin{aligned} s &= (p_1 + p_2)^2 = (k_1 + k_2)^2 = 2k_1 \cdot k_2 + m_e^2 + m_e^2 = 2p_1 \cdot p_2 + m_e^2 + m_e^2 \\ (14) \quad t &= (k_1 - p_1)^2 = (k_2 - p_2)^2 = -2k_1 \cdot p_1 + m_e^2 + m_e^2 = -2k_2 \cdot p_2 + m_e^2 + m_e^2 \\ u &= (k_1 - p_2)^2 = (k_2 - p_1)^2 = -2k_1 \cdot p_2 + m_e^2 + m_e^2 = -2k_2 \cdot p_1 + m_e^2 + m_e^2 \end{aligned}$$

Notare che

$$\begin{aligned}
 s+t+u &= 2p_i \cdot p_e + m_e^2 + m_i^2 - 2p_i \cdot k_1 + m_i^2 + m_e^2 \\
 &\quad - 2k_2 \cdot p_1 + m_e^2 + m_i^2 \\
 &= 2p_i (p_e - k_1 - k_2) + m_i^2 + m_e^2 + m_e^2 + m_e^2 \\
 &\quad + 2m_e^2
 \end{aligned}$$

$$\begin{aligned}
 &= m_e^2 + m_e^2 + m_e^2 + m_e^2 \\
 &= (p_1 + p_2)^2 + (p_1 - p_3)^2 + (p_1 - p_4)^2 = p_1^2 + p_2^2 + p_3^2 + p_4^2 + 2p_1 \cdot p_2 + 2p_1 \cdot p_3 + 2p_1 \cdot p_4 = 3p_1^2 + p_2^2 + p_3^2 + p_4^2 + 2p_1(p_2 + p_3 + p_4) = \sum_i p_i^2
 \end{aligned} \tag{15}$$

Poiché la (15) lega i tre inv. di Mandelstam, solo due di essi sono indipendenti; e possiamo usarli per parametrizzare qualunque processo.

Nel nostro caso

$$\begin{aligned}
 s &= 2(p_1 \cdot p_2 + m_e^2) \approx 2p_1 \cdot p_2 \\
 &= 2(k_1 \cdot k_2 + m_\mu^2) \\
 t &= -2k_1 \cdot p_1 + m_e^2 + m_\mu^2 \approx -2k_1 \cdot p_1 + m_\mu^2 \\
 &= -2k_2 \cdot p_2 + m_e^2 + m_\mu^2 \approx -2k_2 \cdot p_2 + m_\mu^2 \\
 u &= -2p_1 \cdot k_2 + m_e^2 + m_\mu^2 \approx -2p_1 \cdot k_2 + m_\mu^2 \\
 &= -2k_1 \cdot p_2 + m_e^2 + m_\mu^2 \approx -2k_1 \cdot p_2 + m_\mu^2 \\
 s+t+u &\approx 2m_\mu^2
 \end{aligned} \tag{16}$$

Ponendo

$$\begin{aligned}
 q &= p_1 + p_2 \\
 k_1 + k_2 &= p_1 + p_2
 \end{aligned} \tag{17}$$

possiamo quindi scrivere l'elemento di matrice in termini di invarianti:

$$|M|^2 = \frac{2e^4}{s^2} [(\epsilon - m^2)^2 + (u - m^2)^2 + 2m^2 s] \tag{18}$$

ove abbiamo posto  $m = m_\mu$ ,  $m_e = 0$ .

In pratica, per ottenere una predizione verificabile sperimentalmente, abbiamo esprimere il risultato in termini di energie ed angoli. tal fine scegliamo un sistema di riferimento.

Una scelta naturale è il sistema del centro di massa, definito dalla richiesta che si annulli il tri-impulso iniziale, e cioè

$$\vec{P}_1 = -\vec{P}_2$$

$$\begin{aligned}
 P_1 &= (E, 0, 0, p) & P_2 &= (E, 0, 0, -p) & P &= \sqrt{E^2 - m_e^2} \\
 k_1 &= (E, p' \sin \theta, 0, p' \cos \theta) & k_2 &= (E, -k_1) & p' &= \sqrt{E^2 - m_\mu^2}
 \end{aligned}
 \tag{19}$$

Notare che questa è la più generale espressione quando le masse delle due particelle iniziali sono uguali tra loro, e così quelle delle due part. finali. Se le masse fossero tutte uguali ha loro avremmo <sup>anche</sup>  $p = p'$ .

Gli inv. di Mandelstam sono

$$(20) \quad S = 4E^2 = E_{cm}^2 \quad (\text{questo è vero qualunque siano le masse})$$

$$(21) \quad t = (k_1 - p_1)^2 = -2(E^2 - pp' \cos \theta) + m_e^2 + m_\mu^2 \quad (\text{se } m_e = m_\mu \Rightarrow -2p^2(1 - \cos \theta))$$

$$(22) \quad u = (k_2 - p_1)^2 = -2(E^2 + pp' \cos \theta) + m_e^2 + m_\mu^2 \quad (\text{ " " " } -2p^2(1 + \cos \theta))$$

L'ampiezza, ponendo  $m_e^2 = 0$  come se  $p = E$ , diventa

$$|M|^2 = \frac{g^4}{16 E^4} \left( E^2 (E - p' \cos \theta)^2 + E^2 (E + p' \cos \theta)^2 + 2m^2 E^2 \right)$$

$$= \frac{e^4}{E^4} \left( E^4 + E^2 p'^2 \cos^2 \theta + m^2 E^2 \right)$$

$$= e^4 \left( 1 + \frac{p'^2}{E^2} \cos^2 \theta + \frac{m^2}{E^2} \right) = e^4 \left[ 1 + \frac{m^2}{E^2} + \left( 1 - \frac{m^2}{E^2} \right) \cos^2 \theta \right] \tag{23}$$

$$= e^4 \left[ (1 + \cos^2 \theta) + \frac{m^2}{E^2} (1 - \cos^2 \theta) \right] / 7$$

$$\begin{aligned}
 \Phi &= 2 E_1 2 m_2 \left| \frac{\vec{p}_1}{E_1} \right| \\
 &= 4 m_2 |\vec{p}_1| = 4 m_2 \sqrt{E_1^2 - m_1^2} \\
 &= 4 m_2 \sqrt{\left(\frac{p_1 \cdot p_2}{m_2}\right)^2 - (m_1)^2} \\
 &= 4 \sqrt{p_1 \cdot p_2^2 - m_1^2 m_2^2}
 \end{aligned} \tag{47}$$

Per finire, dobbiamo fissare la misura di integri. sullo stato finale,  $df$ . A questo fine, notiamo che gli stati finali possibili sono caratterizzati da quadri-impulsi  $k_i$  generici, salvo la condizione di mass-shell  $k_i^2 = m_i^2$ . Usando l'identità (I.85) abbiamo quindi:

$$df = \frac{d^3 k_1}{(2\pi)^3 2E_{k_1}} \dots \frac{d^3 k_n}{(2\pi)^3 2E_{k_n}} \tag{48}$$

$$d\sigma = |M_{if}|^2 \frac{1}{4 \sqrt{p_1 \cdot p_2^2 - m_1^2 m_2^2}} (2\pi)^4 \delta^{(4)}(p_1 + p_2 - \sum_{i=1}^n k_i) \frac{d^3 k_1}{(2\pi)^3 2E_{k_1}} \dots \frac{d^3 k_n}{(2\pi)^3 2E_{k_n}} \tag{49}$$

Notiamo che lo spazio delle fasi è dato dall'elemento  $df$  soggetto al vincolo di conservazione dell'impulso, che permette di eseguire 4 delle integrazioni. Notiamo inoltre che  $\sigma = \int d\Omega \frac{d\sigma}{d\Omega}$  è uno scalare di Lorentz.

Possiamo ora finalmente determinare la sez. d'urto per il processo  $e^+ e^- \rightarrow \mu^+ \mu^-$ . di motivazione è stato calcolato nel rist. del CM nell'eq. (23). Ci servono quindi fattore di flusso e spazio delle fasi nello stesso SR.

Fattore di flusso:

$$\Phi = 4 E_1 E_2 \left| \frac{\vec{p}_1}{E_1} - \frac{\vec{p}_2}{E_2} \right| = \frac{2E_1^2 \sqrt{E_2^2 - m_2^2}}{E} \approx 2E_1^2 \sqrt{1 - \frac{m_2^2}{E_2^2}} \approx 2E_1^2 \tag{49}$$

## Spazio delle fasi

$$df = \frac{d^3 k_1 d^3 k_2}{(2\pi)^3 2E_{k_1} (2\pi)^3 2E_{k_2}} (2\pi)^4 \delta^{(4)}(k_1 + k_2 - P_f) \quad (50)$$

Nel sist. del c.m.  $P_f = (2E, \vec{0})$

quindi la  $\delta$  tridimensionale impone  $\vec{k}_1 = -\vec{k}_2 \Rightarrow E_{k_1} = E_{k_2}$  visto che le masse delle due part. nello stato finale sono uguali:

$$\begin{aligned} df &= \frac{d^3 k_1}{(2\pi)^3} \frac{1}{(2E_{k_1})^2} \delta(2E_{k_1} - 2E) \\ &= \frac{k_1^2 dk_1 d\Omega}{16\pi^2 E_{k_1}^2} \delta(2\sqrt{k_1^2 + m^2} - 2E) \\ &= \frac{d\Omega}{32\pi^2} \frac{k_1}{E_{k_1}} = \frac{d\Omega}{32\pi^2} \frac{\sqrt{E^2 - m^2}}{E} \end{aligned} \quad (51)$$

con  $d\Omega = d\cos\theta d\varphi$ ,  
dove abbiamo usato

$$\delta(2\sqrt{k_1^2 + m^2} - 2E) = \frac{\delta(k_1 - \sqrt{E^2 - m^2})}{2k_1/E} \quad (52)$$

Mettendo tutto assieme troviamo

$$\begin{aligned} \frac{d\sigma}{d\Omega} &= \frac{e^4}{8E^2 32\pi^2} \frac{\sqrt{E^2 - m^2}}{E} \left( 1 + \frac{m^2}{E^2} + \left(1 - \frac{m^2}{E^2}\right) \cos^2\theta \right) \\ &= \frac{\alpha^2}{16E^2} \sqrt{1 - \frac{m^2}{E^2}} \left( 1 + \frac{m^2}{E^2} + \left(1 - \frac{m^2}{E^2}\right) \cos^2\theta \right) \end{aligned} \quad (53)$$

$\alpha \equiv e^2/4\pi$  cost. di struttura fine

La sezione d'urto totale si ottiene integrando in  $d\Omega = d\cos\theta d\varphi$

$$\sigma_{\text{tot}} = \frac{4\pi}{3} \frac{\alpha^2}{E^2} \left( 1 + \frac{1}{2} \frac{m^2}{E^2} \right) \sqrt{1 - \frac{m^2}{E^2}} \quad (54)$$

Nel limite di alta energia  $E \gg m$

$$\frac{d\sigma}{d\Omega}{}_{HE} = \frac{\alpha^2}{16E^2} (1 + \cos^2\theta) \quad (55)$$

$$\sigma_{tot, HE} = \frac{\alpha^2 \pi}{3E^2} = \frac{4\alpha^2 \pi}{3s} \quad (56)$$

Notiamo che  $\sigma_{tot} \propto \frac{1}{s}$  segue dall'analisi dimensionale e dal fatto che  $\sigma$  è scalare. Inoltre che  $\sigma \propto \alpha^2 (1 + o(\alpha))$  segue dalla struttura generale dell'accoppiamento fotone-particella carica. Quindi per ciò che concerne  $\sigma_{tot}$ , tutto questo calcolo è servito per determinare il fattore  $\frac{4}{3}\pi$ , e le correzioni di  $O(\frac{m}{E})$ .

Per ciò che concerne  $\frac{d\sigma}{d\Omega}$  possiamo notare quanto segue:

- nel limite di alta energia  $m \approx 0$  gli spinori sono autostati di chiralità:

$$\not{p} \frac{u}{v} = 0 \quad (57)$$

implica  $\not{S} \not{S}^0 \not{p} \frac{u}{v} = E \not{S} \frac{u}{v} \quad (58)$

Da  $\not{S} \not{S}^0 \not{S}^0 = \Sigma^i \quad (59)$

quindi  $\not{p} = \Sigma^i \not{p} = \pm \not{S}^i \not{p} \quad (60)$

Quindi vediamo che gli autostati di spin ad alta energia sono autostati di chiralità, che è a sua volta pari all'autovalore di  $\pm \not{S}$  (per particelle o antiparticelle).

- In tale limite, l'accoppiamento comporta sempre un flip di chiralità:

$$\begin{aligned} \bar{\psi} \not{\gamma}_\mu \psi &= \bar{\psi} \frac{1 + \not{S}^0}{2} \not{\gamma}_\mu \frac{1 - \not{S}^0}{2} \psi \\ &= \bar{\psi} \not{R} \not{\gamma}_\mu \psi \end{aligned} \quad (61)$$

Pertanto la coppia  $e^+e^-$  e  $\mu^+\mu^-$  hanno elicità opposte, quindi spin concordi. Ne segue che si annidano in un fotone di spin  $\pm 1$  diretto lungo l'asse  $z$  (asse della collisione), il  $ss$  e devono produrre un fotone di spin  $\pm 1$  diretto lungo l'asse  $(\sin\theta, 0, \cos\theta)$ . L'overlap  $e^-$  quindi  $\epsilon_{in}^\mu = (0, 1, \pm i, 0)$

$$\epsilon_{out}^{\mu*} = (0, \cos\theta, \pm i, \sin\theta) \quad (62)$$

$$\epsilon_{in}^\mu \epsilon_{out}^{\mu*} = \frac{1}{2} (1 \pm \cos\theta) \quad (63)$$

(+  $\rightarrow$  fotone  $\pm 1$  entrante    fotone  $\pm 1$  uscente)  
 -        "     $\mp 1$  entrante        "     $\mp 1$  uscente

Sommato il modulo dei 4 casi possibili abbiamo quindi:

$$\sum |\epsilon_{in}^\mu \epsilon_{out}^{\mu*}|^2 \propto (1 + \cos\theta)^2 + (1 - \cos\theta)^2 \\ \propto (1 + \cos^2\theta) \quad (64)$$

Vediamo così che anche la dipendenza angolare della  $sec.$  d'interazione differenziale dipende esclusivamente da considerazioni di simmetria.

### 3. Serie d'nto, fattore di flusso, spazio delle fasi

La serie d'nto generalizza il concetto di serie geometrica di un oggetto. Infatti il numero di oggetti di flusso da un disco di serie  $S$  su cui incide un flusso  $j$  di particelle per un tempo  $T$  e', ricordando che

$$j = \frac{dn}{dS dt} \quad (24)$$

$$N = j \Delta T S \quad (25)$$

Definiamo quindi serie d'nto

$$\sigma = \frac{N}{j \Delta T} \quad (26)$$

Quantisticamente  $N e^{-}$  la probabilita di rivelare il sistema preparato nello stato iniziale  $|i\rangle$  in uno stato finale  $|f\rangle$  e quindi:

$$\sigma = \frac{1}{j \Delta T} \int |\langle f|i\rangle|^2 dL \quad (27)$$

L'ampiezza  $|\langle f|i\rangle|^2$  calcolata perturbativamente e'

data dalla regola area di Fei:

$$\frac{|\langle p | i \rangle|^2}{\Delta T} = (2\pi)^4 \delta^{(4)}(p_f - p_i) |\langle p_f | i \rangle|^2 \quad (28)$$

dove  $|i\rangle_p$ ,  $|f\rangle_p$  sono autostati dell'impulso iniziale e finale.

Il fattore di flusso per particelle aventi  $i$ -velocità  $v$  è

$$j_{dt} = \Phi = n_1 n_2 |v_1 - v_2| \quad (29)$$

dove  $n_i = 2E_i$  visto che  $\langle p | p' \rangle = 2E \delta^{(3)}(p - p')$

$$\text{mentre } |v_1 - v_2| = \left| \frac{p_1}{E_1} - \frac{p_2}{E_2} \right|$$

Possiamo scrivere  $\Phi$  in forma covariante scegliendo un SR e scriverlo in termini di scalari in quell'SR.

Ad es nell'SR in cui la particella 2  $e^-$  a riposa abbiamo

## VII La rinormalizzazione

### 1. Gli infiniti ed il loro significato

Il calcolo di diagrammi al di là di un loop del primo ordine perturbativo produce generalmente risultati divergenti. Questo fatto ha appreso una volta misterioso, e addirittura segno di una difficoltà concettuale della teoria quantistica dei campi, appare ora come conseguenza inevitabile del principio di indeterminazione, che a sua volta implica che una teoria quantistica di campo non può essere vera a tutte le scale simultaneamente.

Per capirlo, consideriamo dapprima un esempio esplicito. Studieremo quindi la procedura di rinormalizzazione in modo più sistematico. Calcoliamo a questo fine l'ampiezza di scattering elastico  $2 \rightarrow 2$  nella teoria  $\phi^4$  fino ad un loop.

La teoria  $\phi^4$  è definita dalla Lagrangiana

$$\mathcal{L} = \frac{1}{2} \partial_\mu \phi \partial^\mu \phi - \frac{1}{24} g \phi^4 - \frac{1}{2} m^2 \phi^2 \quad (1)$$

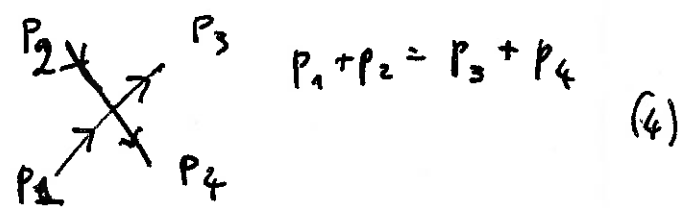
Regole di Feynman:

propagatore:  $\frac{i}{p^2 - m^2 + i\epsilon}$   (2)

vertice:  $-ig$   (3)

Amplitudine di scattering  $\phi-\phi$

$$\mathcal{M} = -ig$$



$$d\sigma = \frac{1}{\Phi} \frac{d^3 p_3}{2E_3 (2\pi)^3} \frac{d^3 p_4}{2E_4 (2\pi)^3} (2\pi)^4 \delta^{(4)}(p_1 + p_2 - p_3 - p_4) g^2 \quad (5)$$

SR del CM

$$p_1 = (E, 0, 0, p) \quad E^2 = p^2 + m^2 \quad (6)$$

$$p_2 = (E, 0, 0, -p)$$

$$P_3 = (E, p \sin \theta, 0, p \cos \theta)$$

$$P_4 = (E, -p \sin \theta, 0, -p \cos \theta)$$

(7)

$$s = 4E^2, t = 2m^2 - 2(E^2 + p^2 \cos \theta); u = 2m^2 - 2(E^2 - p^2 \cos \theta)$$

$$\text{Flusso di } \phi = -2p^2(1 + \cos \theta) = -2p^2(1 - \cos \theta)$$

(8)

$$\phi = 4E^2 \frac{2p}{E} = 8pE$$

(8)

Spazio delle fasi

$$\frac{d^3 P_3}{2E_3(2\pi)^3} \frac{d^3 P_4}{2E_4(2\pi)^3} (2\pi)^4 \delta^{(4)}(P_1 + P_2 - P_3 - P_4) =$$

$$= \frac{d^3 P_3}{(2E_3)^2 (2\pi)^2} \delta(P_1 + P_2 - 2\sqrt{p_3^2 + m^2})$$

(9)

$$= \frac{P_3^2 2\pi d\cos\theta}{(2E_3)^2 (2\pi)^2} \frac{1}{2 \frac{P_3}{E_3}} \delta(E_3 - E)$$

$$= \frac{P}{E} \frac{1}{16\pi} d\cos\theta$$

(10)

$$\frac{d\sigma}{d\cos\theta} = g^2 \frac{1}{8pE} \frac{P}{E} \frac{1}{16\pi} = \frac{1}{128\pi} \frac{1}{E^2} g^2$$

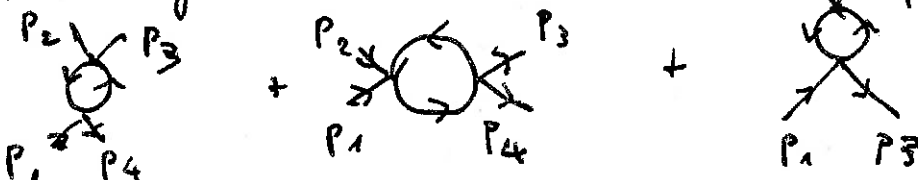
(11)

Connessioni ad un loop:

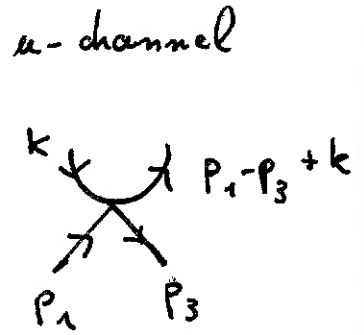
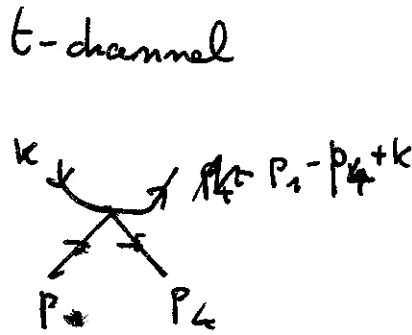
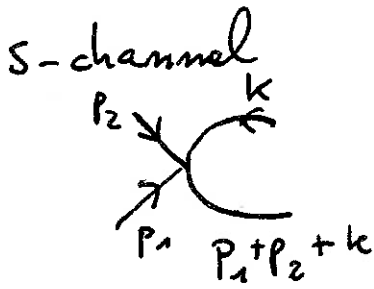
$$\text{Diagram} = \text{Diagram} + O\left(\frac{g^2}{g^2}\right) = -ig F(S, E)$$

(12)

All'ordine  $g^2$



(13) 109



$$i\mathcal{M} = \frac{-ig}{2} \int \frac{d^4 k}{(2\pi)^4} \frac{i}{k^2 - m^2} \frac{i}{(p+k)^2 - m^2} = ig V(p^2) \quad (14)$$

$$p^2 = \begin{cases} s \\ t \\ u \end{cases}$$

Parametri di Feynman:

$$\frac{1}{AB} = \int_0^1 dx dy \delta(x+y-1) \frac{1}{(xA+yB)^2} = \int_0^1 dx \frac{1}{(xA+(1-x)B)^2} \quad (15)$$

$$\frac{1}{k^2 - m^2} \frac{1}{(p+k)^2 - m^2} = \int_0^1 dx \frac{1}{[k^2 - m^2 + x(2p \cdot k + p^2)]^{-2}} = \int_0^1 dx \frac{1}{[k + px]^2 - m^2} \quad (16)$$

$$m^2 = -(x p^2 - p^2 x^2) = -p^2 x(1-x) + m^2; \quad \ell = k + xp \quad (17)$$

$$ig V(p^2) = \frac{ig}{2} \int_0^1 dx \int \frac{d^4 \ell}{(2\pi)^4} \frac{1}{[\ell^2 - m^2]^{-2}} \quad (18)$$

avendo posto

$$F(s, t) = 1 - ig (V(s) + V(t) + V(u)) + O(g^2)$$

Affrontiamo quindi il calcolo di un integrale della forma

$$\int \frac{d^D k}{(k^2 - M^2 + i\varepsilon)^m} \equiv I_m^D \quad (19)$$

dove lo spazio ha una dim. temporale e  $D-1$  dim. spaziali.

Notiamo che il den. si annulla quando  $k_0 = \pm(\sqrt{M^2 - i\varepsilon})$

$$\text{Im } k_0 \quad \Delta \uparrow \quad \text{dove } \Delta^2 = M^2 + |k|^2$$

$-i\varepsilon$   $-i\varepsilon$   $\text{Re } k_0$  Pertanto, possiamo ruotare il cammino di

integ. in senso antiorario di  $90^\circ$  senza incontrare un polo. Perciò possiamo porre

$$k_E = -i k_0 \rightarrow k_0 = i k_E \Rightarrow dk_0 = i dk_E \quad (20)$$

dimodo che quando

$k_0$  varia da  $-i\infty$  a  $+i\infty$  lungo l'asse imm.,  $k_E$  varia da  $-\infty$  a  $\infty$  lungo l'asse reale.

L'integ. in  $dk_E = d^D k$  è così un ordinario integ.  $D$ -dimensionale

*100*

*111*

euclideo:

$$\begin{aligned}
 I_m^D &= i \int \frac{d^D k_E}{(2\pi)^D} \frac{1}{(k_E^2 + M^2)^n} (-1)^n \\
 &= (-1)^n i \int d\Omega_D \int_0^\infty dk_E \frac{k_E^{D-1}}{(k_E^2 + M^2)^n} \quad (21)
 \end{aligned}$$

L'integr. sul volume della D-1 sfera può essere calcolato osservando

che

$$\begin{aligned}
 \int d^D x e^{-\frac{1}{2} x_i^2} &= (\sqrt{\pi})^D \\
 &= \int d\Omega_D \int_0^\infty dx x^{D-1} e^{-x^2} \quad (22) \\
 &= \int d\Omega_D \int_0^\infty \frac{dx^2}{2} (x^2)^{\frac{D}{2}-1} e^{-x^2} = \frac{1}{2} \left(\frac{D}{2}-1\right)! = \frac{1}{2} \Gamma(D/2)
 \end{aligned}$$

da cui

$$\int d\Omega_D = \frac{2\pi^{D/2}}{\Gamma(D/2)} \quad (23)$$

D'altra parte

$$\int_0^\infty dk_E \frac{k_E^{D-1}}{(k_E^2 + M^2)^n} = \frac{1}{2} \frac{\Gamma(n-D/2) \Gamma(D/2)}{\Gamma(n)} \left(\frac{1}{M^2}\right)^{n-D/2}$$

Mettenendo tutto assieme abbiamo

$$I_m^D = \frac{i (-1)^n}{(2\pi)^{D/2}} \frac{\Gamma(n-D/2)}{\Gamma(n)} \left(\frac{1}{M^2}\right)^{n-D/2}$$

Nel nostro caso abbiamo

$$I_2^4$$

Nel nostro caso troviamo quindi:

$$-igV(p^2) = \frac{1}{2} g \lim_{\Lambda \rightarrow \infty} \int_0^1 dx \frac{i 2\pi^2}{(2\pi)^4} \int_0^\Lambda d^4 k \frac{k^3}{(k^2 + \pi^2)^2} \quad (24)$$

Volare:  $-i \times i$   
def  $\uparrow$  rot. Wick

$$= \lim_{\Lambda \rightarrow \infty} -\frac{1}{2} g \frac{2\pi^2}{(2\pi)^4} \frac{1}{2} \left( \ln \left( 1 + \frac{\Lambda^2}{\pi^2} \right) - \frac{\Lambda^2}{\Lambda^2 + \pi^2} \right) dx$$

$$= \lim_{\Lambda \rightarrow \infty} -g \int \frac{1}{32\pi^2} \left( \ln \frac{\Lambda^2}{\pi^2} - 1 \right) + o \left( \frac{\pi^2}{\Lambda^2} \right) dx \quad (25)$$

Pertanto il fattore di forma è dato da

~~$$F(s, t) = 1 + \frac{g}{32\pi^2} \int_0^1 dx \left( \ln \frac{\Lambda^2}{\pi^2(s)} + \ln \frac{\Lambda^2}{\pi^2(t)} + \ln \frac{\Lambda^2}{\pi^2(u)} \right)$$~~

$$= 1 + \frac{g}{32\pi^2} \left( 3 + \int_0^1 dx \ln \frac{\pi^2(s)}{\Lambda^2} + \ln \frac{\pi^2(t)}{\Lambda^2} + \ln \frac{\pi^2(u)}{\Lambda^2} \right) \quad (26)$$

Possiamo ora chiederci che cosa sia la  $g$  carica  $g$ : definiamo la carica fisica in termini del fattore di forma in soglia:

$$\left. \frac{dF}{ds} \right|_{s=s_0} \Big|_{t=t_0} = \frac{g_{phys}}{128\pi^2 m^2} \quad (27)$$

con  $s = 4m^2 = s_0$ ,  $t = 0 = t_0 = u$ ,  $E = m$

Questo significa.

$$g F(s_0, t_0) \equiv g_{phys} = g \left[ 1 + \frac{g}{32\pi^2} \left( 3 + \int_0^1 dx \ln \frac{\pi^2(s_0)}{\Lambda^2} + \right. \right.$$

$$\left. + \ln \frac{\pi^2(u)}{\Lambda^2} + \ln \frac{\pi^2(t)}{\Lambda^2} \right] \quad (28)$$

Esprimendo  $F(s,t)$  in termini di  $g_{phys}$  si ha, notando che

se  $g_{phys} = g(1 - cg)$  allora  $g = g_{phys} (1 + cg_{phys})$ ,

$$g F(s,t) = \left[ 1 + \frac{g_{phys}}{32\pi^2} \left( \int_0^1 dx \ln \frac{\pi^2(s)}{\pi^2(s_0)} + \ln \frac{\pi^2(t)}{\pi^2(t_0)} + \ln \frac{\pi^2(u)}{\pi^2(u_0)} \right) \right] \quad (29)$$

Esprimendo l'osservabile fisica in termini di un'altra osservabile fisica l'infrillo si cancella.

Osservazioni:

- 1) La scelta di  $s_0, t_0$  è convenzionale. Potremmo anche porre  $(s_0)$   
 $\pi^2(s_0) = \pi^2(t_0) = \pi^2(u_0) = \mu^2$

In particolare, notiamo che le punti finite sono convenzionali

- 2) Il ruolo della scala  $\Lambda$  e della scala  $\mu$  è molto diverso:  $\Lambda$  è una scala di regolarizzazione,  $\mu$  definita in punto di rinormalizzazione. In particolare, dopo la rinormalizzazione nella dipende da  $\Lambda$ , ma le osservabili fisiche dipendono dalla rinormalizzata  $g_{phys}$  (cioè  $g_{phys}$ ) dipende da  $\mu$ , anche se le osservabili fisiche non ne dipendono: la dip da  $\mu$  esplicita di  $F(s,t)$  deve cancellare la dip da  $\mu$  di  $g_{\mu}$  (RG1)

- 3) Mentre esprimendo  $g_{phys}$  in termini di  $g$   $F(s,t)$  in termini di  $g_{phys}$  gli infrillo si cancellano, gli infrillo

restano se esprimiamo  $g$  (bare) in termini di  $g^{phys}$  (rinormalizzata), ossia questi sono stati riassorbiti dentro  $g^{bare}$ .

Per capirlo, poniamo  $g^{phys} \equiv g_{\mu}$ ,  $g \equiv g_{\Lambda}$ , per enfatizzare il fatto che la prima dipende dal punto di rinormalizzazione, la seconda dal cutoff, e scegliamo

$$\mu^2(s_0) = \mu^2(t_0) = \mu^2(m_0) = \mu^2 \quad (31)$$

Abbiamo

$$g_{\mu} = g_{\Lambda} \left( 1 + \frac{3g_{\Lambda}}{32\pi^2} \left( 1 + \ln \frac{\Lambda^2}{\mu^2} \right) \right) \quad (32)$$

Vediamo così che scegliendo  $\mu^2$  ed  $\Lambda^2$  abbiamo possiamo  ~~$g_{\mu}$  ed  $g_{\Lambda}$~~  e eventualmente esprimere  $g_{\mu}$  come una funzione di  $g_{\Lambda}$ , e viceversa  $g_{\mu} = g_{\Lambda}$ .

Si vede dunque che la costante di accoppiamento bare corrisponde a rinormalizzare, ossia definire la <sup>l'accoppiamento</sup> scala fisica, ad una scala  $\Lambda \rightarrow \infty$ , ossia a distanze infinitamente corte.

.. Fisicamente, la cost. di accoppiamento bare corrisponde ad una definizione dell'osservabile fisica che include le fluttuazioni a tutte le scale. Questa diverge come conseguenza del principio di indeterminazione: le scaturite dei capi nello spazio degli impulsi sono state ottenute come coordinate canoniche di un sistema nello spazio delle posizioni. Le fluttuazioni in punti adiacenti sono indipendenti a tutte le scale, e quindi  $p \sim \frac{1}{\Delta x}$ .



$$= \frac{i}{2} g_{\mu} g_{\nu} \int_0^1 dx \frac{i (-1)^2 \Gamma(\epsilon) (\pi^2)^{-\epsilon} \pi^{2-\epsilon}}{(2\pi)^{4-2\epsilon}} \quad (5)$$

(a verob usato  $\int \frac{d^D k}{(k^2 - \pi^2)^m} = (-1)^m i \pi^{D/2} \Gamma(m - \frac{D}{2}) \frac{1}{\Gamma(m)}$   
 che viene da  $\int \frac{d^D k k^{D-1}}{(k^2 + \pi^2)^m} = \frac{1}{2} \Gamma(m - D/2) \Gamma(D/2) (\pi^2)^{\frac{D}{2} - m}$ )

$$= -\frac{g_{\mu} g_{\nu}}{2} \int_0^1 dx \frac{1}{16\pi^2} \left( \frac{1}{\epsilon} - \delta + \dots \right) \left( \frac{\pi^2}{\mu^2} \right)^{-\epsilon} (4\pi)^{\epsilon}$$

$$= -g_{\mu} g_{\nu} \int_0^1 dx \frac{1}{32\pi^2} \left( \frac{1}{\epsilon} - \delta + \ln 4\pi - \ln \frac{\pi^2}{\mu^2} + O(\epsilon) \right) \quad (6)$$

Osserviamo che in DR il parametro regolare dimensionale  $\epsilon^{-1}$  (con il cutoff  $\mu$ )  
 Notiamo ora che la rinormalizzazione può essere sempre vista

come una scelta di  $g$  - una definizione di  $g$  "fisica".

Ma tale def. è del tutto convenzionale.

La scelta "variabile fisica" potrebbe essere

$$g_{\text{phys}} = g_{\mu} \left( 1 - \frac{g_{\mu}}{32\pi^2} \left( 3 \left( \frac{1}{\epsilon} - \delta + \ln 4\pi \right) + \right. \right.$$

$$\left. \left. - \int dx \ln \frac{\pi^2(x)}{\mu^2} + \ln^2 \frac{\mu(x)}{\mu^2} + \ln \left( \frac{\mu(x)}{\mu^2} \right) \right) \right|_{\substack{s=s_0 \\ t=t_0 \\ m=\mu_0}} = g F(s_0, t_0) = g (1 - ig (V(s_0) + V(t_0) + V(m_0))) \quad (7)$$

dove  $s_0, t_0$  corrisponde ad una curva cinematica.

Ma nulla vieta di scegliere invece un valore non-fisico della cinematica  $s, t, m$ . Particolarmente semplice algebricamente (ma concettualmente oscura) è la sovrarinnormalizzazione

$$\pi S \quad g_{\pi S} = g_{\mu} \left( 1 - \frac{3}{32\pi^2} g_{\mu} \frac{1}{\epsilon} \right) \quad (8)$$

$$\overline{\pi S} \quad g_{\overline{\pi S}} = g_{\mu} \left( 1 - \frac{3}{32\pi^2} g_{\mu} \left( \frac{1}{\epsilon} - \delta + \ln 4\pi \right) \right) \quad (8')$$

Con questa scelta abbiamo

$$g F(s, t) = g_{\overline{\pi S}} \left( 1 + \frac{g_{\overline{\pi S}}}{32\pi^2} \int dx \ln \left( \frac{\pi^2(s)}{\mu^2} + \ln \frac{\pi^2(t)}{\mu^2} + \frac{\pi^2(m)}{\mu^2} \right) \right)$$

Notiamo che con la scelta  $\delta$  come il risultato è indipendente da  $\mu$  (che prima era il  $\mu$  di  $\pi$ ) ma in  $\overline{\pi S}$  no. Infatti

~~Quindi~~ in  $\overline{\pi S}$  il regolatore  $\mu$  gioca anche il ruolo di punto di rinormalizzazione: infatti la (9) coincide con la (29-30)

della sez. precedente, eccetto che lì  $\mu$  era il punto di rinormalizzazione.

non il regolatore! Vediamo quindi la rinormalizzazione con conseguenza di aver sostituito la cat. di accoppiamento "buona"  $g$  (regolarizzata come  $g_{\mu}$ ) con quella

Ora notiamo anche che nulla vieta di porre il  $\overline{\pi S}$   $z_g = g_{\mu} \left( 1 + \frac{3}{32\pi^2} g_{\mu} \left( \frac{1}{\epsilon} - \delta + \ln 4\pi \right) \right)$ ;  $\delta = g_{\overline{\pi S}}^2 \left( \frac{3}{32\pi^2} g_{\overline{\pi S}} \left( \frac{1}{\epsilon} - \delta + \ln 4\pi \right) \right)$

$$g_{\mu} = z_g g_{\overline{\pi S}} = g_{\overline{\pi S}} + \delta g_{\overline{\pi S}} \quad (10)$$

(Nota che  $z = 1 + O(g)$ )  
 Ma  $\delta = O(g^2)$ )

allora vediamo che il risultato rinormalizzato (9)

$$F(s, t) = g_{\mu} (g_{\overline{\pi S}}) \left( 1 + \frac{g_{\overline{\pi S}}}{32\pi^2} \int dx \ln \left( \frac{1}{\epsilon} - \delta + \ln 4\pi + \dots \right) \right) \quad (11)$$

$$= g_{\overline{\pi S}} \left( 1 + \frac{g_{\overline{\pi S}}}{32\pi^2} \int dx \left( \frac{1}{\epsilon} - \delta + \ln 4\pi \right) + \ln \frac{\pi^2(s)}{\mu^2} + \dots \right)$$

$$+ \frac{g_{\overline{\pi S}}^2}{32\pi^2} \left( \frac{1}{\epsilon} - \delta + \ln 4\pi \right) \quad (12)$$

con

$$\delta = \frac{g^2}{32\pi^2} \left( \frac{1}{\epsilon} - \delta + \ln 4\pi \right) \quad (13)$$

Possiamo vedere quindi l'espressione rinormalizzata come la somma dell'espressione divergente da noi trovata in origine, ma con la costante d'accoppiamento  $g$  sostituita da quella rinormalizzata, più un termine extra ("controtérmine").

Di fatto, possiamo eseguire la sostituzione a livello di Lagrangiana:

$$\begin{aligned} \mathcal{L} &= \frac{1}{2} (\partial_\mu \phi \partial_\mu \phi - m^2 \phi^2) - \frac{1}{4!} g \phi^4 \\ &= \frac{1}{2} (\partial_\mu \phi \partial_\mu \phi - m^2 \phi^2) - \frac{1}{4!} g \frac{2g}{\pi^2} \phi^4 \\ &= \frac{1}{2} (\partial_\mu \phi \partial_\mu \phi - m^2 \phi^2) - \frac{1}{4!} g \frac{2g}{\pi^2} \phi^4 - \frac{1}{4!} \delta g \phi^4 \quad (14) \end{aligned}$$

Questa nuova Lagrangiana dà luogo a una nuova regola di Feynman   $-i\delta g$  (15)

I risultati sono però veri limiti oltre per ordine in teoria delle perturbazioni dall'aggiunta di un controtérmine alla Lagrangiana. La Lagrangiana Eq. (14) dà così luogo ad una teoria delle perturbazioni rinormalizzata, in cui l'espressione

un po' infelice in vista del fatto che i paranchi di questa  
Sagittazione contengono (nei contorni) coefficienti infiniti

La teoria delle f.t. invariata per se si formula in modo  
compatto il problema generale della rinormalizzazione: esiste un  
insieme di contorni di linea finita infinita a qualunque  
ordine perturbativo? Come si debbono?

Ha lo svantaggio di apparire abbastanza artificiosa.

### 3. Rinormalizzabilità

Il problema di rinormalizzare una teoria a tutti gli ordini è stato ~~risolto~~ ridotto, grazie al formalismo introdotto nelle sezioni precedenti, al problema di classificare i possibili controtérmi. Naturalmente, ciascun controtérme sarà a sua volta fissato da un'opportuna condizione di rinormalizzazione.

Per classificare i controtérmi, preliminarmente dobbiamo chiederci: qual è il grado di divergenza di un diagramma?

Abbiamo, in dimensioni

$$D = dL - 2P \quad (1)$$

(con  $L = \#$  loop;  $P = \#$  propagatori;  $V = \#$  vertici;  $N = \#$  linee esterne)

Per un dato diagramma il numero di loop è

$$L = P - V + 1 \rightarrow \text{numero di quark (o gluoni) (2)}$$

(ogni propagatore è un nuovo impulso, ogni vertice una  $\delta$ , ma c'è una  $\delta$  overall)

D'altra parte, in una teoria  $d^m$ , in un vertice concorrono  $m$  ~~poteri~~ campi, e quindi

$$V = \frac{1}{m} (2P + N) \quad (3)$$

Possiamo usare le eq. 2-3 per esprimere il numero di loop interni del numero di vertici e di linee esterne (quindi dell'ordine perturbativo) ~~in~~ per dato numero di

linee esterne: dalla (3) abbiamo

$$P = \frac{nV - N}{2} \quad (4)$$

e quindi dalla (2)

$$L = \left(\frac{n}{2} - 1\right) V - \frac{N}{2} + 1 \quad (5)$$

Notiamo che nella teoria  $\phi^4$ ,  $n=4$ , quindi  
loop esiste un extra loop e cioè una extra potenza di  $g$   
Il grado di divergenza di un diagramma è quindi

$$\begin{aligned} D &= d \left[ \left(\frac{n}{2} - 1\right) V - \frac{N}{2} + 1 \right] - 2 \left[ \frac{n}{2} V - \frac{N}{2} \right] \\ &= d + \left[ n \frac{d-2}{2} - d \right] V - \frac{d-2}{2} N \quad (6) \end{aligned}$$

Nella teoria  $\phi^4$  ind=4 dimensioni: si ha

$$D = d - N \quad (7)$$

e quindi il grado di divergenza di un diagramma  
diminuisce al crescere del numero di linee esterne, e non  
dipende dal numero di vertici. Esiste solo un numero finito  
di diagrammi superficialmente divergenti: quelli con non più  
di 4 linee esterne.

Per capire il significato di questo risultato, osserveremo  
che il conteggio di potenze si può equivalentemente eseguire

attraverso l'analisi dimensionale.

Osserviamo infatti che in  $d$  dimensioni la dimensione di un campo scalare è

$$[\phi] = [\pi]^{d-2} \quad (8)$$

Ne segue che la dimensione di una costante d'accoppiamento corrisponde ad un vertice  $\phi^n$  è

$$[g] = [\pi]^d$$

$$[g] = [\pi]^{d - n \frac{d-2}{2}} \quad (9)$$

Ma naturalmente questa è anche la dimensione di un diagramma con  $N$  linee esterne amputate, e quindi di qualunque diagramma con  $N$  linee esterne amputate.

Ne segue che ~~in un diagramma con  $N$  linee esterne amputate~~ ~~ha dimensione~~ ~~linee esterne amputate è~~ ~~quindi in generale la dimensione di un diagramma con  $N$  linee esterne amputate è~~

$$dim = d - N \frac{d-2}{2} \quad (9')$$

$$d - N \frac{d-2}{2} = \left( d - n \frac{d-2}{2} \right) V$$

D'altra parte se in un grafico con  $V$  vertici ha dimensione

$$[g]^V [\pi]^D = [\pi]^{(d - n \frac{d-2}{2})V + D} \quad (10)$$

visto che la dimensionalità del grafico è data o dalle potenze esplicite dell'accoppiamento o da integrali sugli impulsi, la cui dimensionalità è per definizione il grado di divergenza.

$$\left( d - n \frac{d-2}{2} \right) V + D = d - N \frac{d-2}{2} \quad (11)$$

e quindi

## Logica dell'agosto

- 1) determina la dimensione di  $g$
- 2) determina la dim. di un diagramma generico, e scopre che è data da  $D$  e dalla dim di  $g$
- 3) noto che tutti i diagrammi con fisso # di righe ottenute hanno la stessa dimensione  
 $\rightarrow D$  in tutti di ind. part. e dim di  $g$
- 4) noto che questa dim. è uguale per tutti e  
è quella della  $g$  per una tavola  $2^N$   
cioè  $2^N$  con  $n = N$  (tutte le celle esterne)

$$D = d + V \left( \frac{d-2}{2} - d \right) - \frac{d-2}{2} N$$

in accordo con la Eq. (6), che è quindi sostanzialmente  
analisi dimensionale.

Capiamo quindi che il grado di divergenza di un diagramma  
cresce al crescere del numero di vertici se e solo se la  
costante di accoppiamento ha dimensioni negative in unità di  
massa. Abbiamo quindi tre situazioni possibili:

1) Super-renormalizzabile. Costante d'accoppiamento con dimensioni  
positiva in unità di massa. Il grado di divergenza superficiale  
diminuisce con il numero di vertici: solo un numero finito di  
diagrammi di Feynman diverge.

2) Rinormalizzabile. Costante d'accoppiamento adimensionale.  
Il grado di divergenza superficiale non dipende dal numero  
di vertici (ma diminuisce al crescere del numero di particelle  
esterne). Solo un numero finito di ampiezze diverge, ma un  
numero infinito di diagrammi diverge.

3) Non-renormalizzabile. Costante d'accoppiamento con dimensioni  
negative di massa. Qualunque ampiezza diverge a ordine  
sufficientemente alto in teoria delle perturbazioni.

Studiamo ora ~~che~~ quali sono ~~sono~~ le ampiezze divergenti nella  
teoria  $\phi^4$ , per capire se e come la teoria possa essere  
rinormalizzata a tutti gli ordini.

Osserviamo innanzitutto che visto che la teoria è invariante  
sotto la trasformazione  $\phi \rightarrow -\phi$  tutte le ampiezze



Possiamo sapere la forma più generale del propagatore usando la rappresentazione spettrale di Källén-Lehman: usano una risoluzione dell'identità, notando che qualunque stato nello spaz. di Fock può essere scritto come un auto stato di energia  $E(\lambda)$  che corrisponde a  $(\lambda, \vec{0})$  nell' SR di riposo e a  $(E_\lambda, \vec{p})$  con  $E_\lambda = \sqrt{m^2 + \vec{p}^2}$  in un SR generico. Ne segue che

$$1 = |0\rangle\langle 0| + \sum_\lambda \int \frac{d^3p}{(2\pi)^3} \frac{1}{2E_\lambda} |\lambda, \vec{p}\rangle\langle \lambda, \vec{p}|.$$

Per tanto possiamo scrivere

$$G^{(2)}(x_1, x_2) = \Theta(t_1 - t_2) \int \frac{d^3p}{(2\pi)^3} \frac{1}{2E_\lambda} \langle 0 | \varphi(x_1) | \lambda, \vec{p} \rangle \langle \lambda, \vec{p} | \varphi(x_2) | 0 \rangle$$

+  $x_1 \Theta x_2$

$$= \Theta(t_1 - t_2) \sum_\lambda \int \frac{d^3p}{(2\pi)^3} \frac{1}{2E_\lambda} \langle 0 | e^{i p x_1} \varphi(0) e^{-i p x_2} | \lambda, \vec{p} \rangle \langle \lambda, \vec{p} | e^{i p x_2} \varphi(0) e^{i p x_1} | 0 \rangle$$

+  $x_1 \Theta x_2$

$$= \Theta(t_1 - t_2) \sum_\lambda \int \frac{d^3p}{(2\pi)^3} \frac{1}{2E_\lambda} |\langle 0 | \varphi(0) | \lambda, \vec{p} \rangle|^2 e^{-i p(x_1 - x_2)}$$

$$= \Theta \sum_\lambda \int \frac{d^4p}{(2\pi)^4} \frac{i}{p^2 - m^2 + i\epsilon} e^{-i p(x_1 - x_2)} |\langle 0 | \varphi(0) | \lambda, \vec{p} \rangle|^2$$

Se si sviluppa la funzione spettrale intorno al polo abbiamo quindi

$$G^{(2)}(x_1, x_2) = \sqrt{\frac{d^4 k}{(2\pi)^4}} e^{i k(x_1 - x_2)} \frac{Z_\phi}{k^2 - m_{phys}^2} + \text{non-phys.} \quad (13)$$

Possiamo ora porre

$$\phi = Z_\phi^{1/2} \phi_1 \quad (14)$$

$$m = Z_m m_1$$

$$g = Z_g g_1$$

Abbiamo visto come sia equivalente introdurre la rinormalizzazione in modo moltiplicativo (ridefinendo la normalizzazione) o additivo (aggiungendo un controtérmine).

Per capire la struttura della ridefinizione della lagrangiana più generale capita in seguito alla rinormalizzazione eq. (14) conviene procedere in due passi.

Inanzitutto scriviamo

$$\mathcal{L} = \frac{1}{2} (\partial_\mu \phi_1 \partial_\mu \phi_1) Z_\phi - \frac{1}{2} Z_\phi m^2 \phi_1^2 - \frac{g}{4!} Z_\phi^2 \phi_1^4 \quad (15)$$

$$= \frac{1}{2} (\partial_\mu \phi_1 \partial_\mu \phi_1) Z_\phi - \frac{1}{2} Z_\phi Z_m^2 m_1^2 \phi_1^2$$

$$- \frac{g_1}{4!} Z_g Z_\phi^2 \phi_1^4 \quad (15)$$

Ora definiamo

$$Z_\phi = 1 + \delta_\phi$$

$$Z_\phi Z_m^2 m_1^2 = m_1^2 + \delta m$$

$$Z_g Z_\phi^2 g_1 = g_1 + \delta g$$

(16)

da cui

$$\mathcal{L} = \frac{1}{2} \left( \partial_\mu \varphi_1 \partial_\mu \varphi_1 - m^2 \varphi_1^2 \right) - \frac{g_2}{4!} \varphi_1^4 \quad (17)$$

$$+ \frac{1}{2} \delta_\varphi \partial_\mu \varphi_2 \partial_\mu \varphi_2 - \frac{1}{2} \delta m \varphi_2^2 - \frac{\delta g}{4!} \varphi_2^4$$

Le regole di Feynman associate ai tre controtermini sono quindi

$$\begin{array}{l} \text{---} \bigcirc \text{---} \quad i(p^2 \delta_\varphi - \delta m) \\ \text{---} \bigcirc \text{---} \quad -i\delta\lambda \end{array} \quad (18)$$

Vediamo quindi che le tre condizioni fisiche di non lissosità del propagatore, posizione del polo, ampiezza di scattering, ~~distorsione~~ bastano a rimuovere le tre divergenze dei <sup>due</sup> diagrammi (i)-(ii) superficialmente divergenti. Le condizioni possono essere espresse come

$$\bigcirc = -ig (s=s_0, t=t_0, u=u_0); \quad \text{---} \bigcirc \text{---} \frac{i}{p^2 - m^2}$$

Nota che nello schema  $\overline{MS}$  le condizioni fisiche sono sostituite dalla sottrazione dei poli. Questo implica in particolare che la massa  $\overline{MS}$  non è la posizione del polo (e quindi non è fisicamente osservabile).

Notiamo infine che all'ordine  $g$  (1 loop) solo  $\delta\lambda$  non è banale. ~~La~~ ~~correzione~~ a  $\delta_2$  e  $\delta m$  inizia infatti a due loop, dove compare il diagramma



Notiamo che se la lagrangiana non fosse stata

normal-ordered, compirebbe anche il diagramma



Tuttavia, notiamo che esso è proporzionale a un integrale divergente che non dipende da  $p^2$ , in quanto l'integrale di loop non contiene alcuna dipendenza dall'impulso esterno. Ne segue che esso non può contribuire a  $\delta\mathcal{L}$ , e il suo contributo a  $\delta m$  è banale, nel senso che la massa rinormalizzata e quella bare sono legate da uno shift che dipende solo da  $m$  (non contribuisce alla funzione  $\beta$ ).

Possiamo infine chiedersi se la divergenza superficiale (per power counting) di un diagramma di Feynman coincide con quella effettiva.

Notiamo innanzitutto che vi possono essere casi in cui  $D=0$  non necessariamente porta ad una divergenza logaritmica:

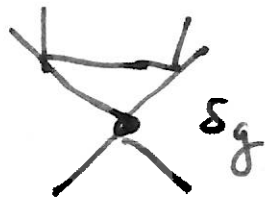
- 1) diagrammi a zero loop hanno  $D=0$ , e nessun integrale
- 2) possono essere cancellati: tali per cui un diagramma diverge meno della sua divergenza superficiale

Più serio è il caso di sottodiagrammi divergenti: ad esempio



$$D = 4 - 6 = -2$$

tuttavia il loop diverge. Il punto è che nella teoria delle pert. rinormalizzata esso è automaticamente reso finito dalla



In altri termini, le nuove divergenze extra oltre a quelle superficiali sono dovute a diagrammi contenuti entro altri diagrammi.

Tra queste sono già sottratte da controtérmi analoghi precedenti.

Questo risultato, dovuto a BPHZ, si dimostra studioso il più generale sviluppo in serie di Taylor di un diagramma di Feynman negli impulsi esterni.

Osserviamo infine che il senso della rinormalizzabilità è a questo punto che in una teoria rinormalizzabile le interazioni fondamentali hanno la stessa struttura a tutte le scale.

Se questo sia o meno necessario ~~è~~ per una teoria fondamentale è un pregiudizio teorico.

È un errore dire che la rinormalizzabilità basta perché tutte le interazioni sono generate ("vicino" ad  $\omega$ ) conosciute sulla scala massima.